



# Etude d'un Convertisseur Analogique-Numérique à grande dynamique à base de portes logiques supraconductrices

Emanuele BAGGETTA

**Directeur de thèse :** Pierre SAGUET

**Responsable**  
**CEA:**  
Jean-Claude VILLEGIER

**Responsable**  
**Thales Alenia Space:**  
Michel MAIGNAN

DRFMC/SPSMS/Dispositifs Supraconducteurs

# Plan de l'exposé

- Introduction
- Rappels sur le CAN et l'Electronique supraconductrice
- Etude de la structure du CAN en NbN
- Implémentation et comparaison de la technologie NbN et Nb
- Conclusions et perspectives

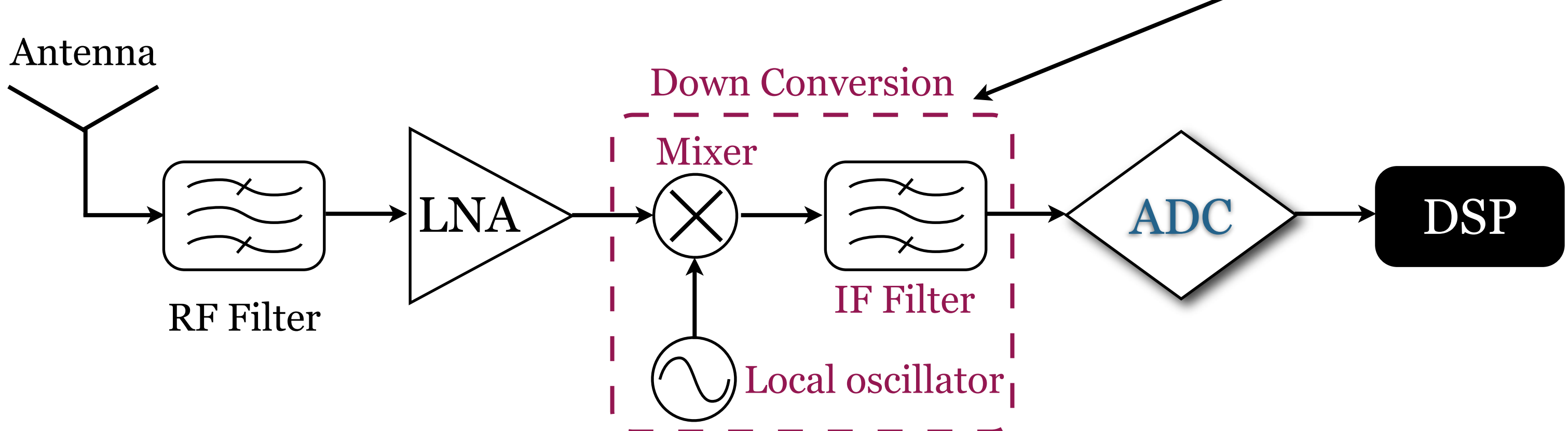
# Contexte

## Space Telecommunications

Bit Rate Information  
Increasing

Bandwidth and Carrier  
Increasing

Noise Increasing  
in Analog Parts



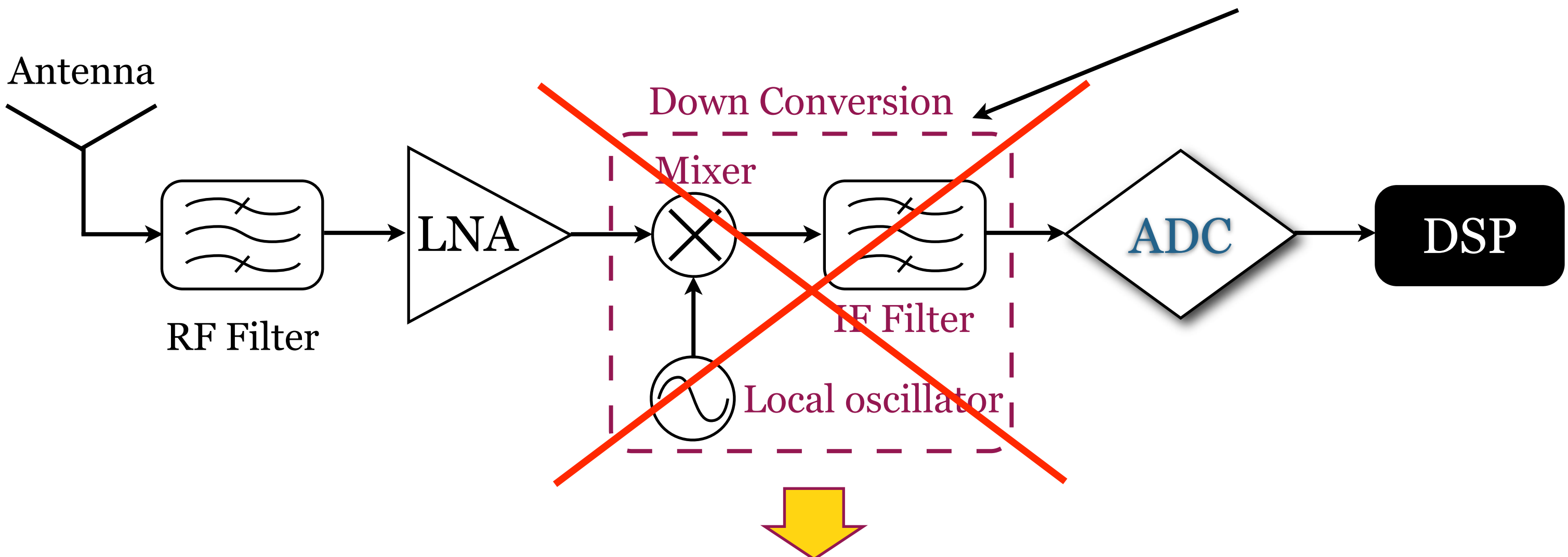
# Contexte

## Space Telecommunications

Bit Rate Information  
Increasing

Bandwidth and Carrier  
Increasing

Noise Increasing  
in Analog Parts



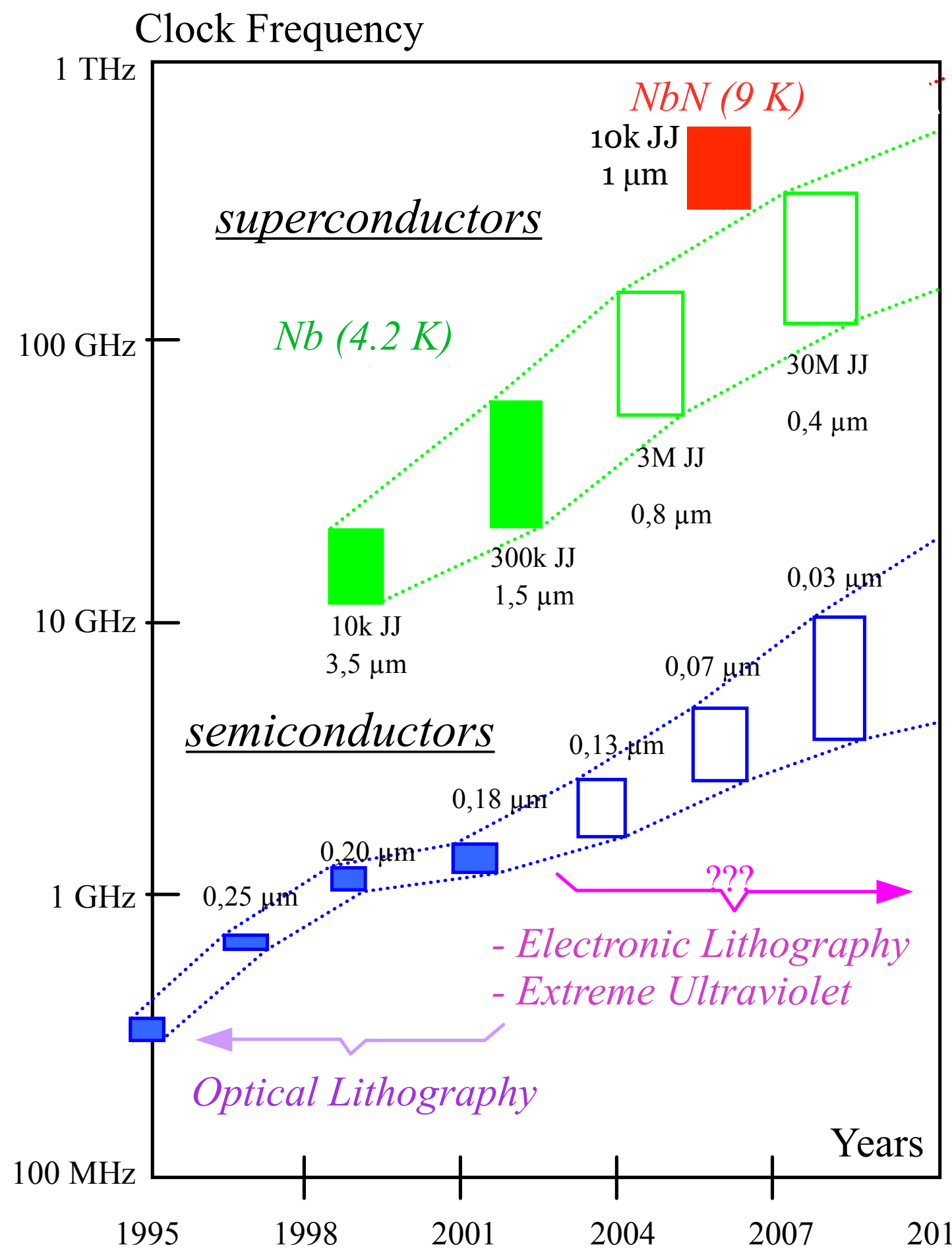
**Digitalization of RF signals for Software Defined Radio (SDR) systems**



**SNR ~90 dB**  
Signal-to-Noise Ratio

# Pourquoi la logique RSFQ?

## Rapid Single Flux Quantum logic based on Josephson junctions

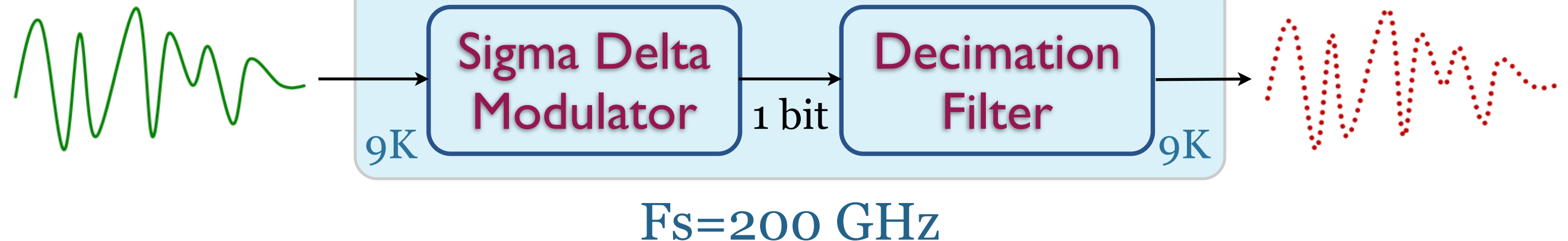


- ✓ Superconductor transmission lines
  - Very small dispersion
  - Very small attenuation
  - Very small dissipation
- ✓ Switching time about 1-3 picoseconds
  - High Frequency (0.5-1 THz)
- ✓ Power consumption of 2 orders lower than a CMOS transistor considering the cryocooler power
  - High Bit Rate

# Objectif

## Analog-to-Digital Converter based on $\Sigma\Delta$ Architecture

$F_c = 30 \text{ GHz}$   
 $B = 500 \text{ MHz}$



✓ Niobium Nitride (NbN) superconductor ( $T_c = 16 \text{ K}$ )

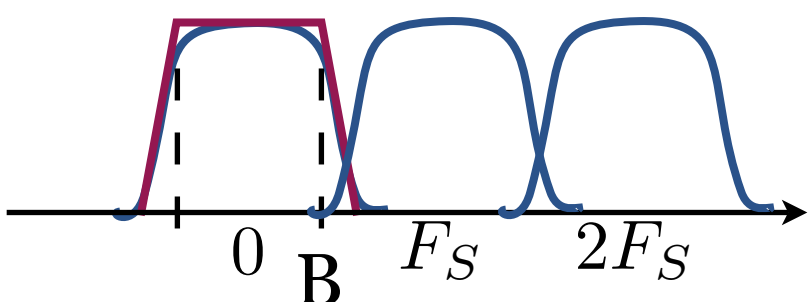
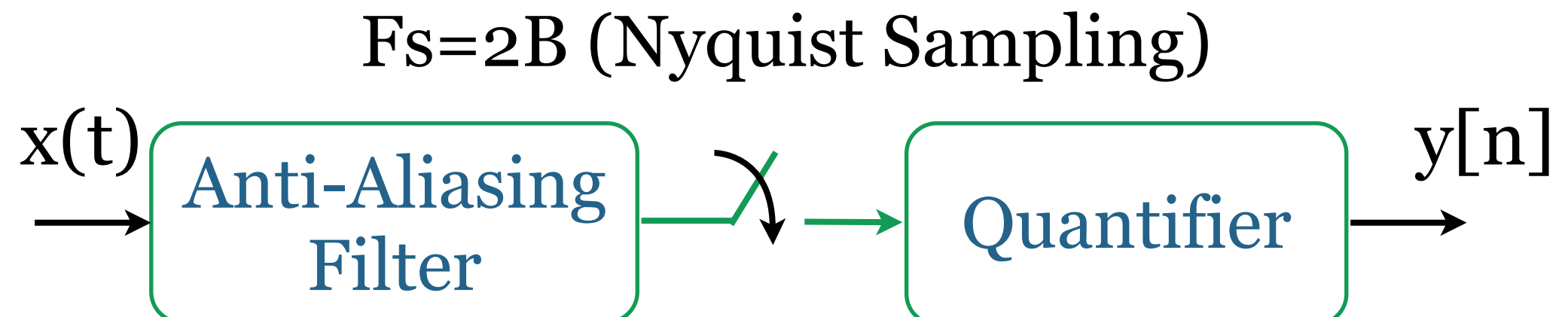
New technology:

✓ Self-shunted Josephson junctions NbN/TaxN/NbN

# Plan de l'exposé

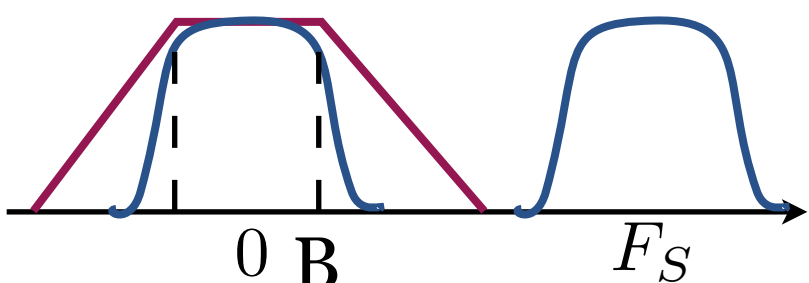
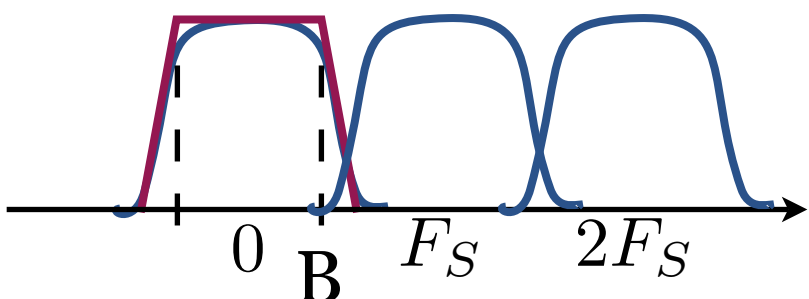
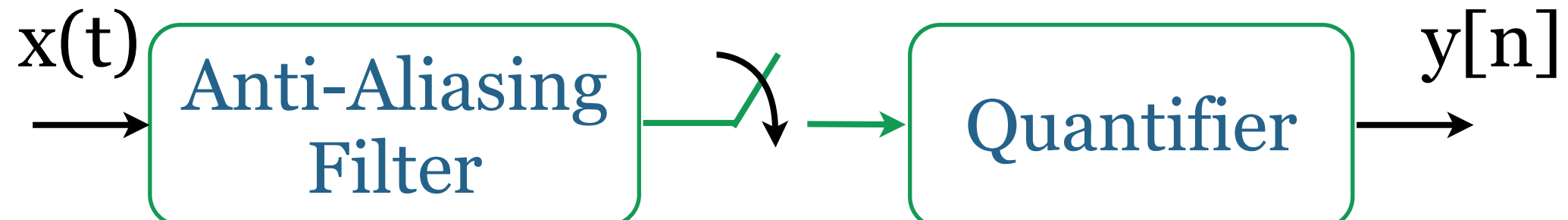
- Introduction
- Rappels sur le CAN et l'Electronique supraconductrice
- Etude de la structure du CAN en NbN
- Implémentation et comparaison de la technologie NbN et Nb
- Conclusions et perspectives

# La modulation Sigma-Delta



# La modulation Sigma-Delta

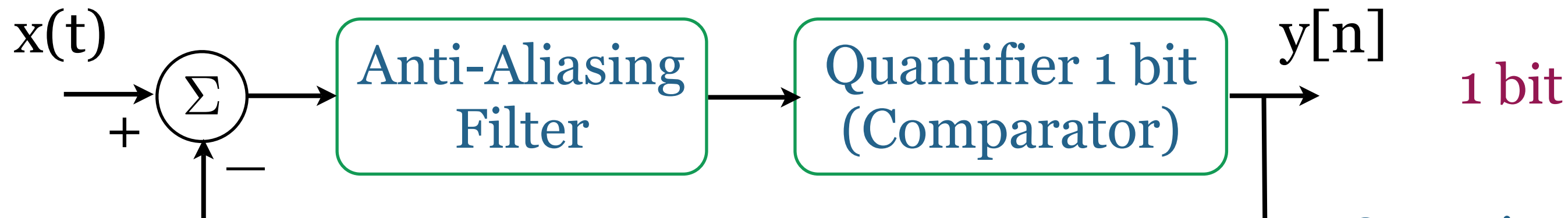
✓Oversampling :  $F_s > 2B$



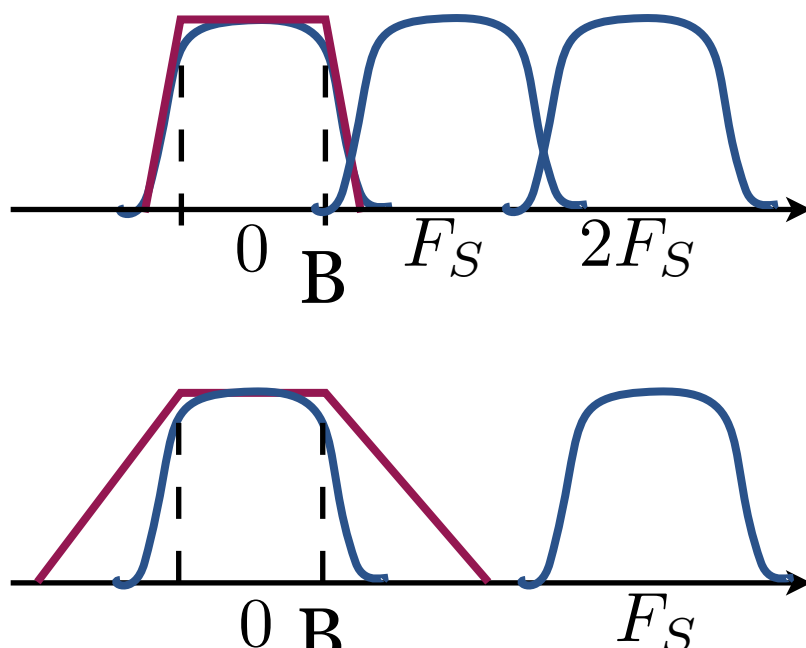
Less selective filter

# La modulation Sigma-Delta

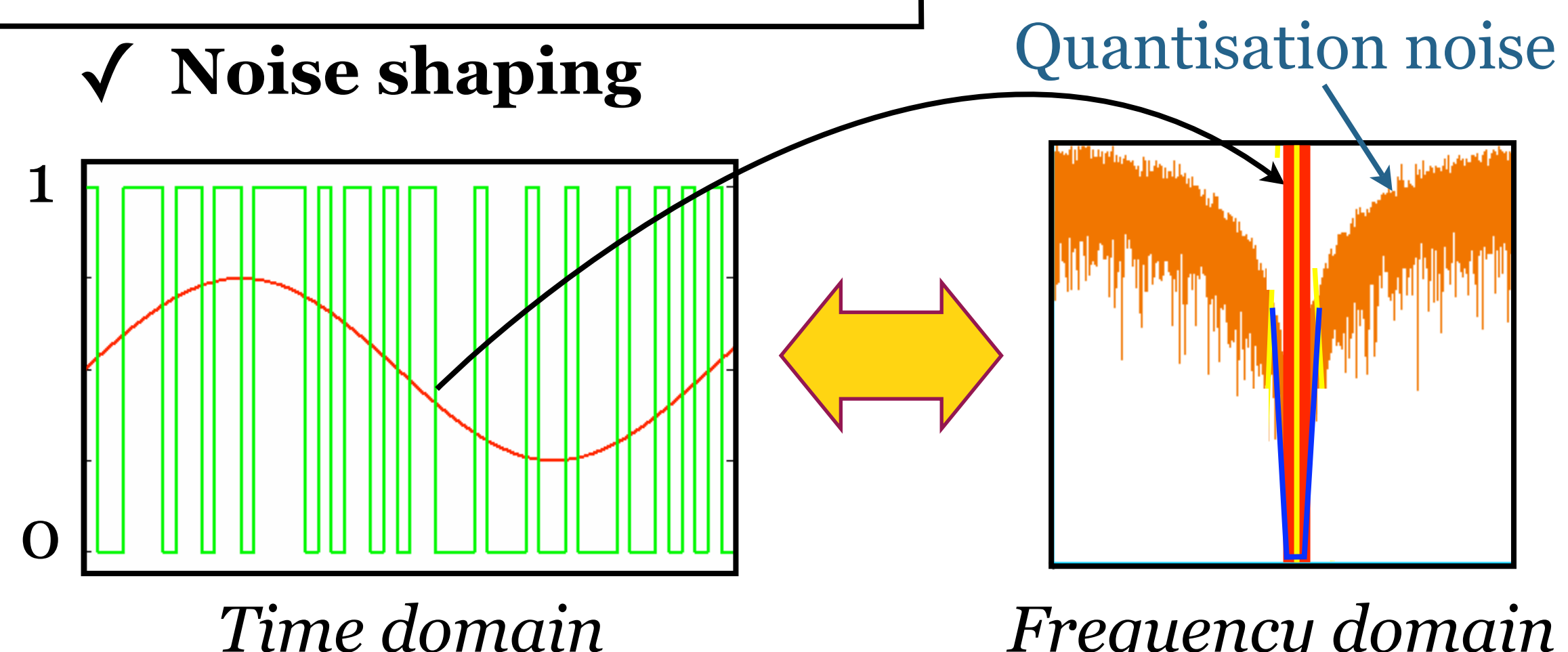
✓Oversampling :  $F_s > 2B$



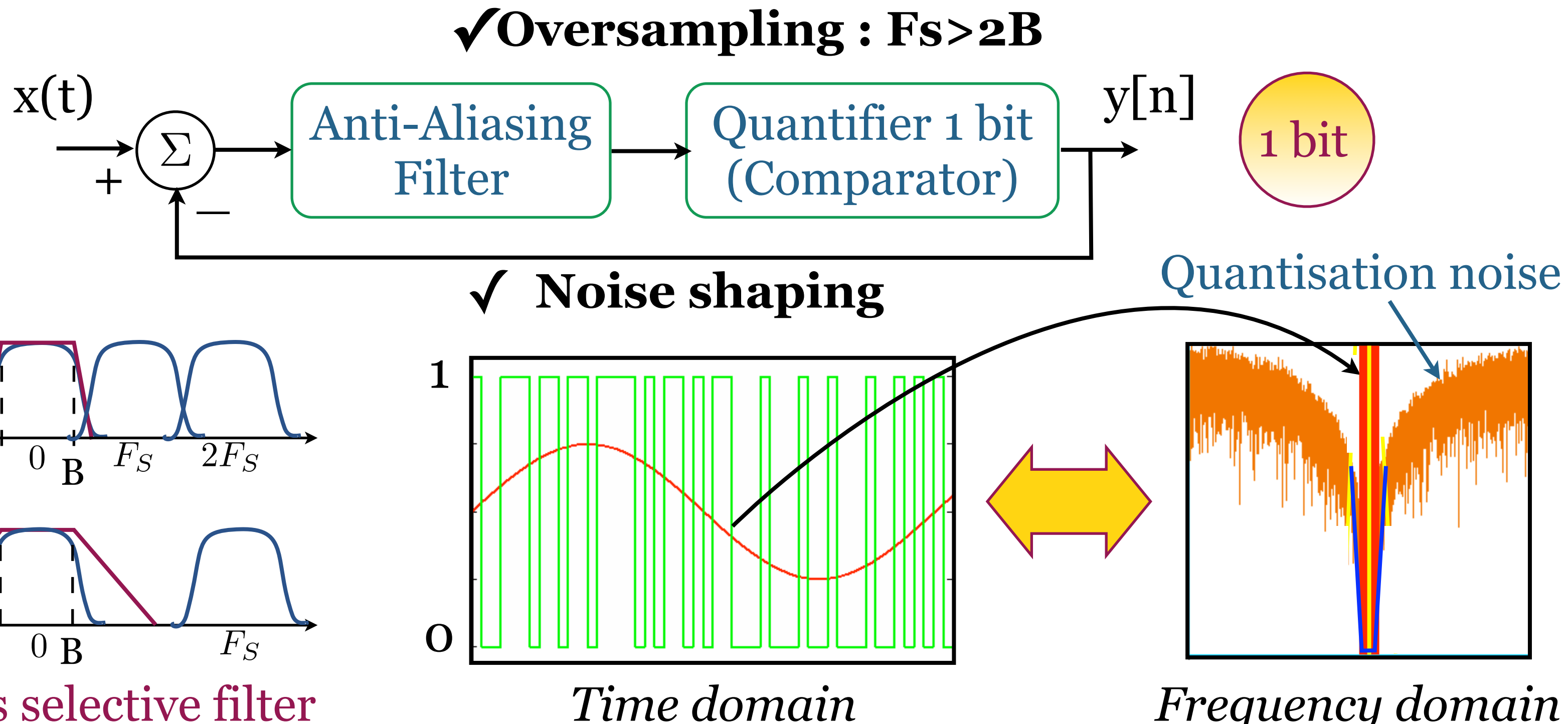
✓ Noise shaping



Less selective filter



# La modulation Sigma-Delta



Transfert Function Order

$$H(s) = \frac{Y(s)}{X(s)}$$

→ Modulator Order ( $l$ )

Oversampling Ratio (OSR)  
 $OSR = F_s / 2B$

SNR  
 Signal-to-Noise  
 Ratio

# Le filtre de décimation

Increases the resolution of the conversion

**Resolution** 1 ————— M bits → **Decimation Factor** —————  $N = 2^M$

Mean over N bits of the modulator output

Sigma-Delta Modulator 1 Bit Output



Time

9 bits at 1 over 16 bits



$$\frac{9}{16} = 0.5625$$

Decimation Filter  
Output

1 0 0 1

Sinc Filter

$$H(f) = \left[ \frac{\text{sinc}(Nf/f_S)}{\text{sinc}(f/f_S)} \right]^k$$

The filter order ( $k$ ) must be higher than the modulator order ( $l$ )

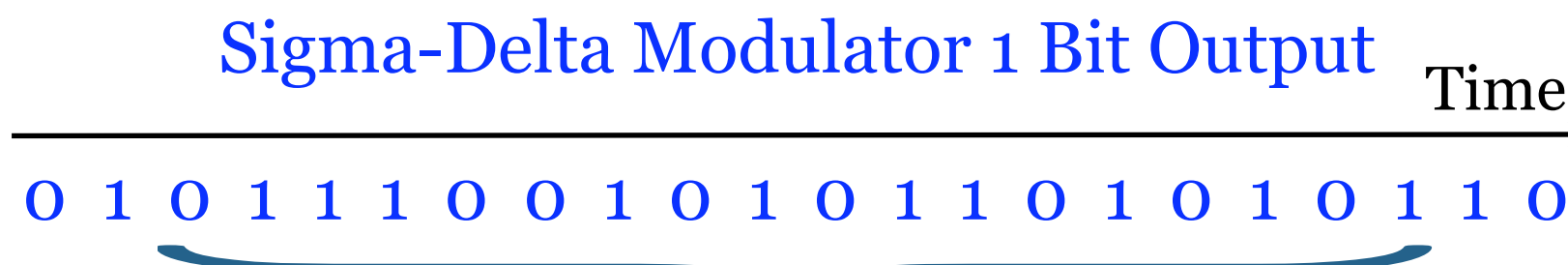
$$k = l + 1$$

# Le filtre de décimation

Increases the resolution of the conversion

**Resolution** 1  $\longrightarrow$  M bits  $\longrightarrow$  **Decimation Factor**  $\longrightarrow N = 2^M$

Mean over N bits of the modulator output



$$\frac{9}{16} = 0.5625$$

Decimation Filter  
Output

1 0 0 1

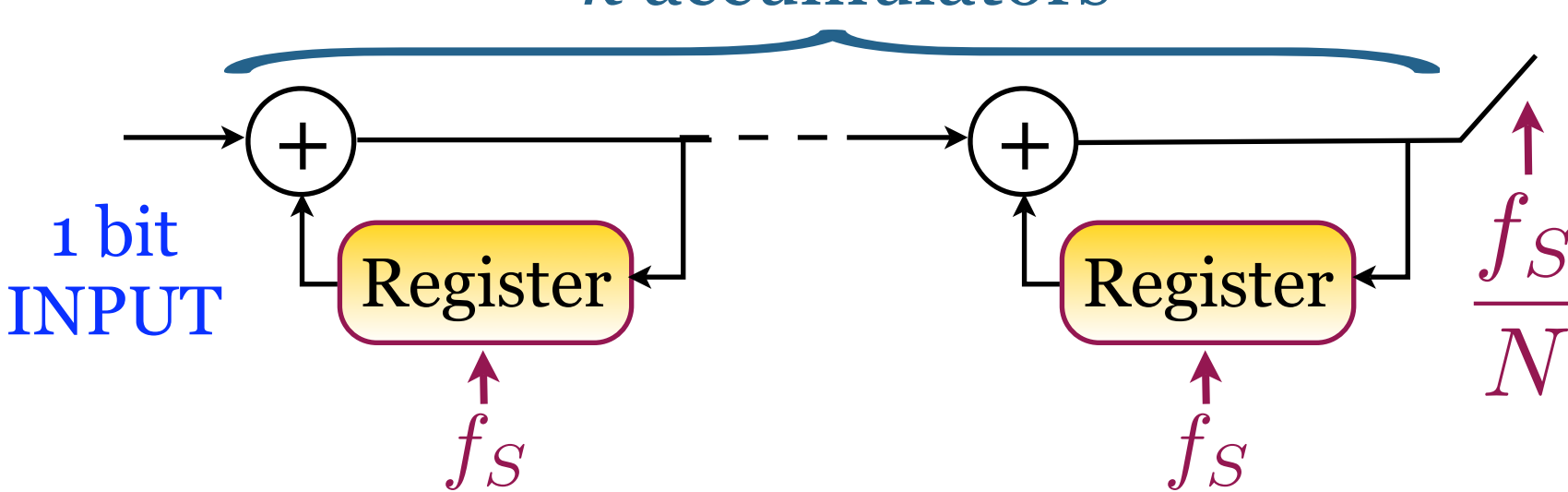
Sinc Filter

$$H(f) = \left[ \frac{\text{sinc}(Nf/f_S)}{\text{sinc}(f/f_S)} \right]^k$$

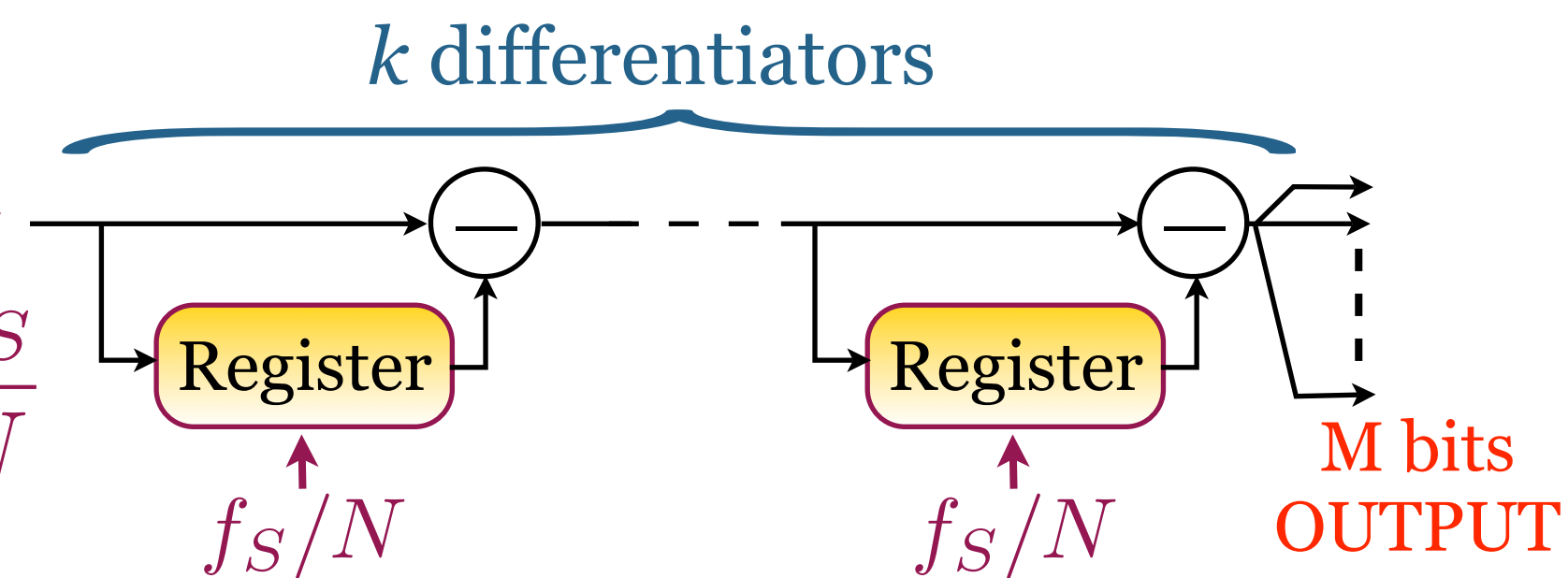
The filter order ( $k$ ) must be higher than the modulator order ( $l$ )

$$k = l + 1$$

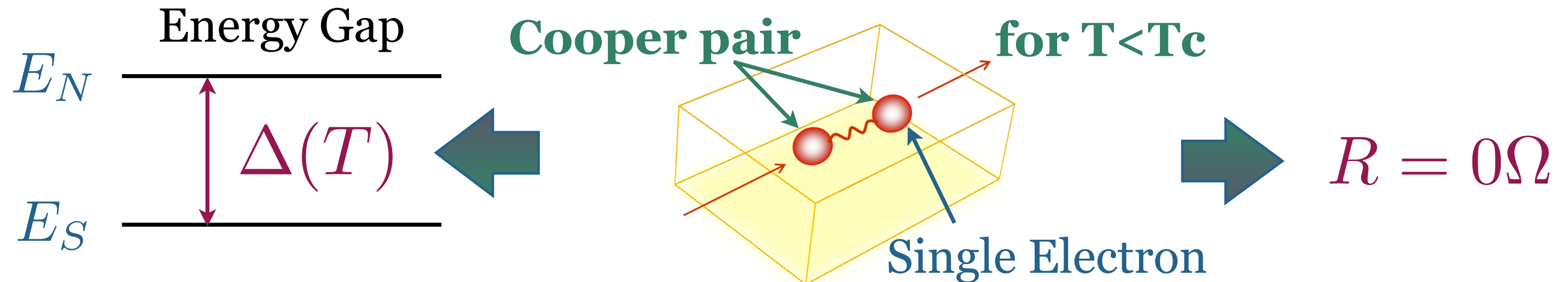
$k$  accumulators



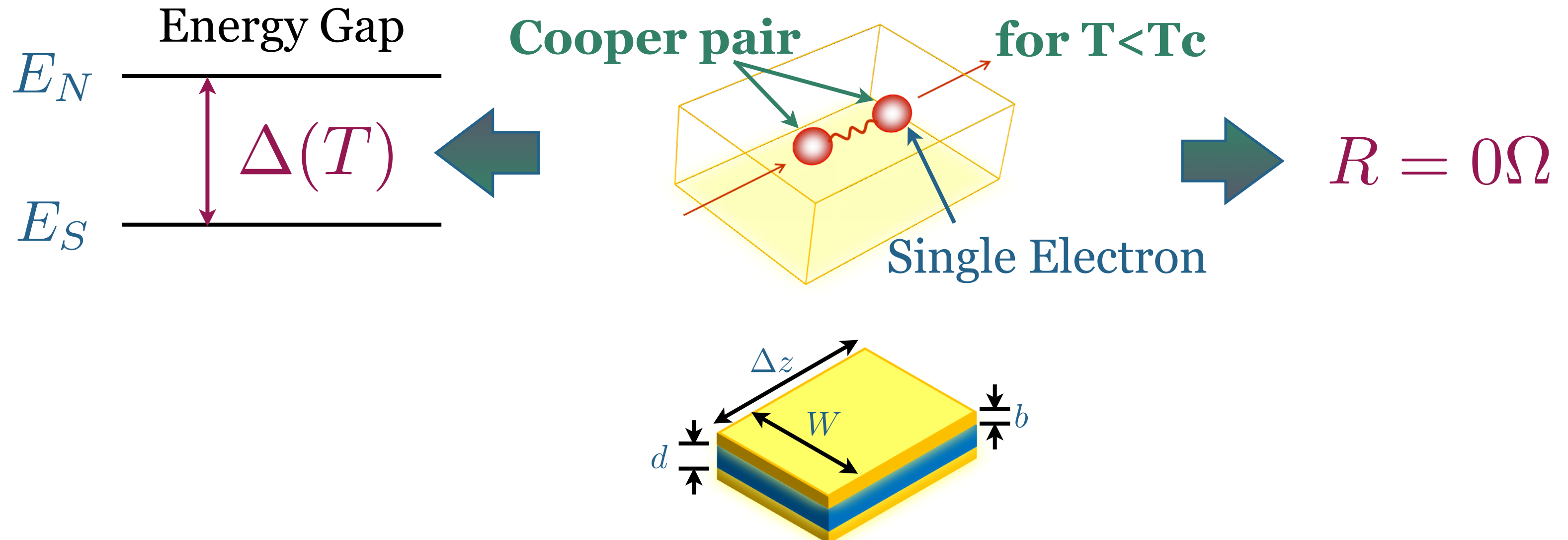
$k$  differentiators



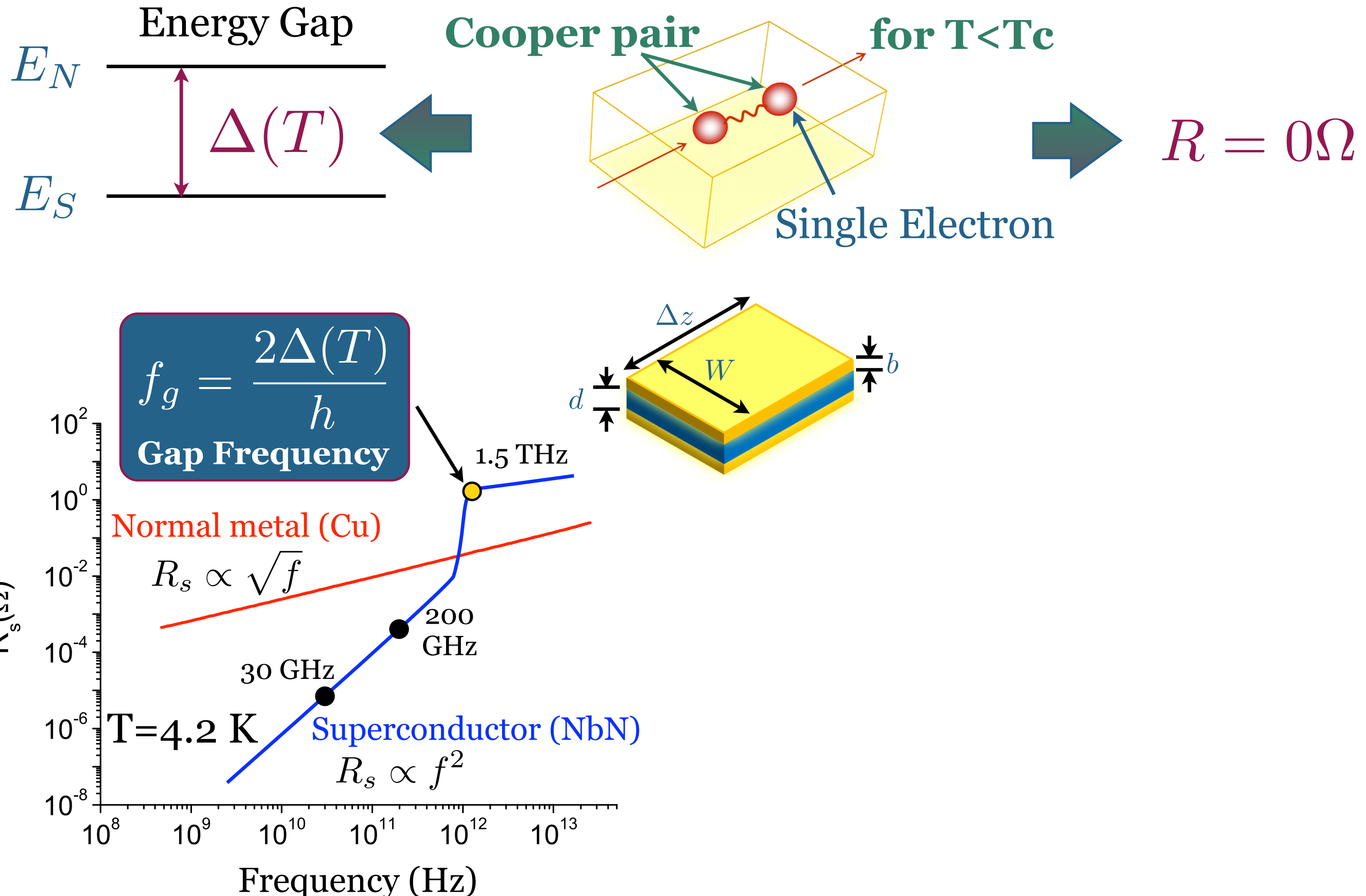
# Lignes supraconductrices



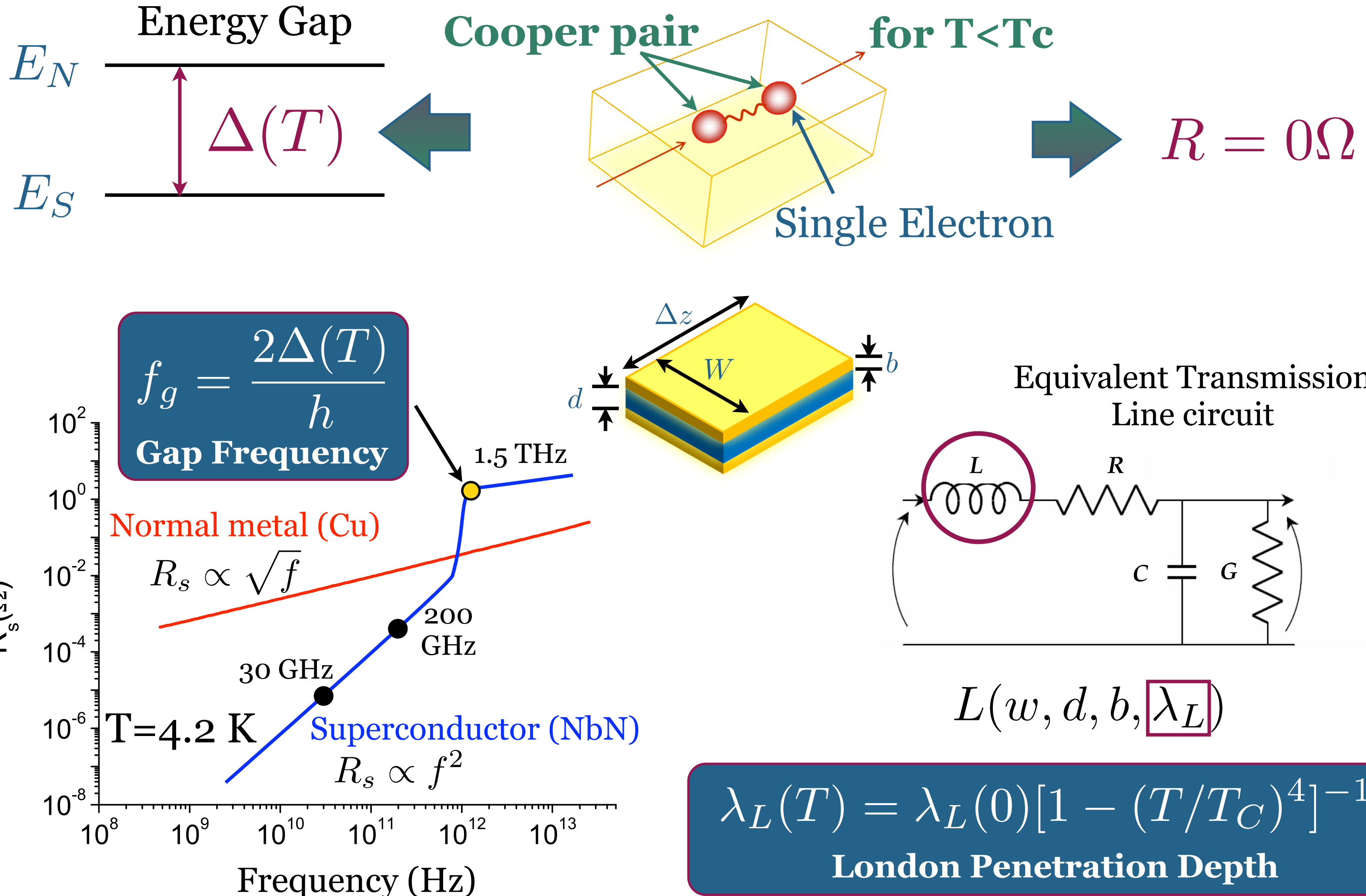
# Lignes supraconductrices



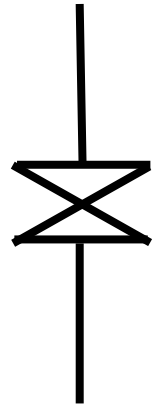
# Lignes supraconductrices



# Lignes supraconductrices

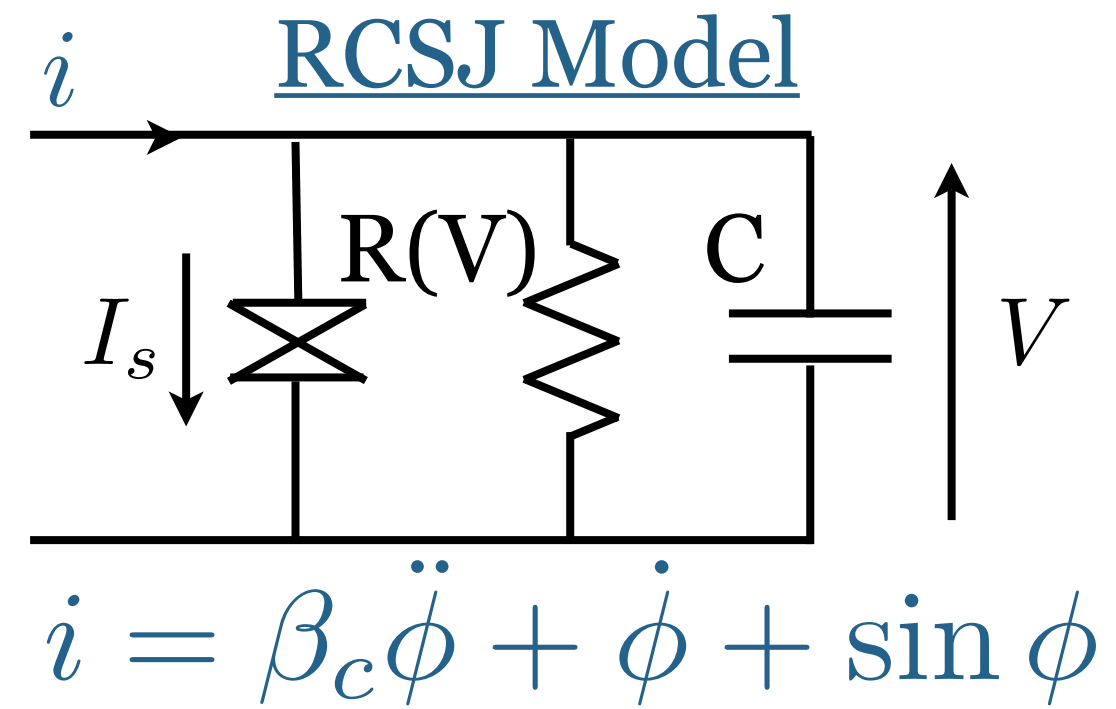
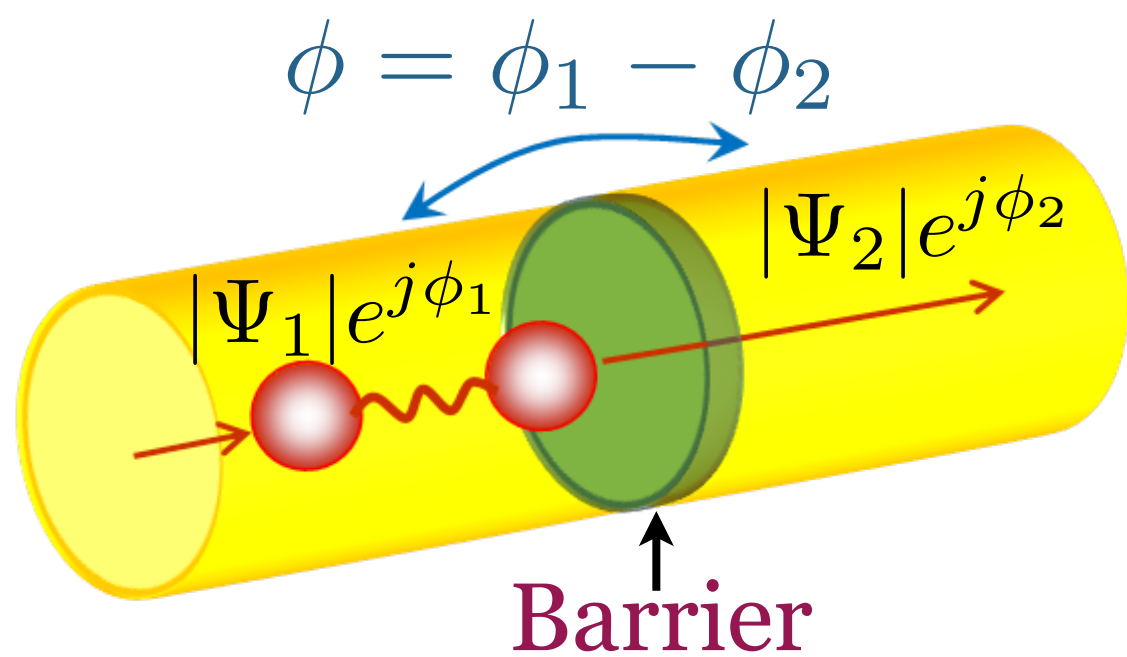


# La jonction Josephson (JJ)



$$I_s = I_c \sin \phi$$

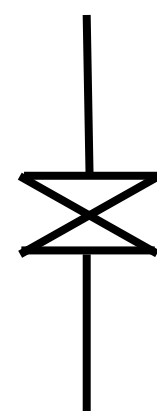
$$V = \frac{\Phi_0}{2\pi} \frac{d\phi}{dt}$$



$$\beta_c = \frac{2\pi I_C R(V)^2 C}{\Phi_0}$$

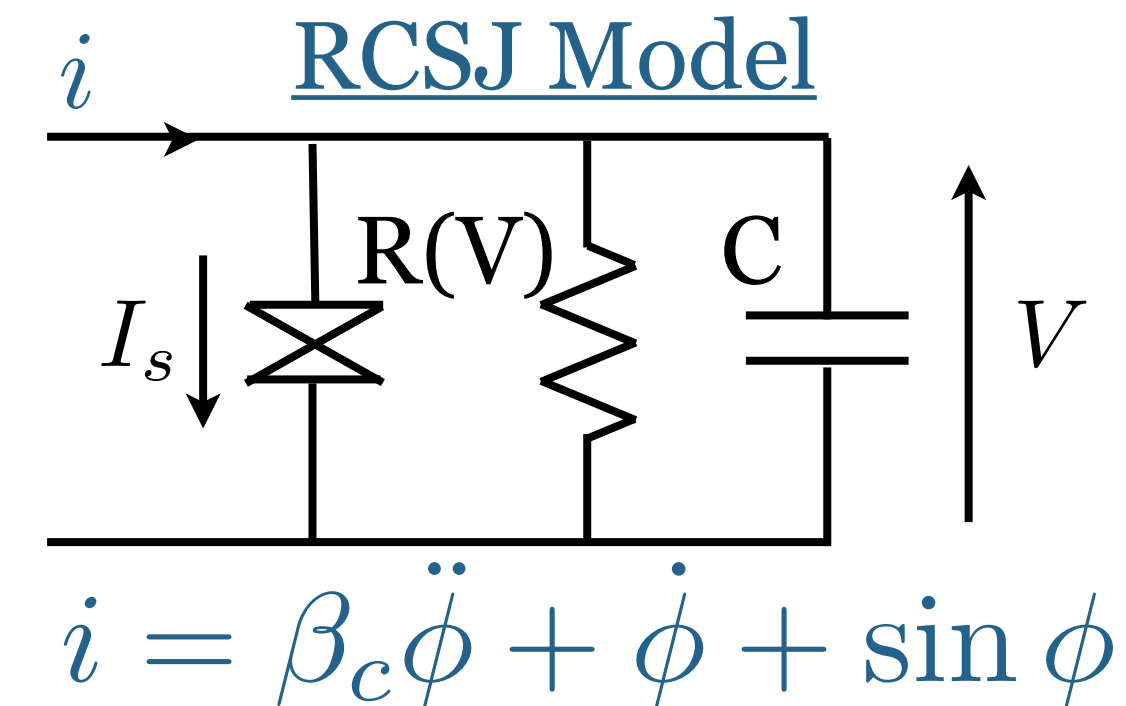
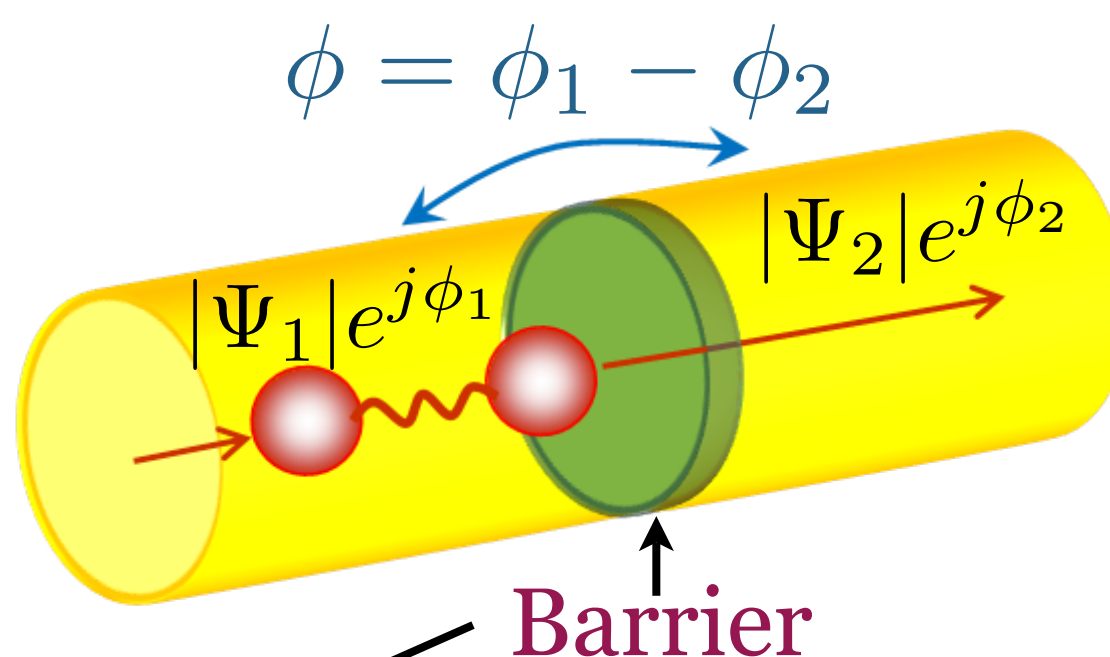
Stewart-  
McCumber  
Factor

# La jonction Josephson (JJ)



$$I_s = I_c \sin \phi$$

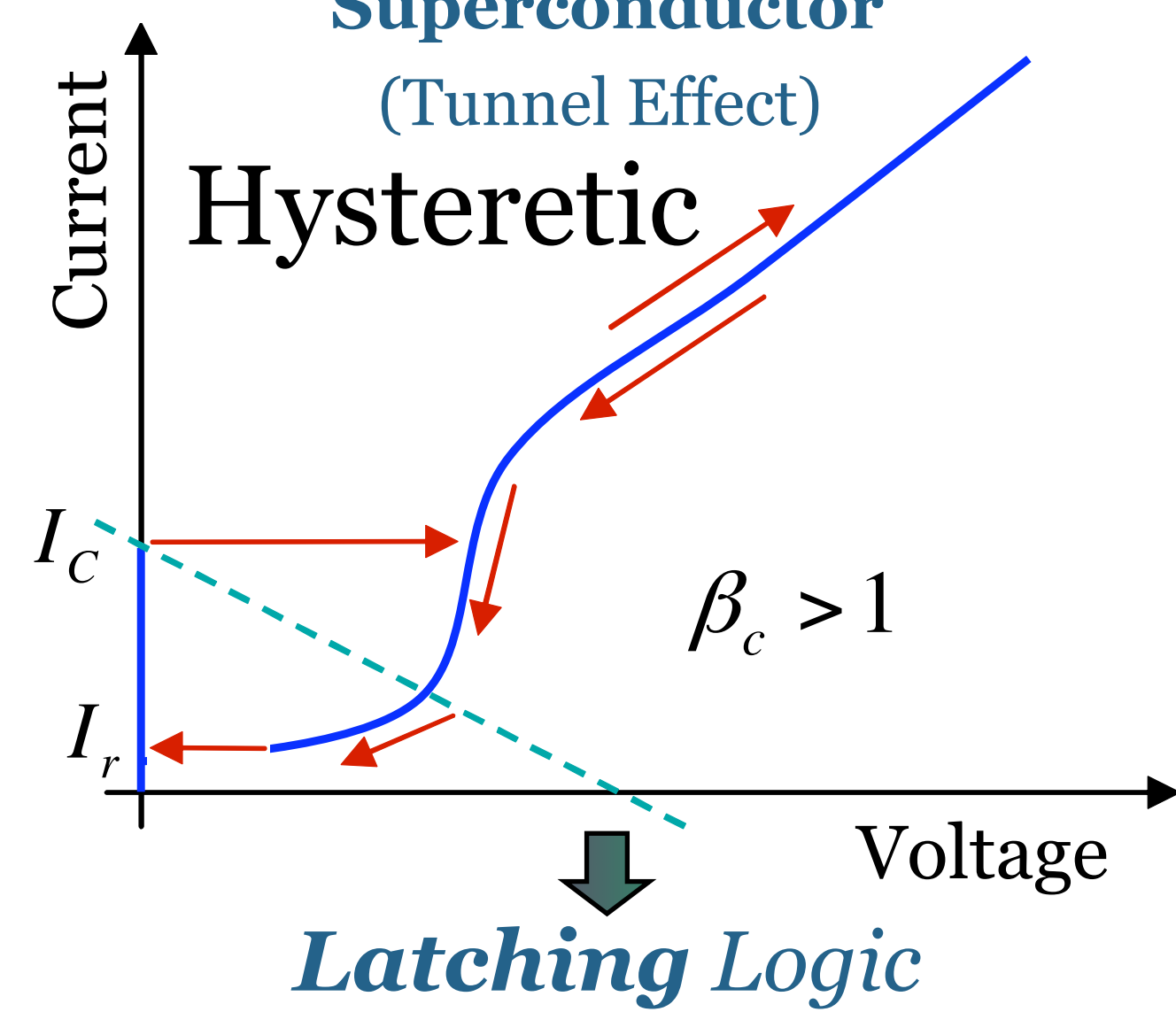
$$V = \frac{\Phi_0}{2\pi} \frac{d\phi}{dt}$$



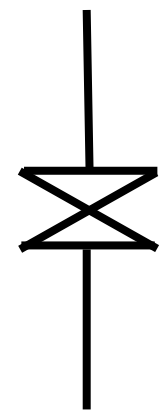
**Superconductor-  
Insulator-  
Superconductor**

$$\beta_c = \frac{2\pi I_C R(V)^2 C}{\Phi_0}$$

Stewart-  
McCumber  
Factor

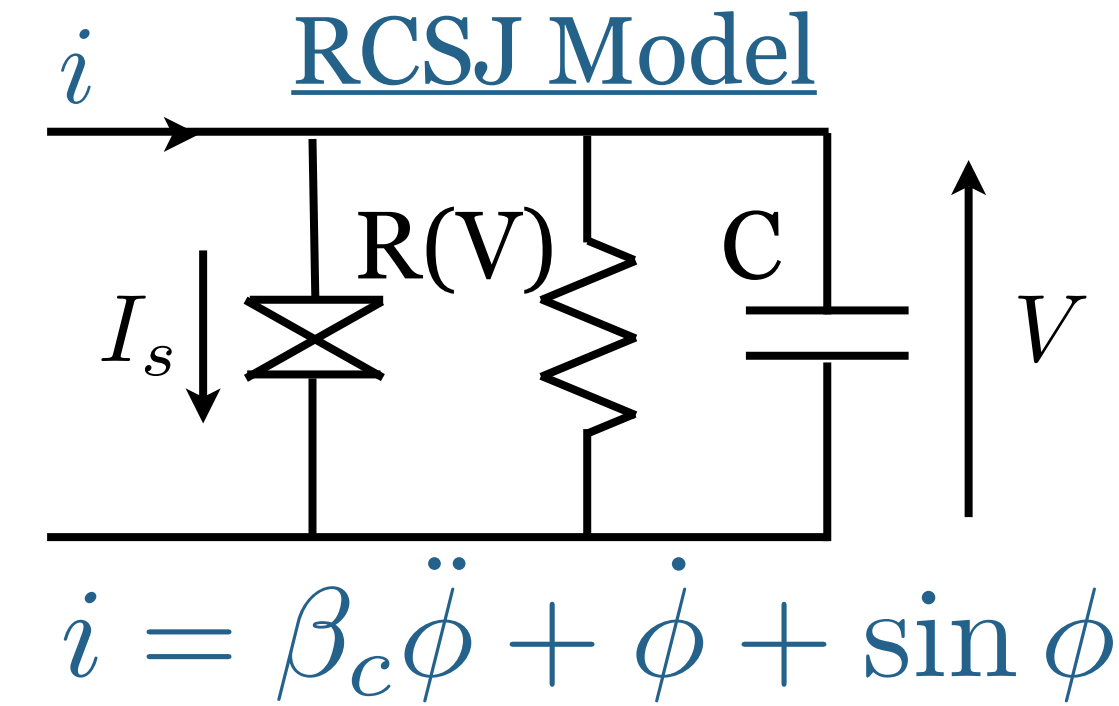
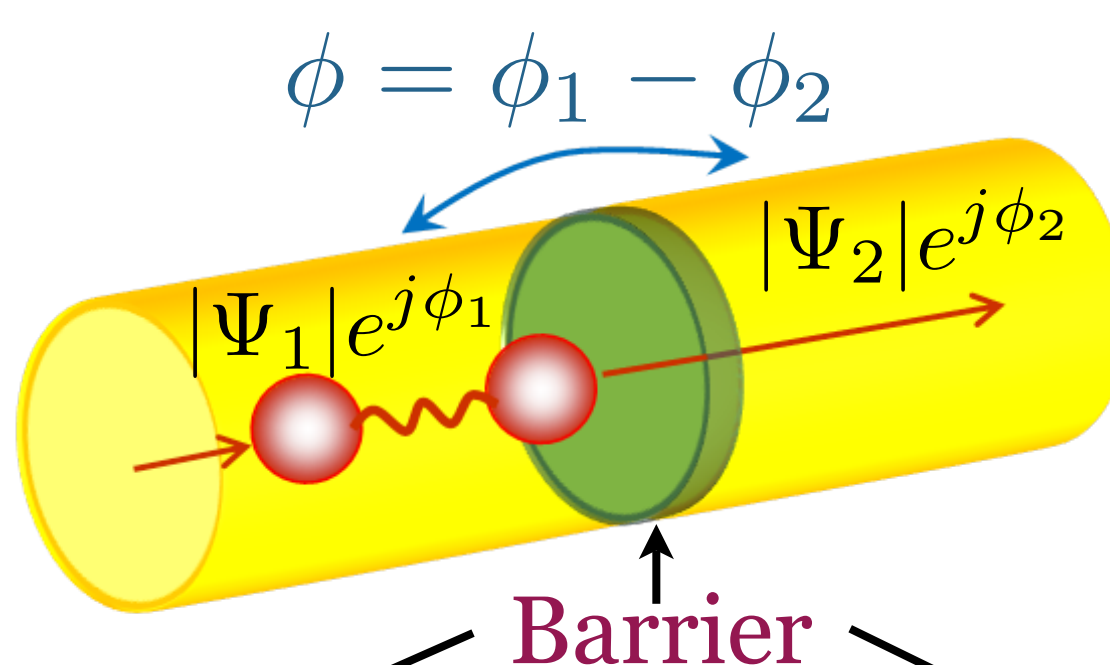


# La jonction Josephson (JJ)

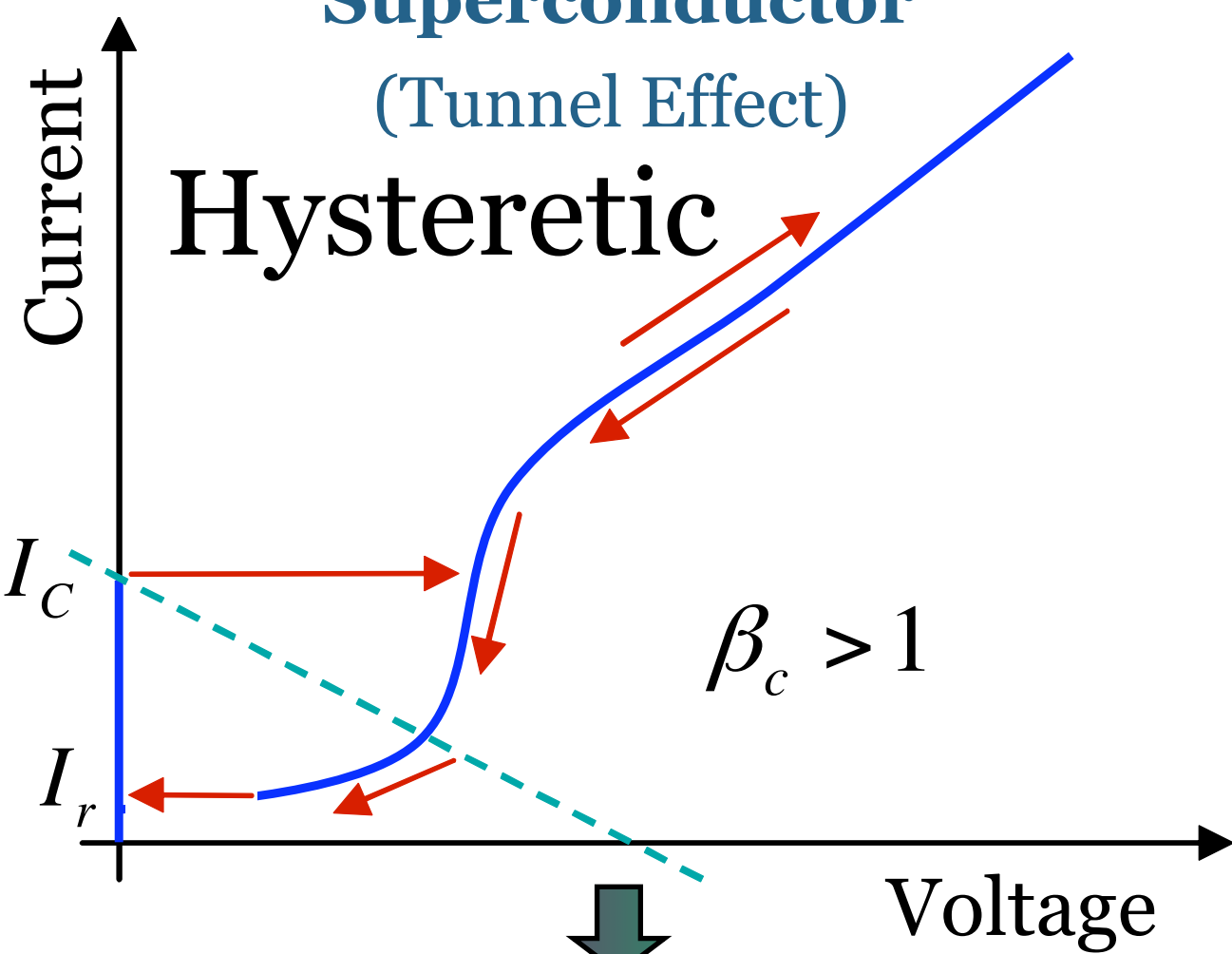


$$I_s = I_c \sin \phi$$

$$V = \frac{\Phi_0}{2\pi} \frac{d\phi}{dt}$$



**Superconductor-  
Insulator-  
Superconductor**  
(Tunnel Effect)

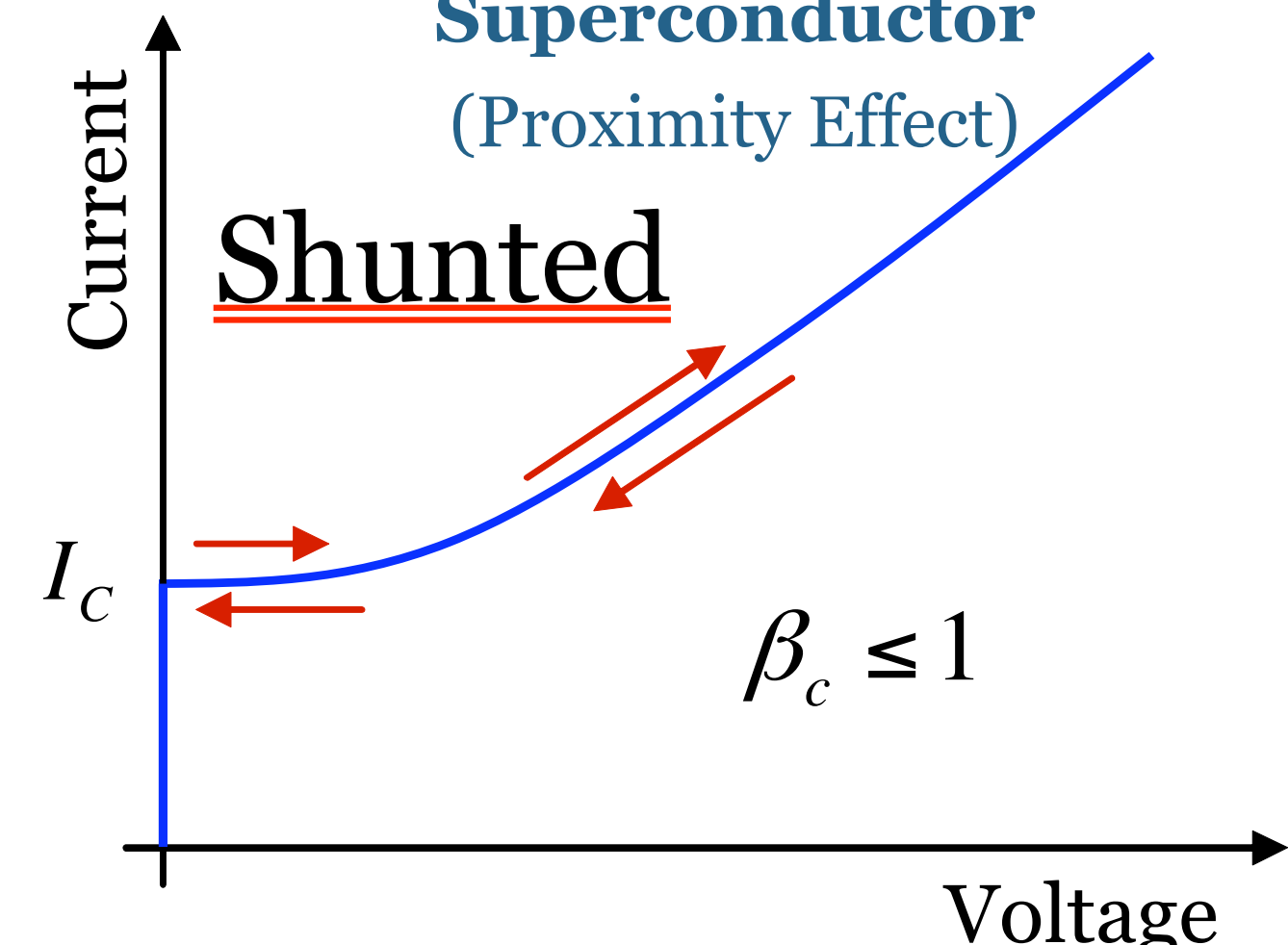


**Latching Logic**

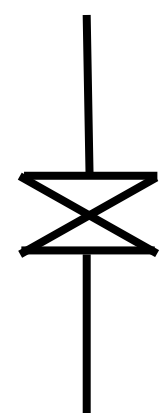
$$\beta_c = \frac{2\pi I_C R(V)^2 C}{\Phi_0}$$

Stewart-McCumber Factor

**Superconductor-  
Normal Metal-  
Superconductor**  
(Proximity Effect)

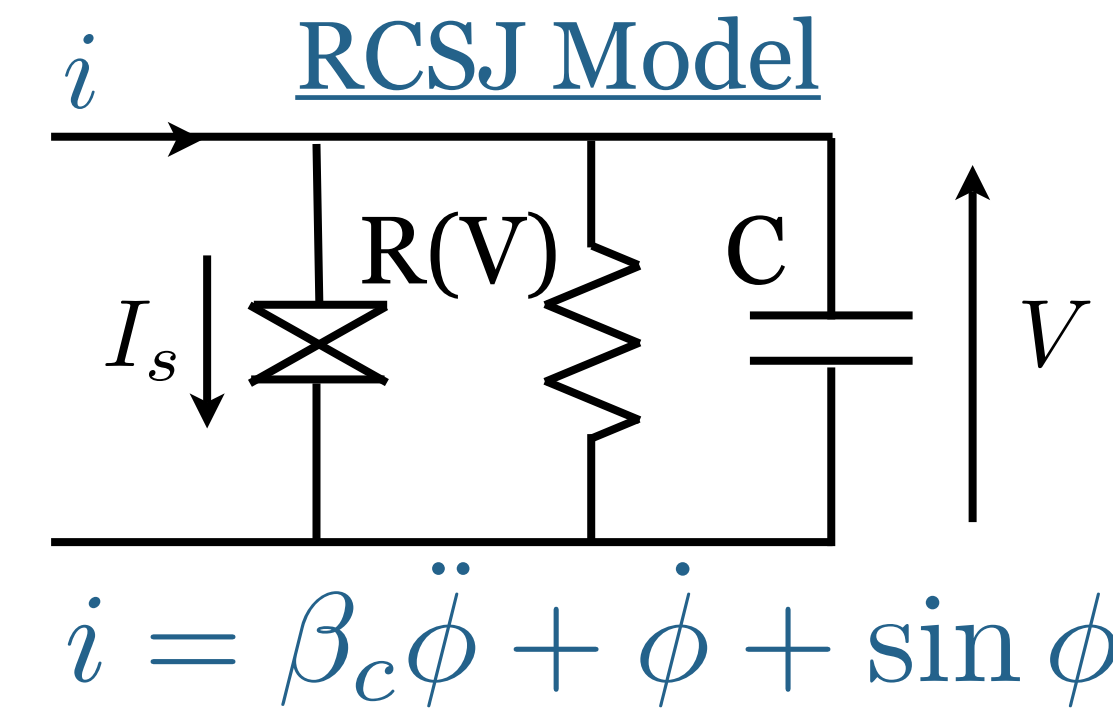
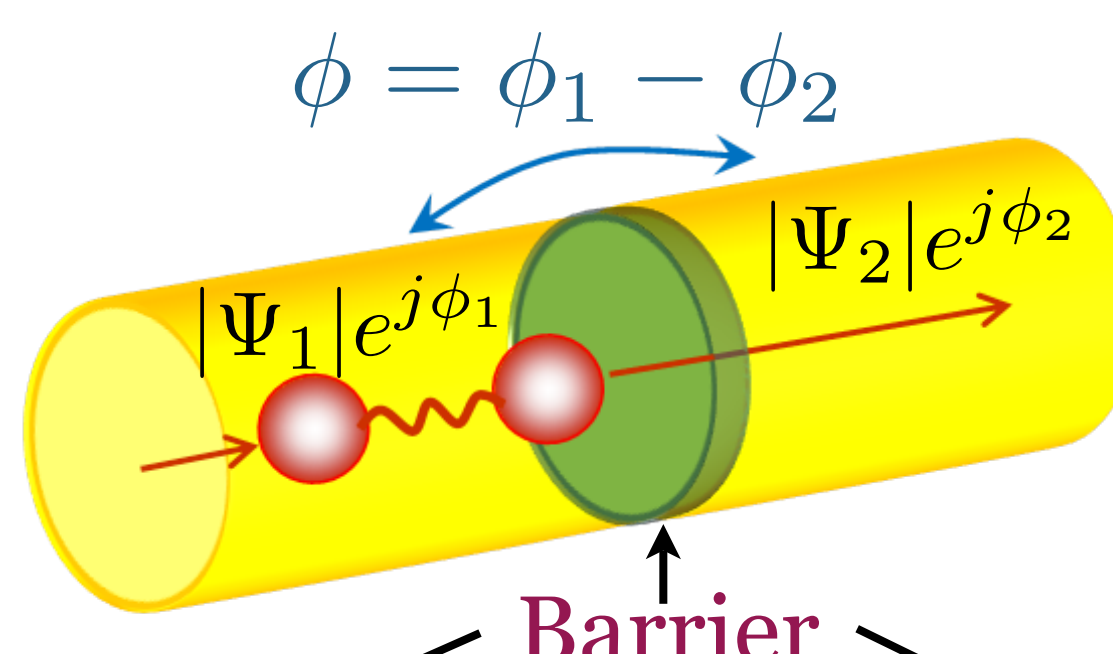


# La jonction Josephson (JJ)

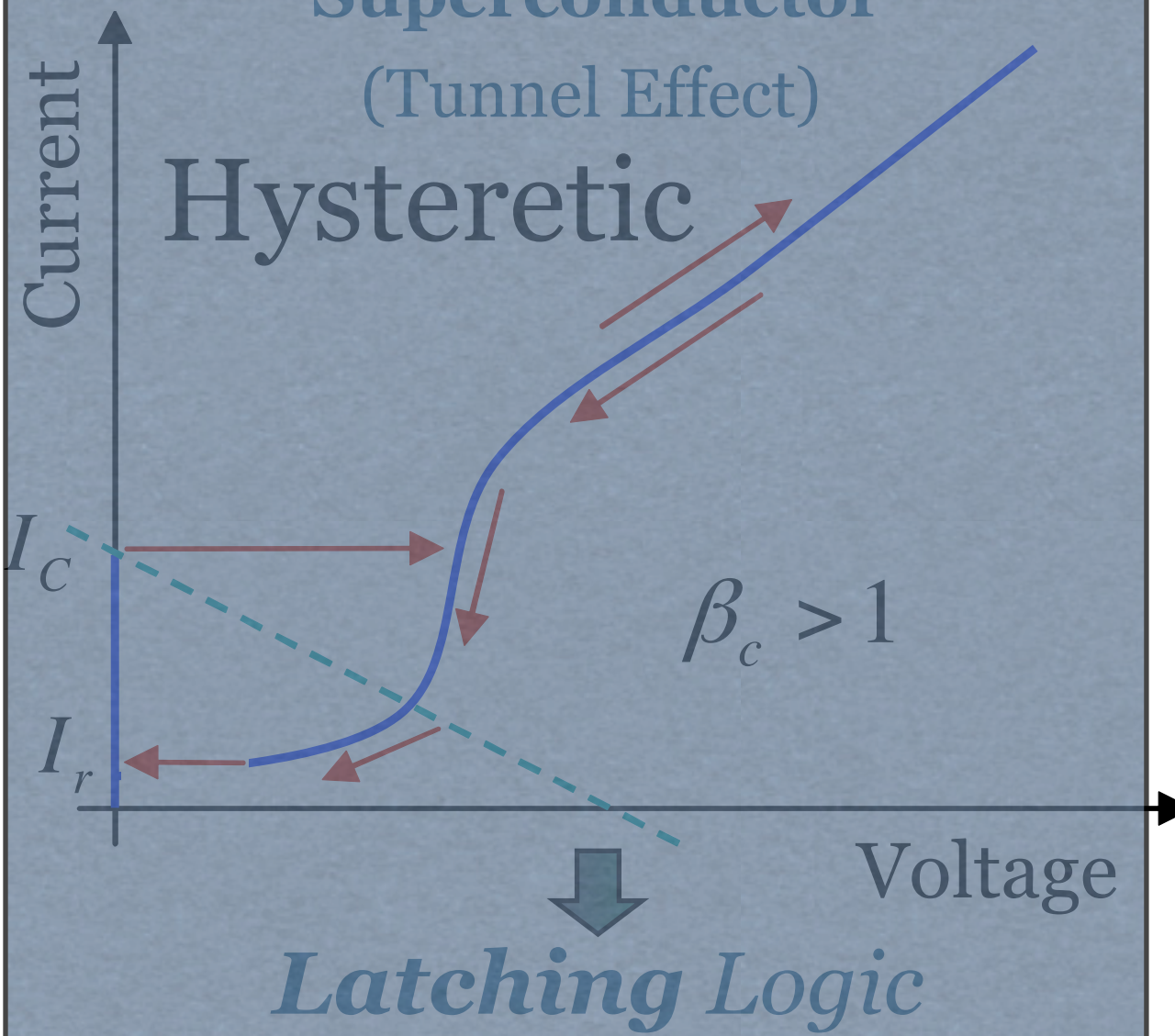


$$I_s = I_c \sin \phi$$

$$V = \frac{\Phi_0}{2\pi} \frac{d\phi}{dt}$$



Superconductor-  
Insulator-  
Superconductor  
(Tunnel Effect)

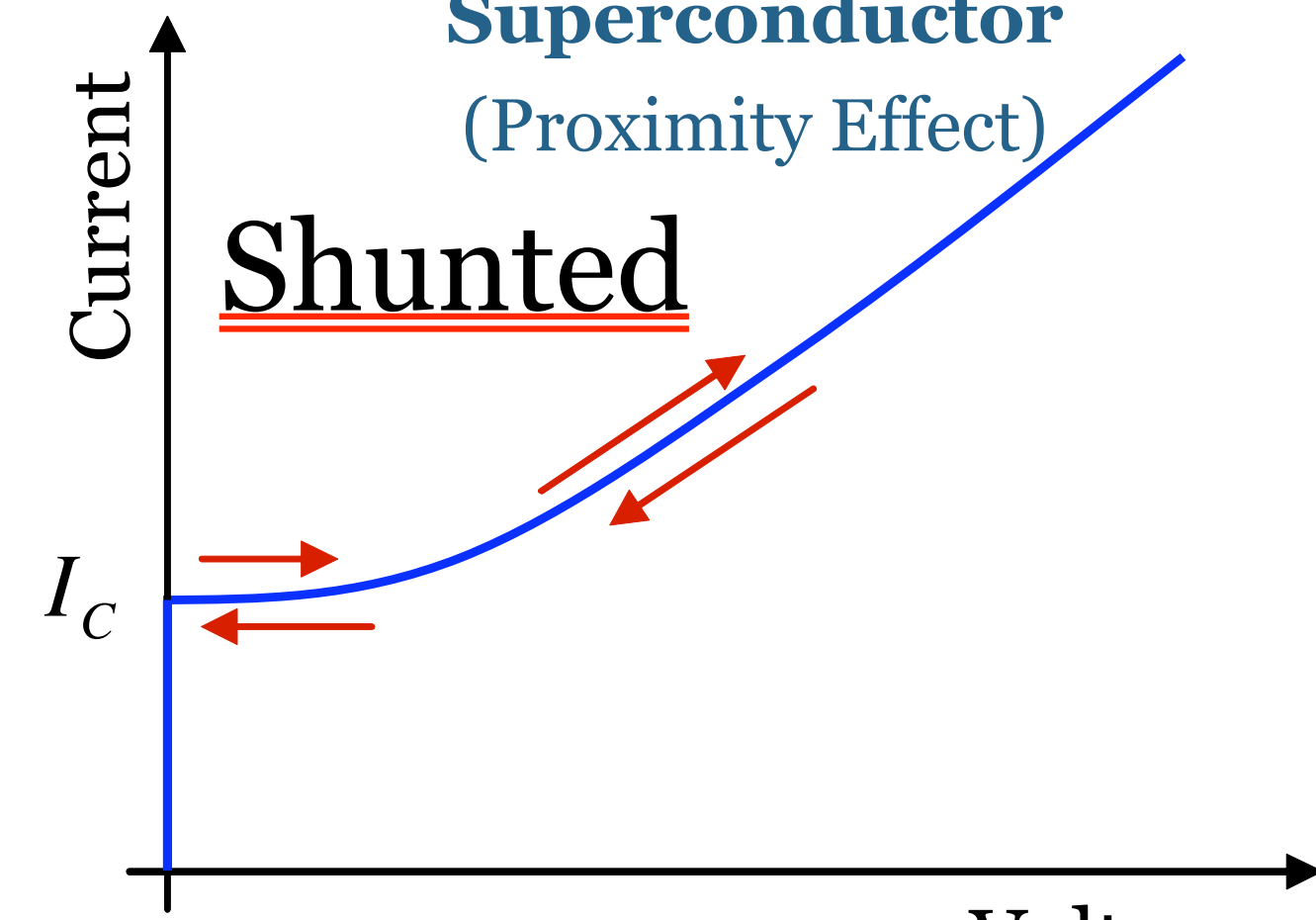


$$\beta_c = \frac{2\pi I_C R(V)^2 C}{\Phi_0}$$

Stewart-  
McCumber  
Factor

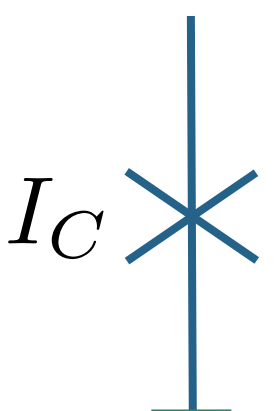
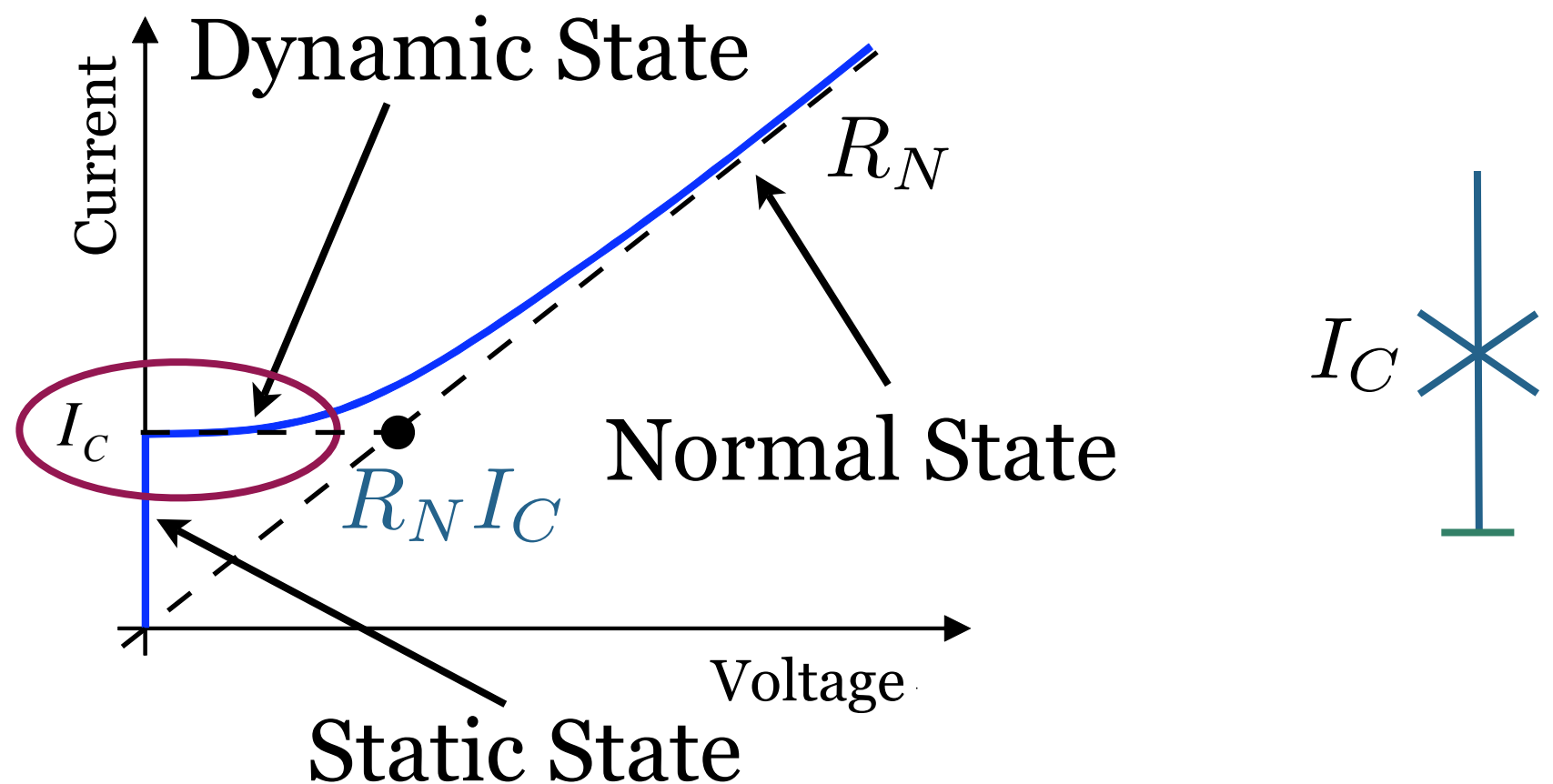
$\beta_c = 1$

Superconductor-  
Normal Metal-  
Superconductor  
(Proximity Effect)

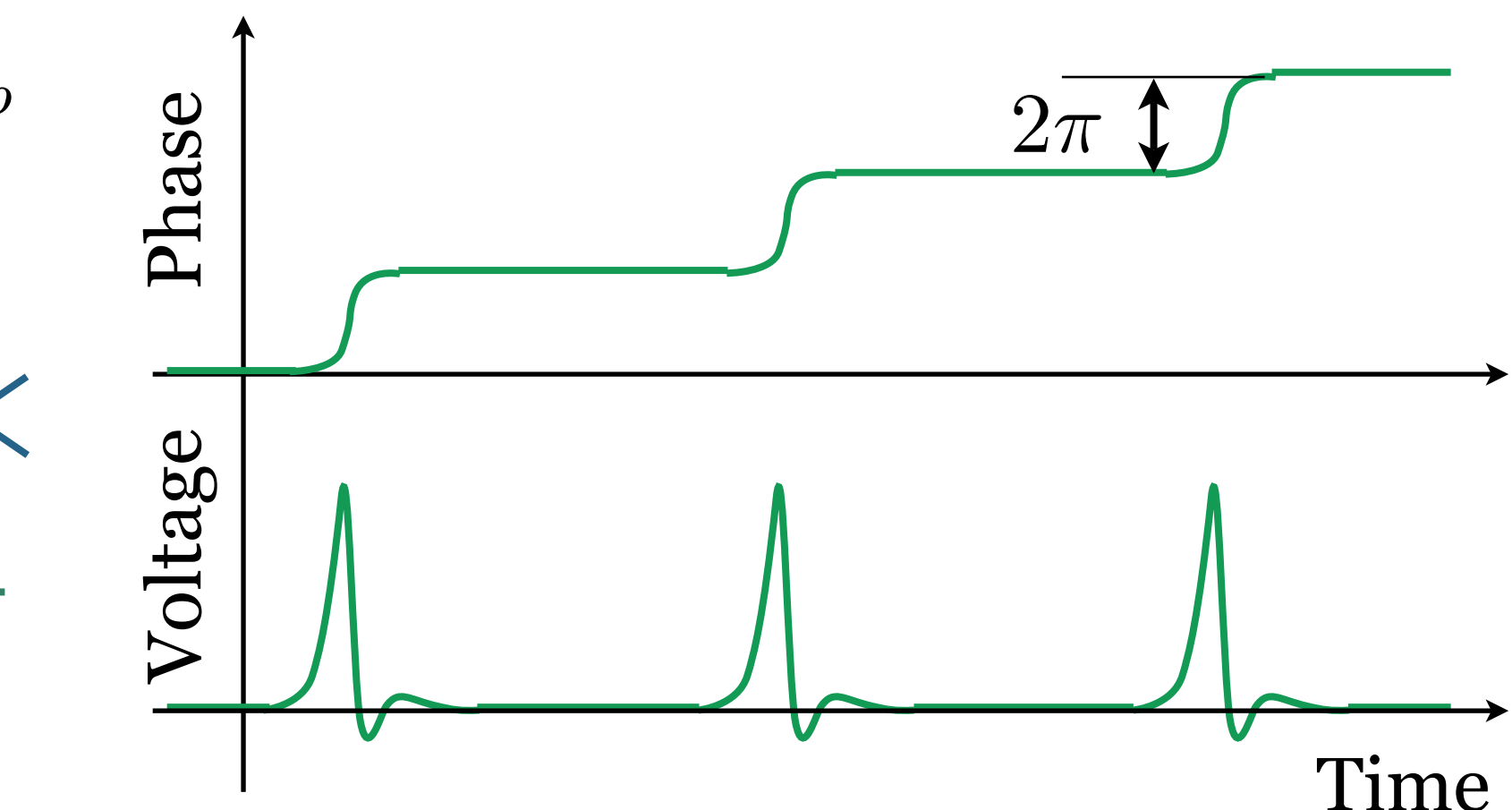
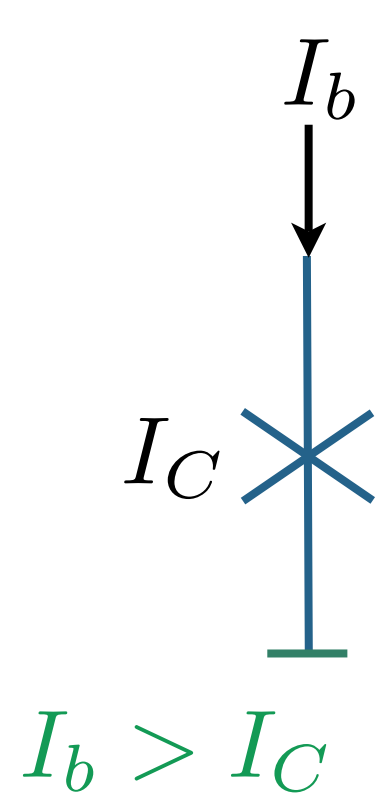
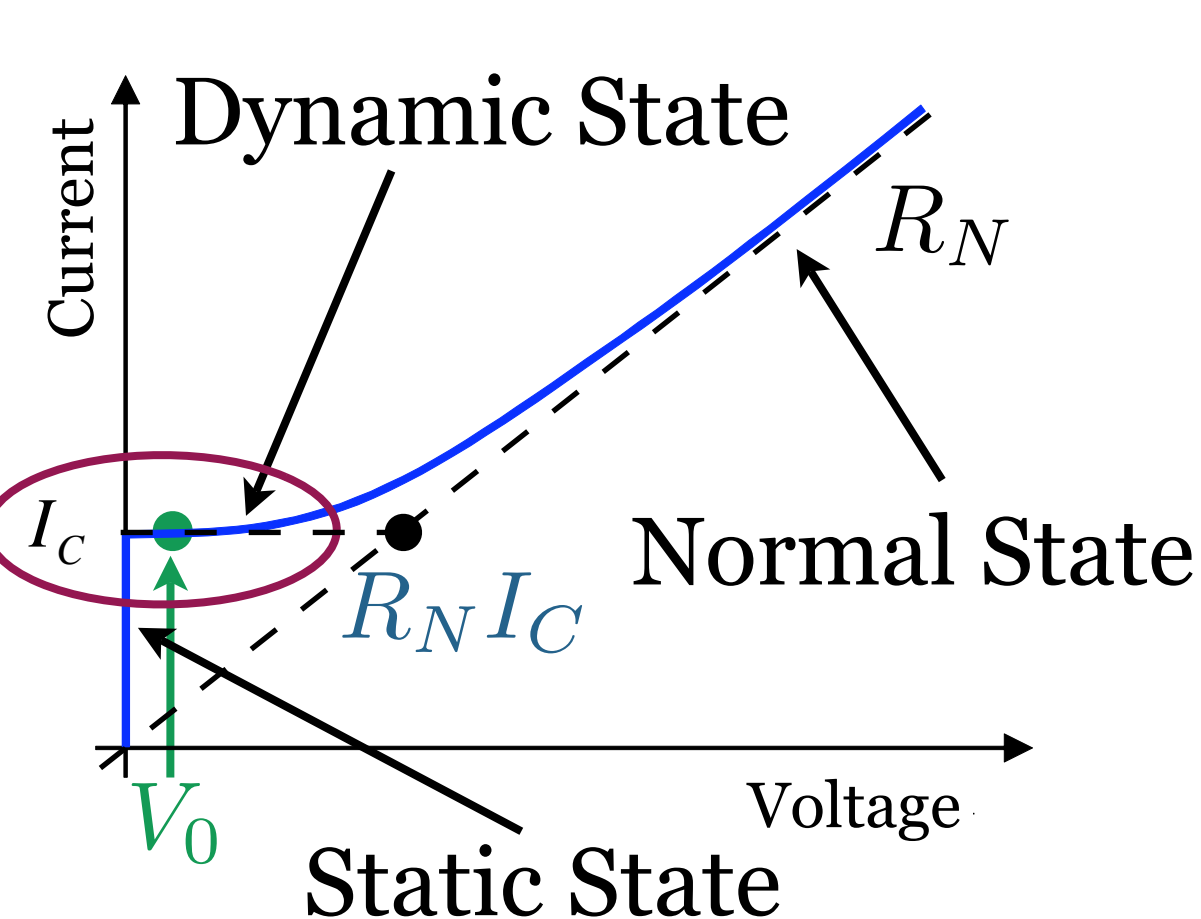


**RSFQ Logic**

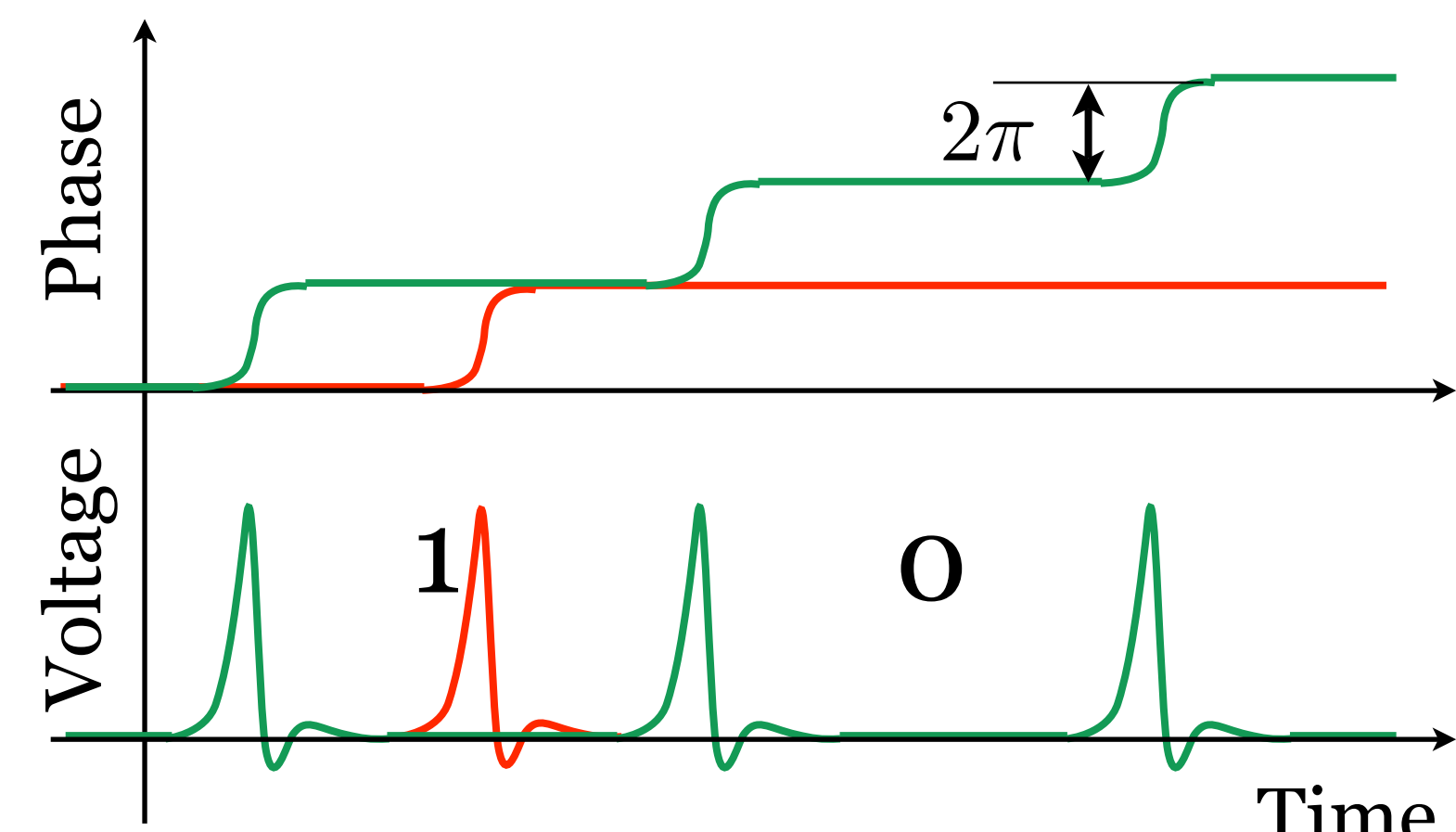
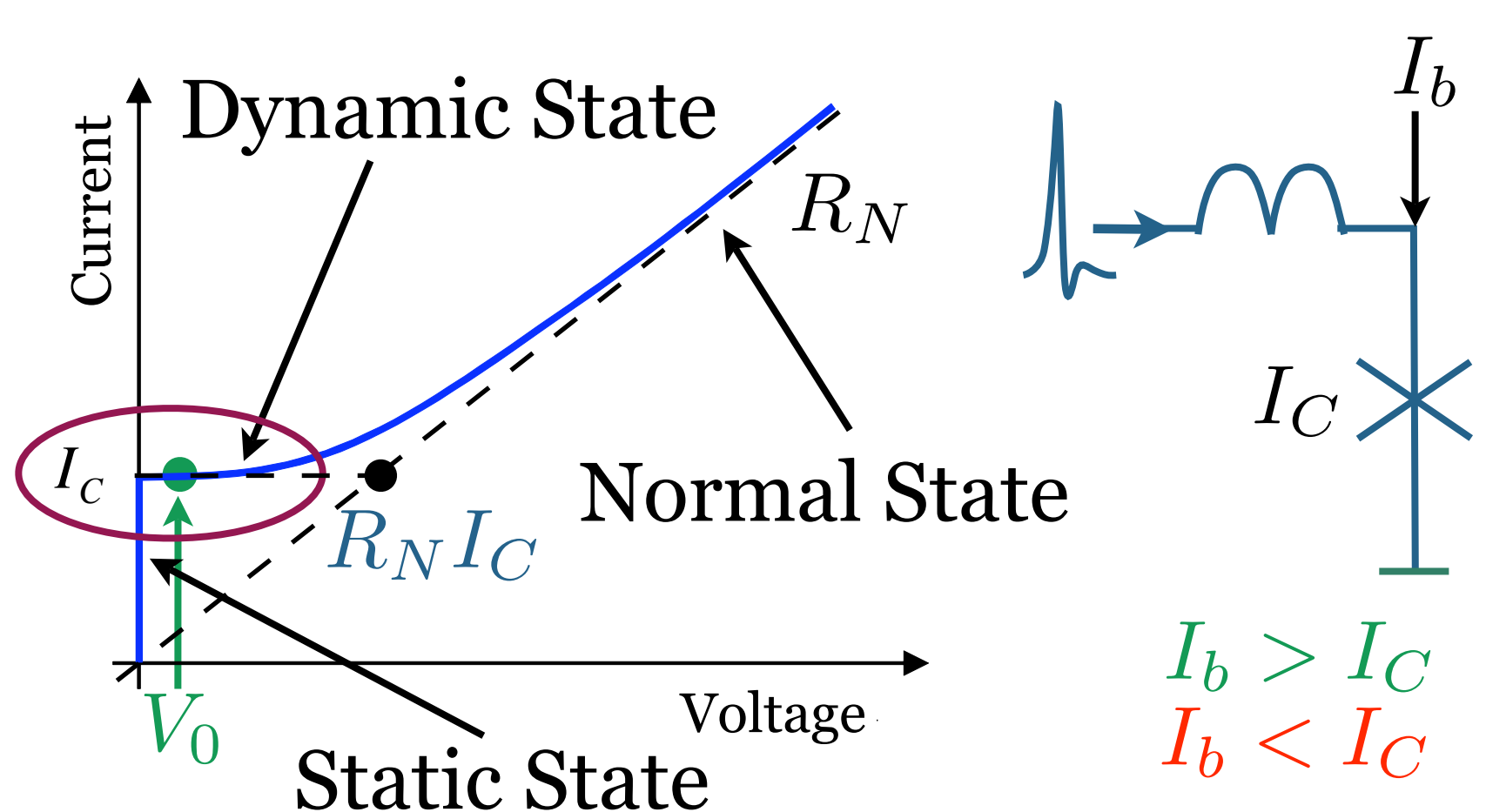
# Le principe de la logique RSFQ



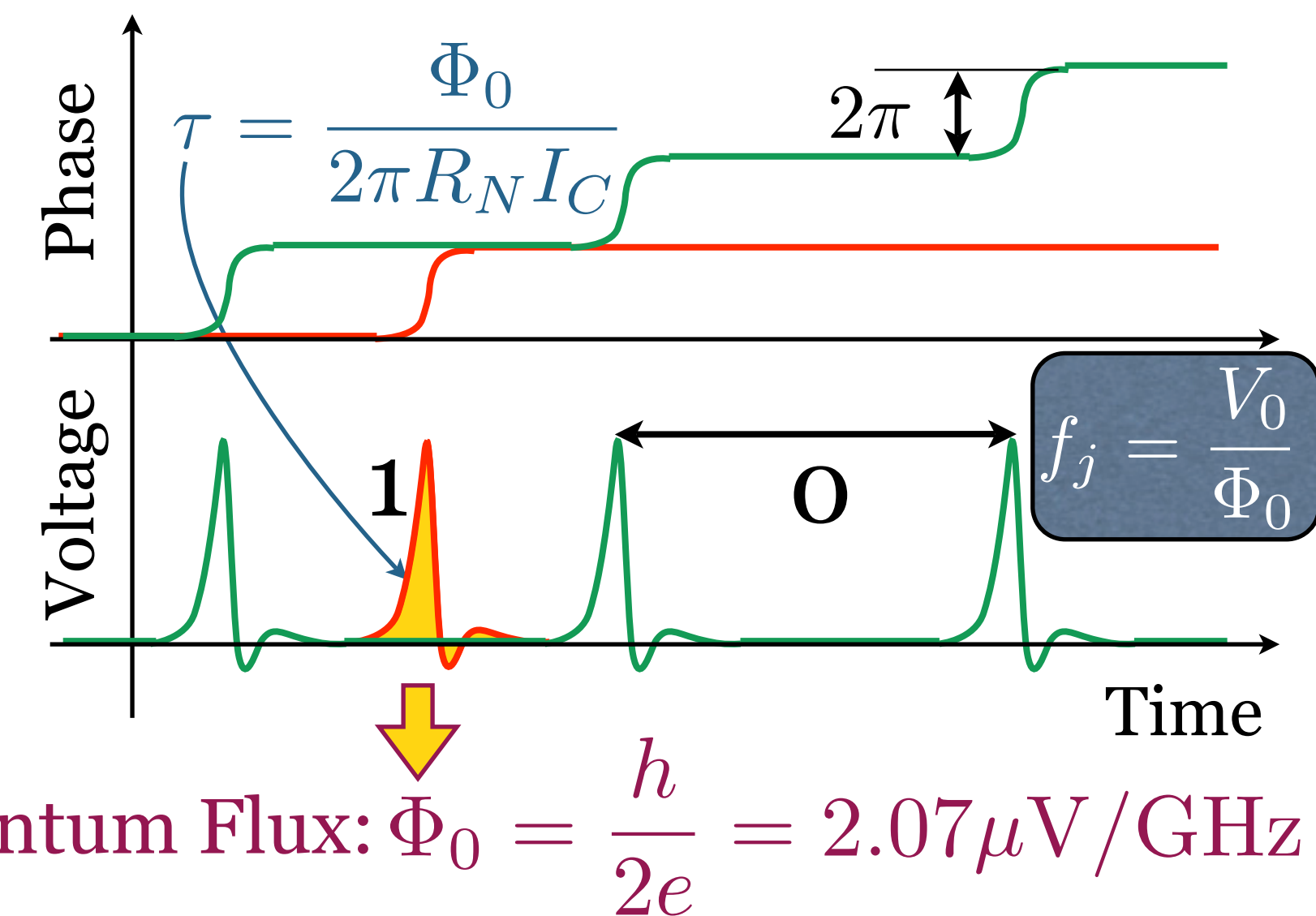
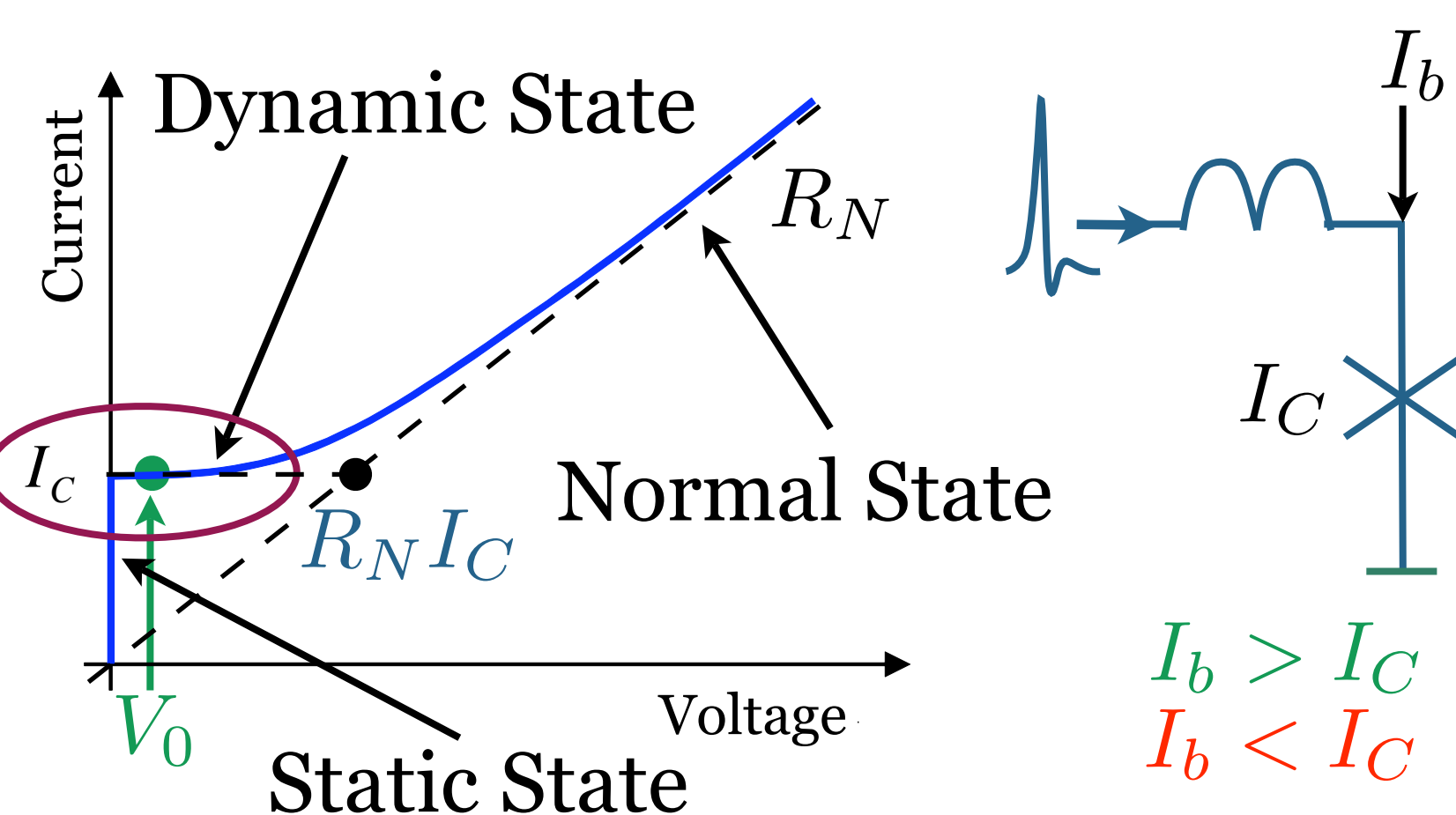
# Le principe de la logique RSFQ



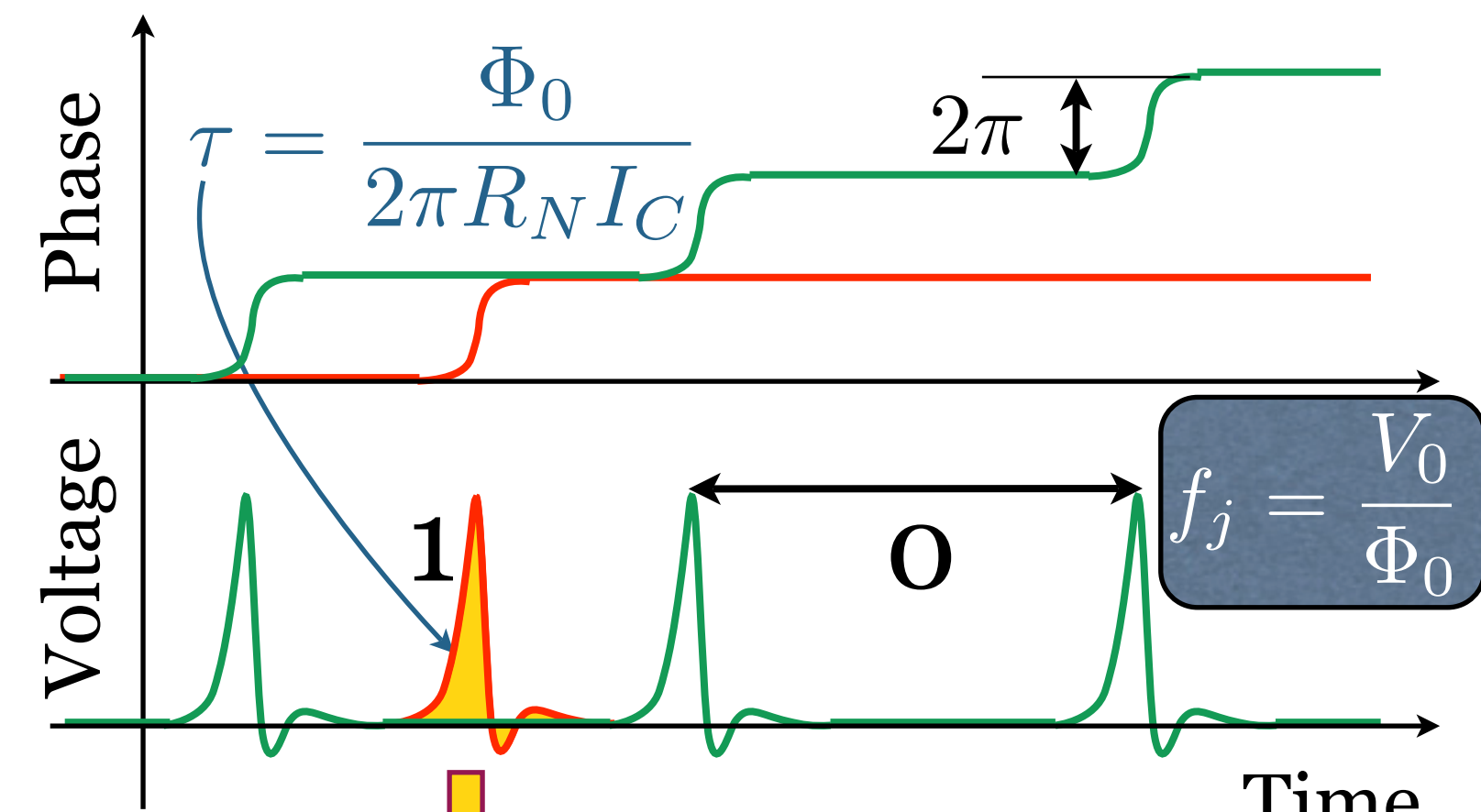
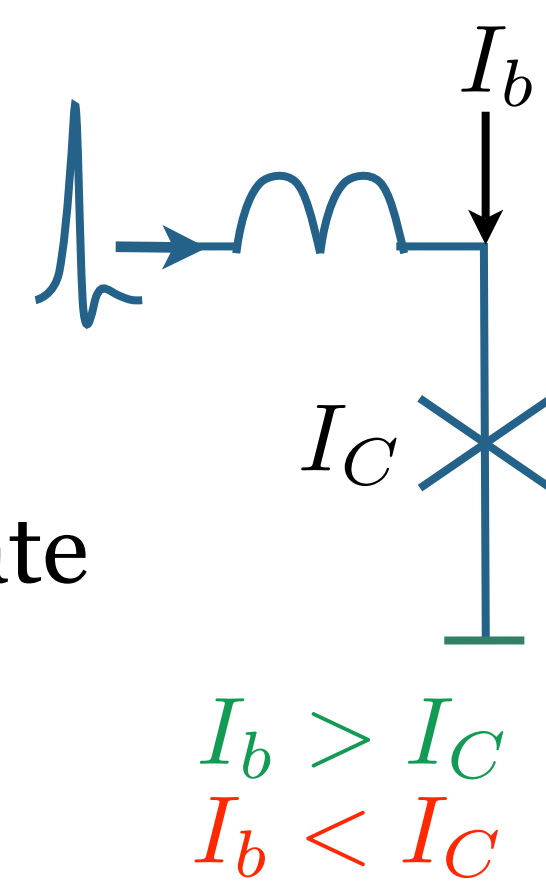
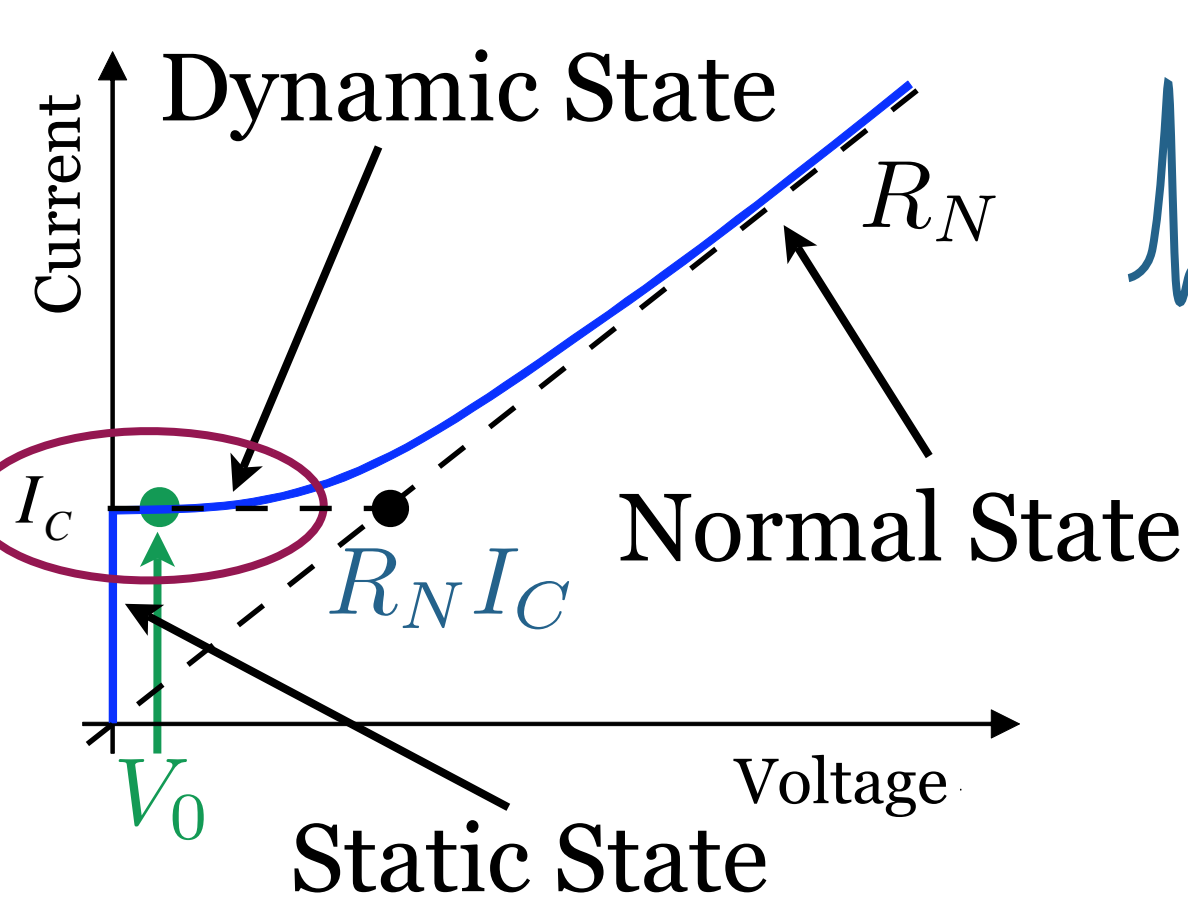
# Le principe de la logique RSFQ



# Le principe de la logique RSFQ

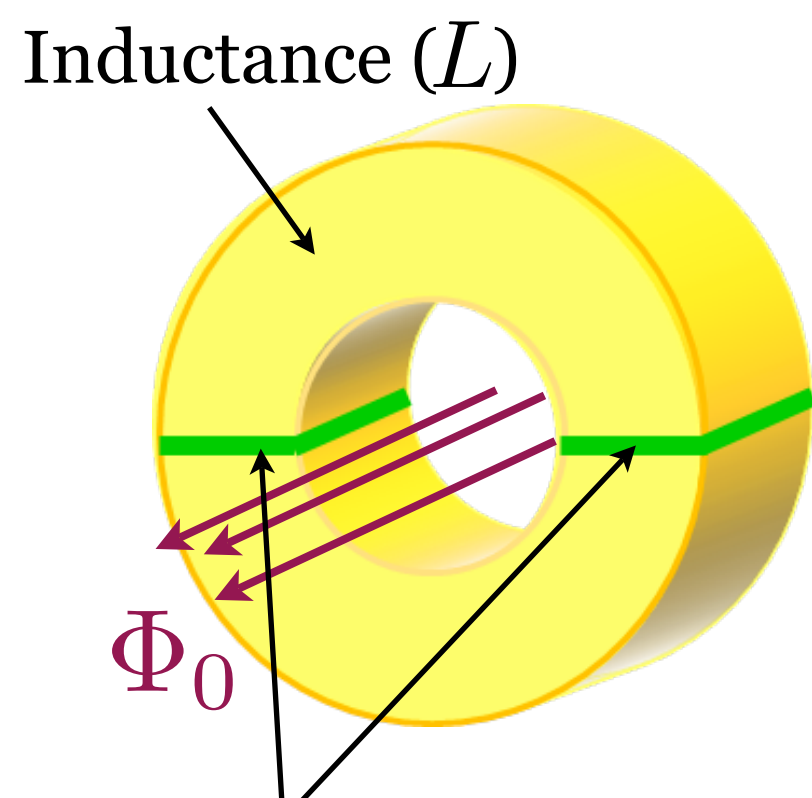


# Le principe de la logique RSFQ



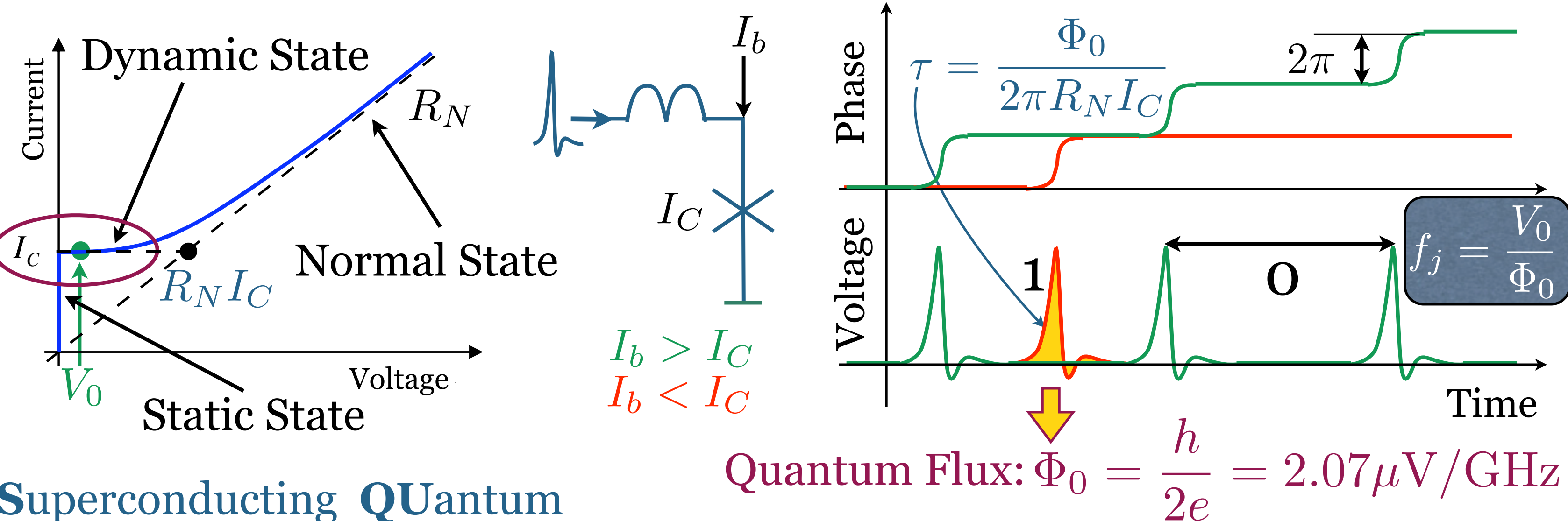
$$\text{Quantum Flux: } \Phi_0 = \frac{h}{2e} = 2.07 \mu\text{V/GHz}$$

**Superconducting QUantum  
Interference Device**

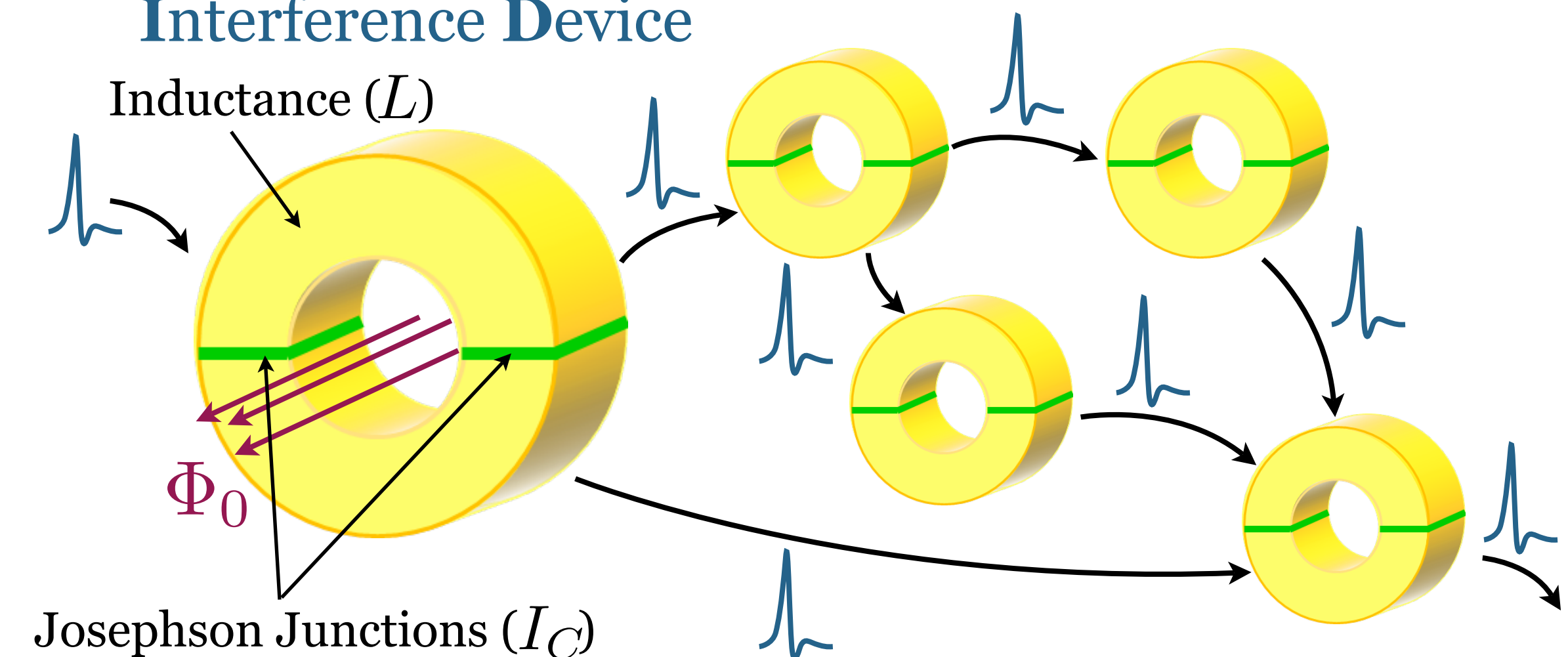


Josephson Junctions ( $I_C$ )

# Le principe de la logique RSFQ



**Superconducting QUantum  
Interference Device**



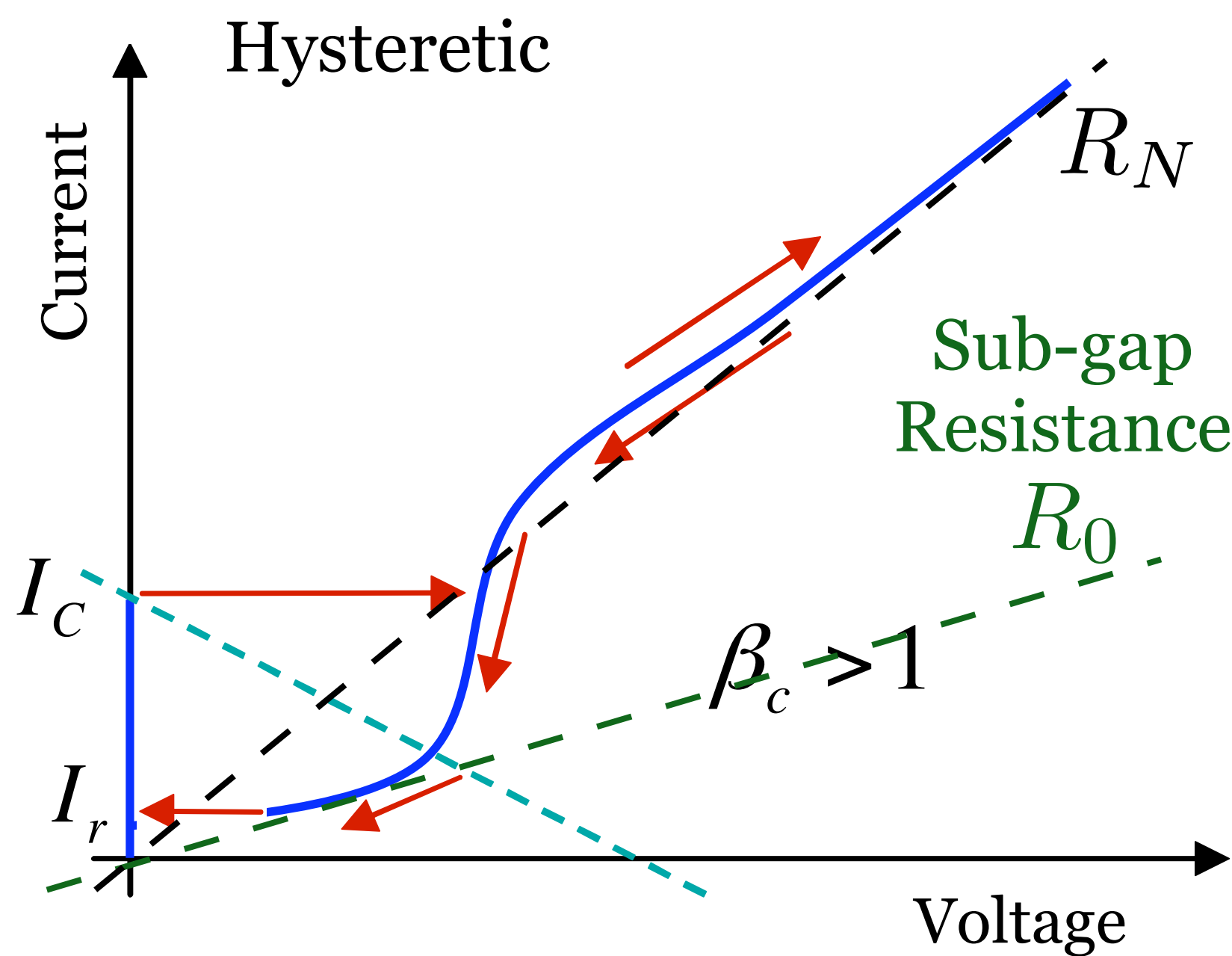
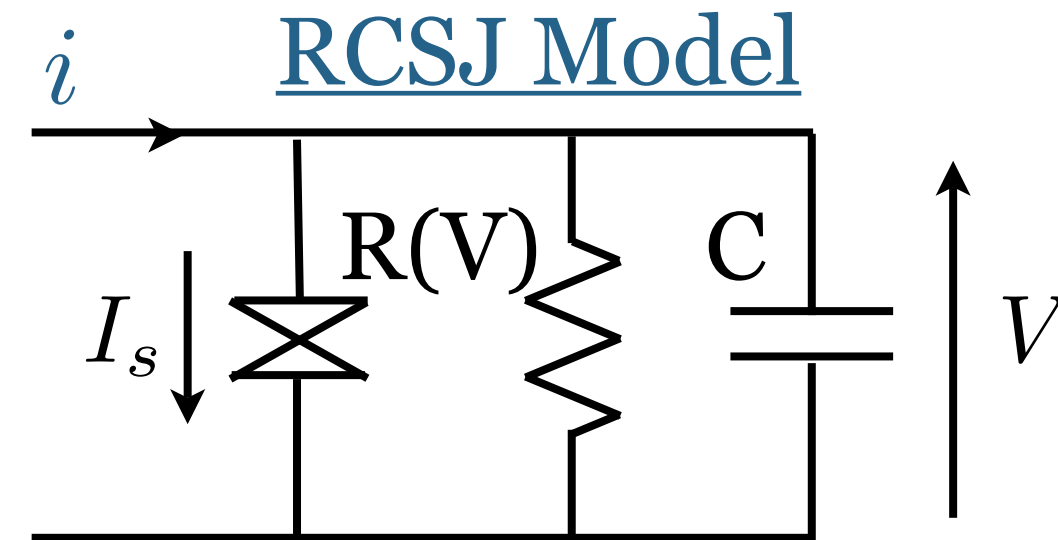
**Flux Transmission**  
 $LI_C < 0.5\Phi_0$

**Flux Storing**  
 $LI_C > 1.5\Phi_0$

# Les jonctions RSFQ existantes

- SIS (Tunnel junctions) Externally Shunted Josephson junctions:

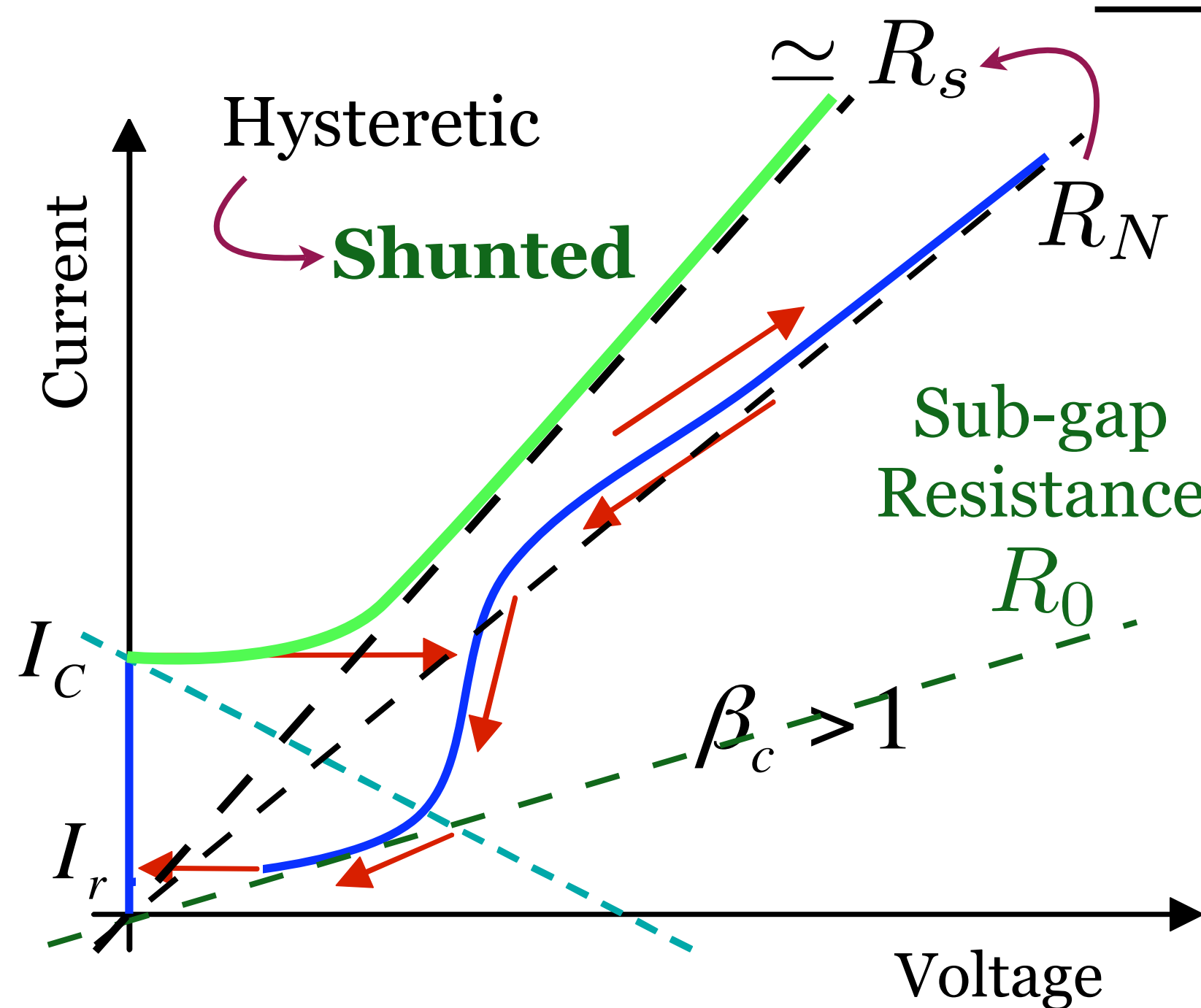
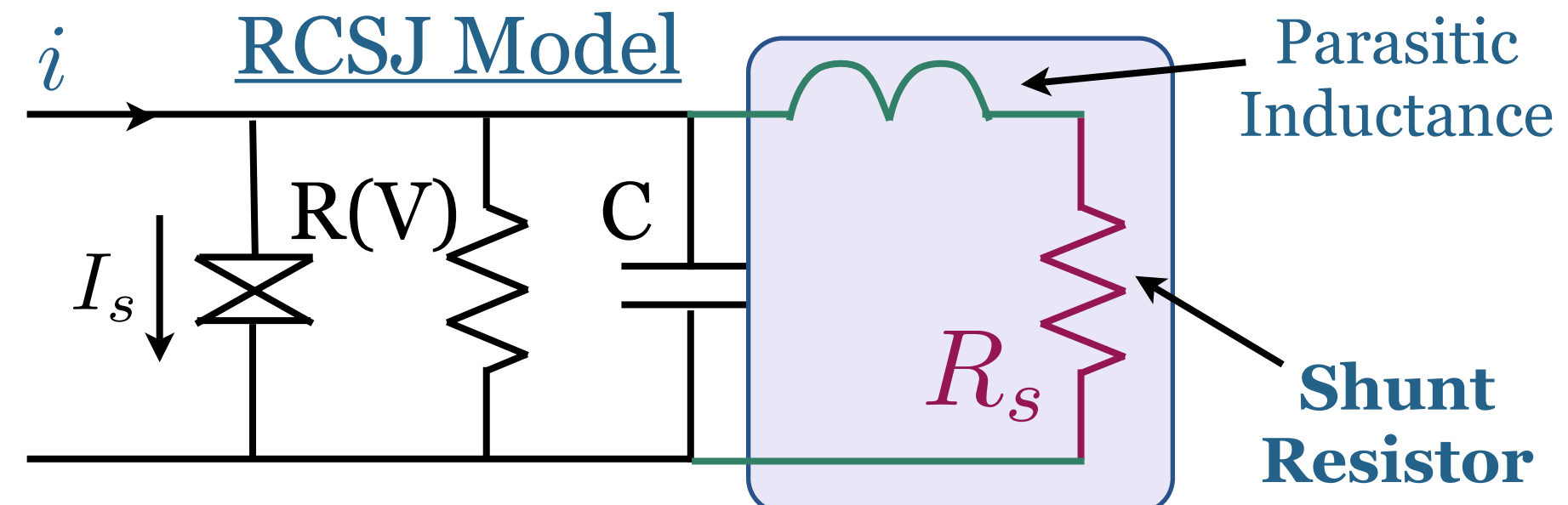
- ✓ Nb/AlO<sub>x</sub>/Nb (4.2 K, 60k JJs)
- ✓ NbN/MgO/NbN (10 K, 10k JJs)



# Les jonctions RSFQ existantes

- **SIS (Tunnel junctions) Externally Shunted Josephson junctions:**

- ✓ Nb/AlO<sub>x</sub>/Nb (4.2 K, 60k JJs)
- ✓ NbN/MgO/NbN (10 K, 10k JJs)

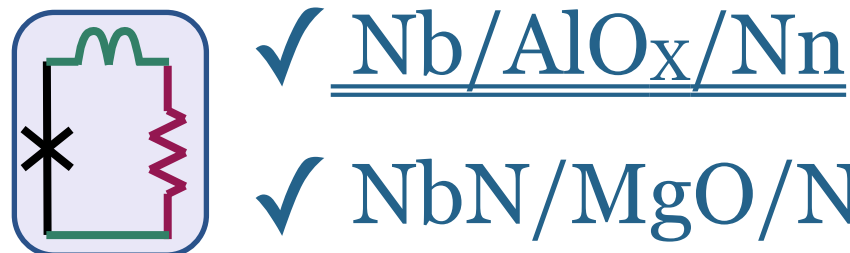


Externally reduced Stewart-McCumber factor

$$\beta_c = \frac{2\pi I_C (R_0 // R_s)^2 C}{\Phi_0} \underset{\approx R_s}{\underbrace{\frac{R_0 // R_s}{R_s}}} \approx 1$$

# Les Jonctions RSFQ existantes

- **SIS Externally Shunted JJs:**



✓ Nb/AlO<sub>x</sub>/Nb

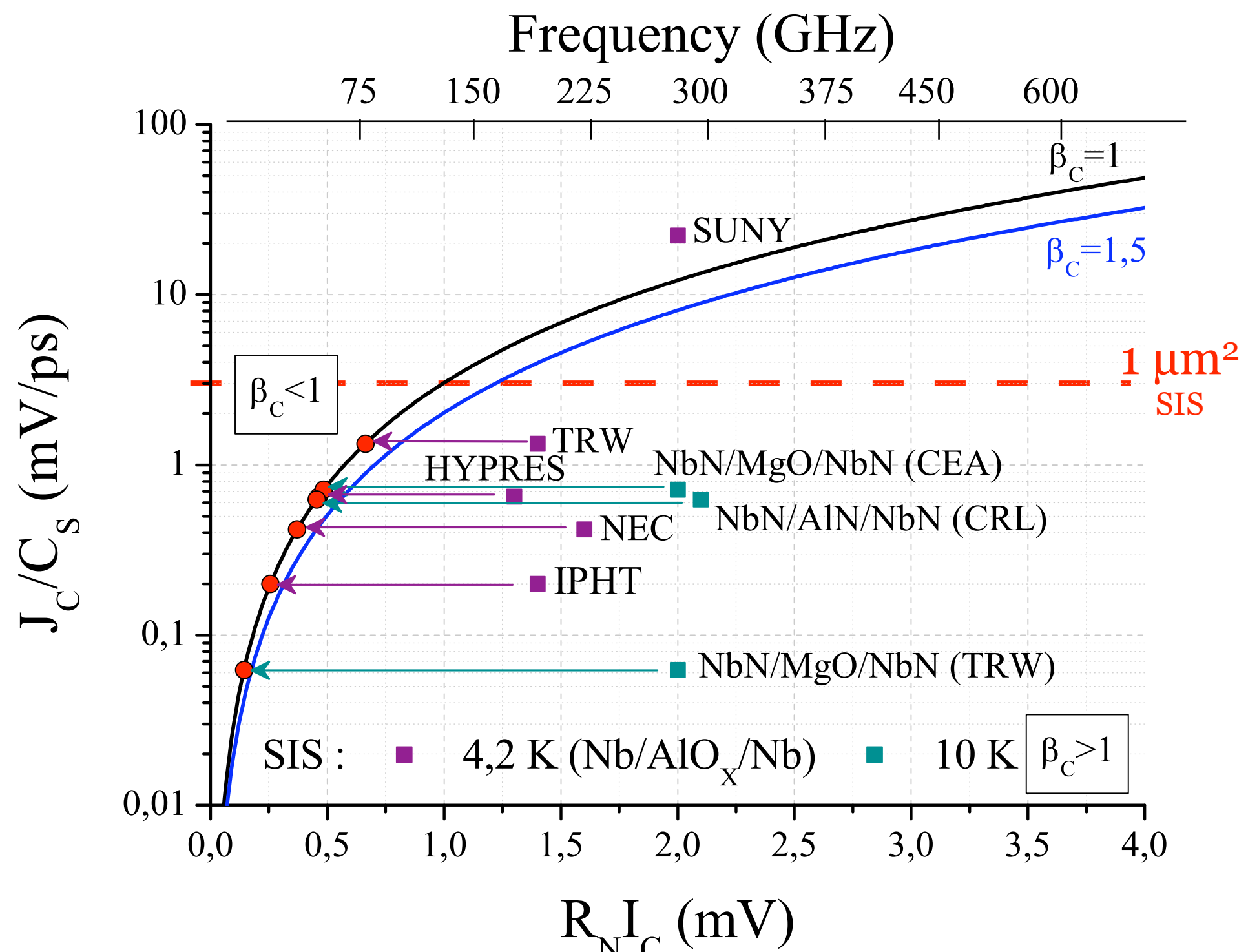
✓ NbN/MgO/NbN



$$\underline{R_N I_C[\text{SIS Ex. Sh.}] < R_N^* I_C[\text{SIS}]}$$

$R_N I_C \rightarrow$  Characteristic Voltage

$$f_{clock}[\text{GHz}] \propto R_N I_C[\text{mV}]$$



# Les Jonctions RSFQ existantes

- **SIS Externally Shunted JJs:**

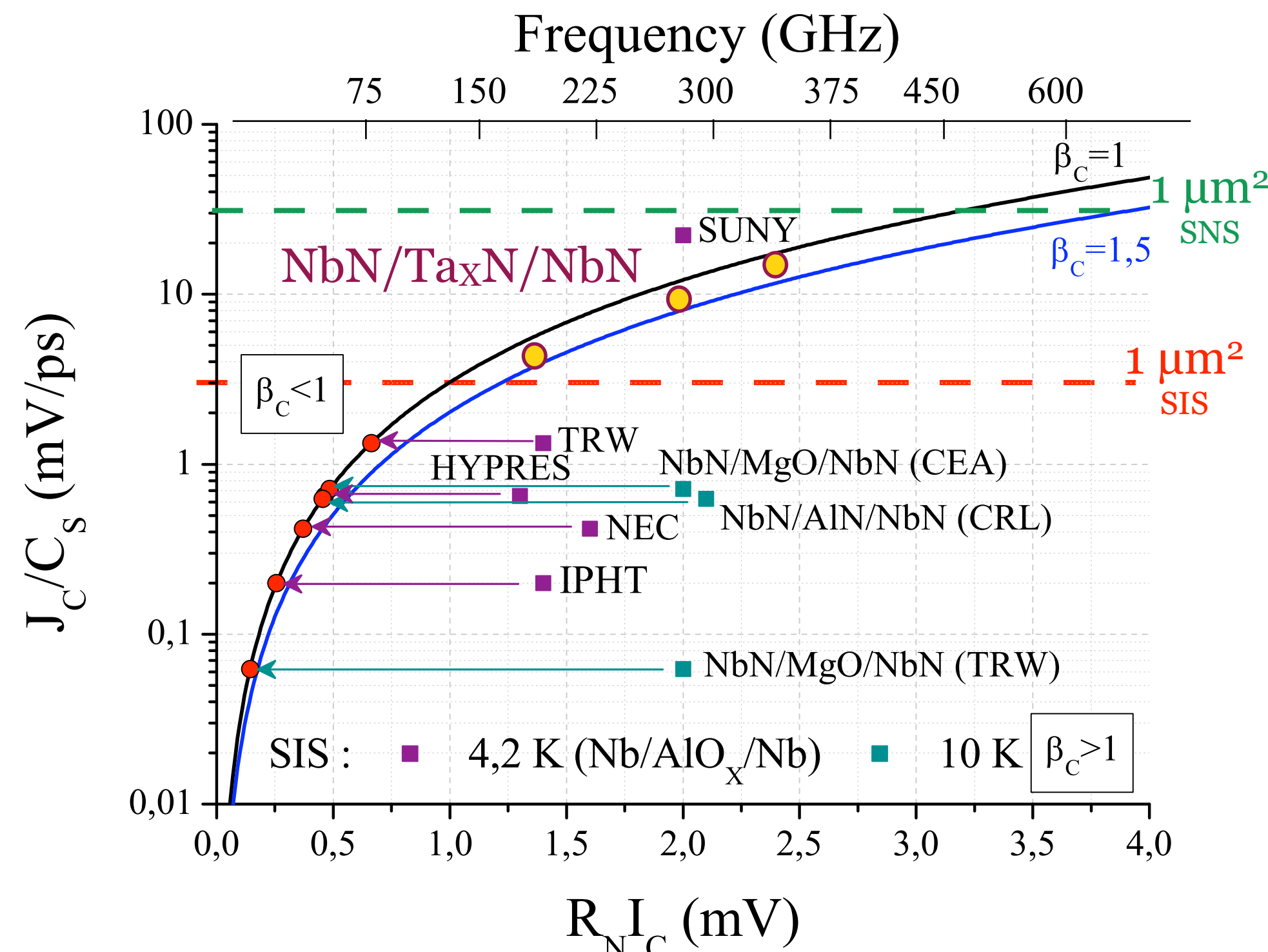
- ✓ Nb/AlO<sub>x</sub>/Nb
- ✓ NbN/MgO/NbN



$$\underline{R_N I_C[\text{SIS Ex. Sh.}] < R_N^* I_C[\text{SIS}]}$$

$R_N I_C \rightarrow$  Characteristic Voltage

$$f_{clock}[\text{GHz}] \propto R_N I_C[\text{mV}]$$



- **SNS Self-Shunted JJs:**

Internally reduced  $\beta_c$

- \* No parasitic inductances
- \* High circuit density
- \* 1 order higher thickness

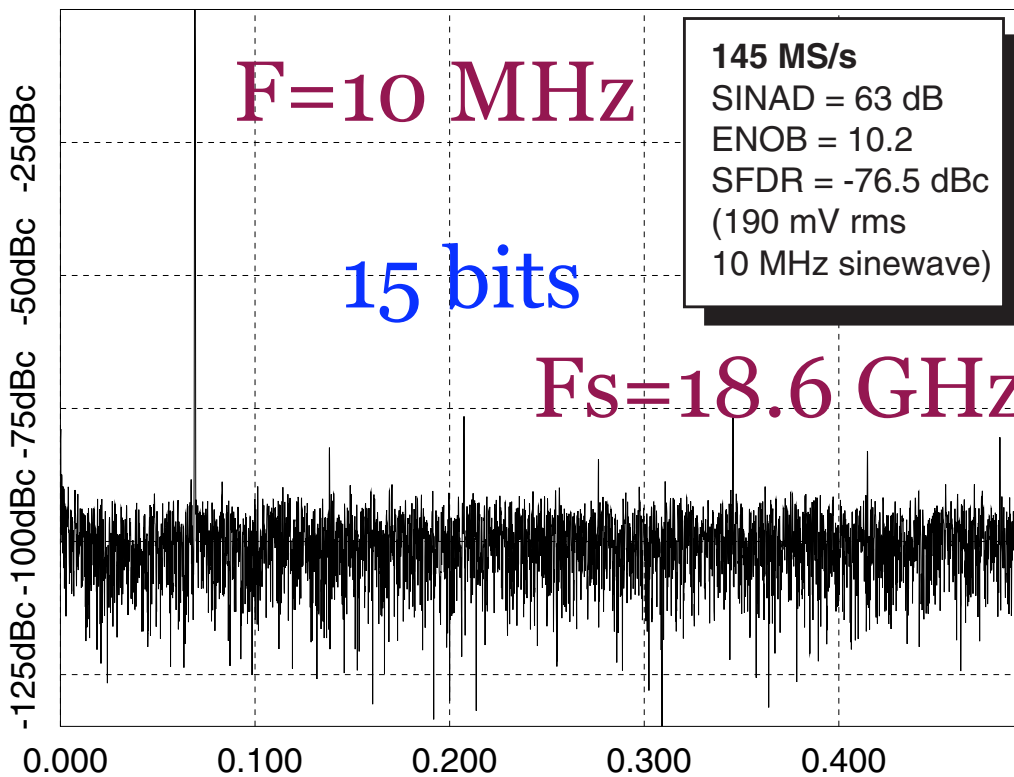
✓ NbN/TaxN/NbN (10k JJs)



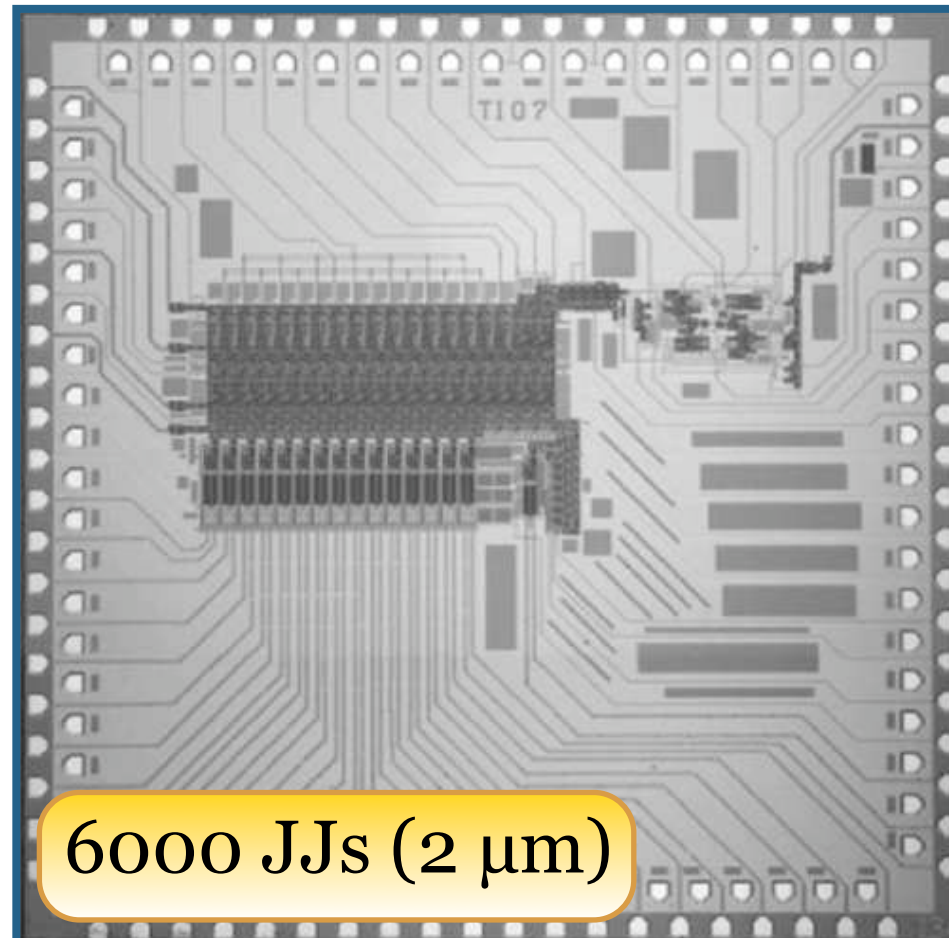
→ Higher  $R_N I_C$  even at low Resistivity → High Resistivity

# Etat de l'art des CAN

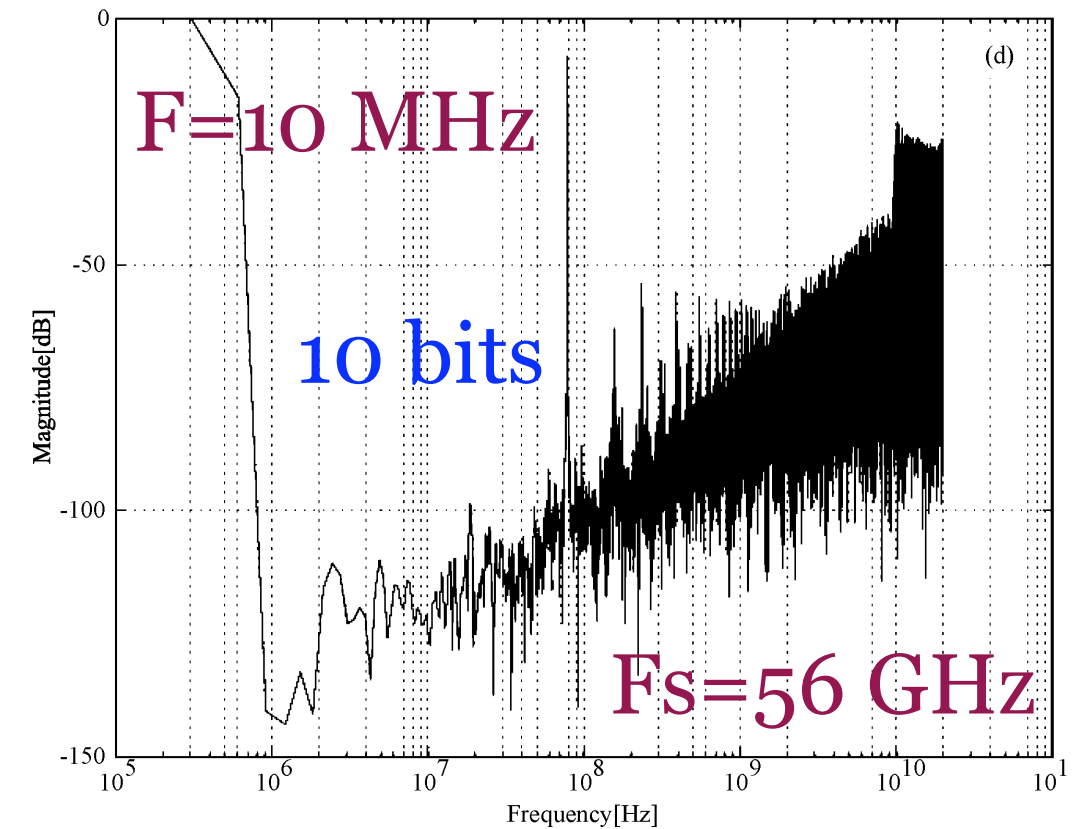
## Phase Modulation–Demodulation ADC Architecture [USA (HYPRES)]



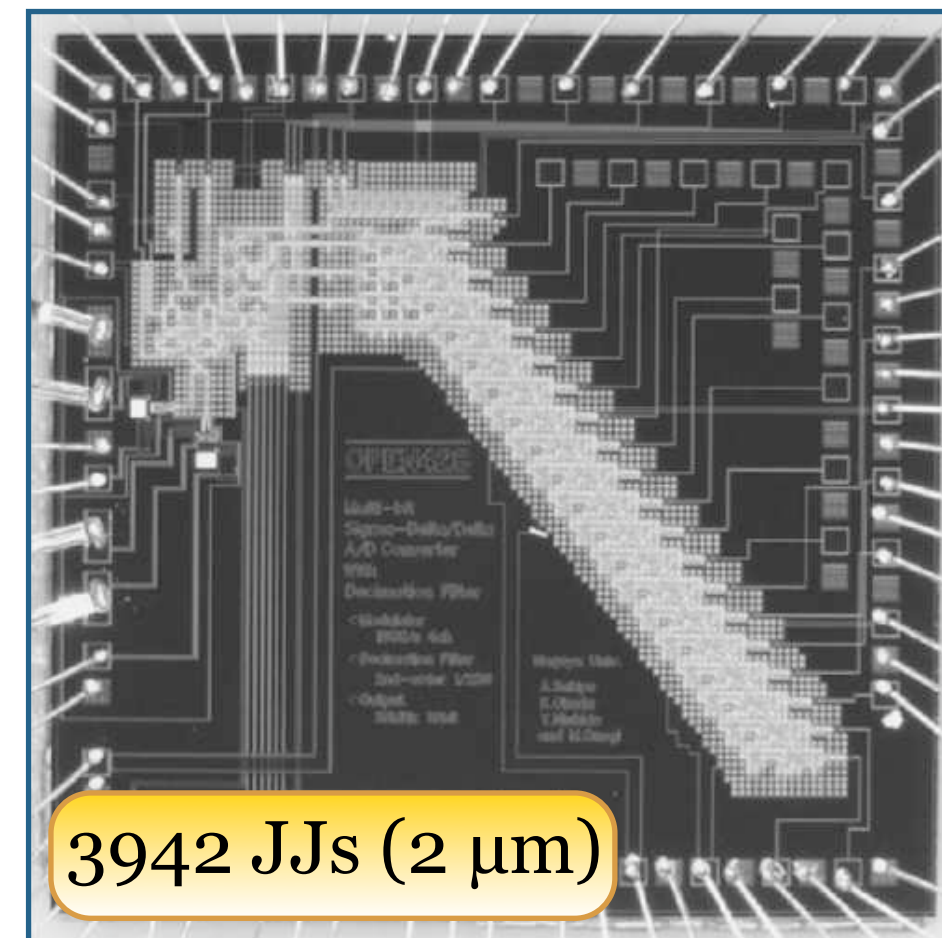
Tested at 145 Ms/s



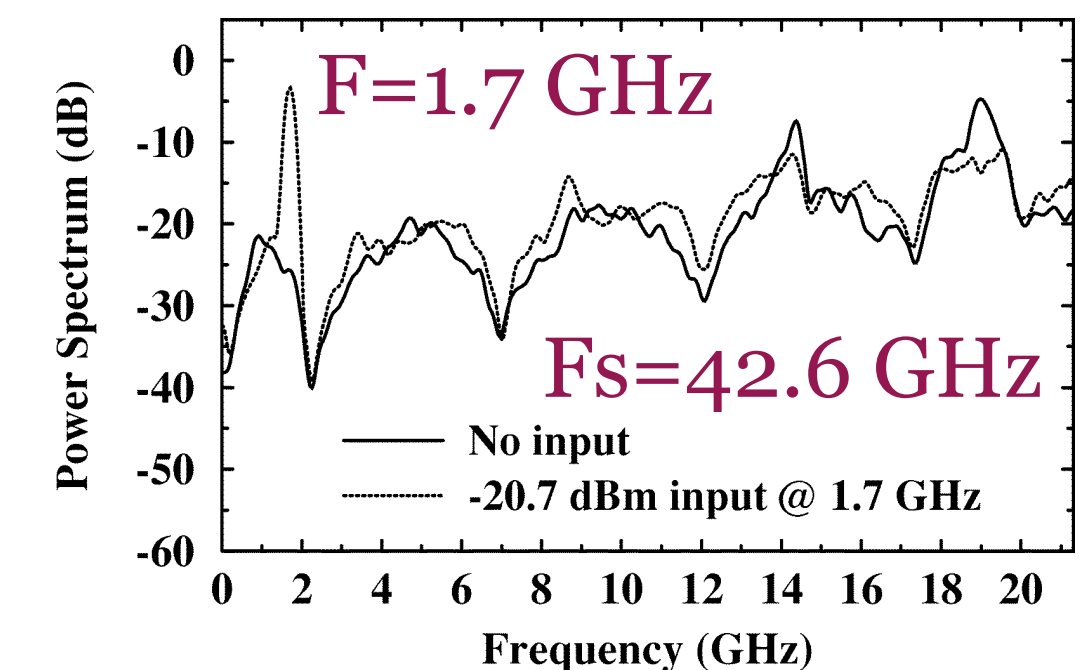
## Low-Pass Sigma-Delta ADC Architecture [Japan (NEC)]



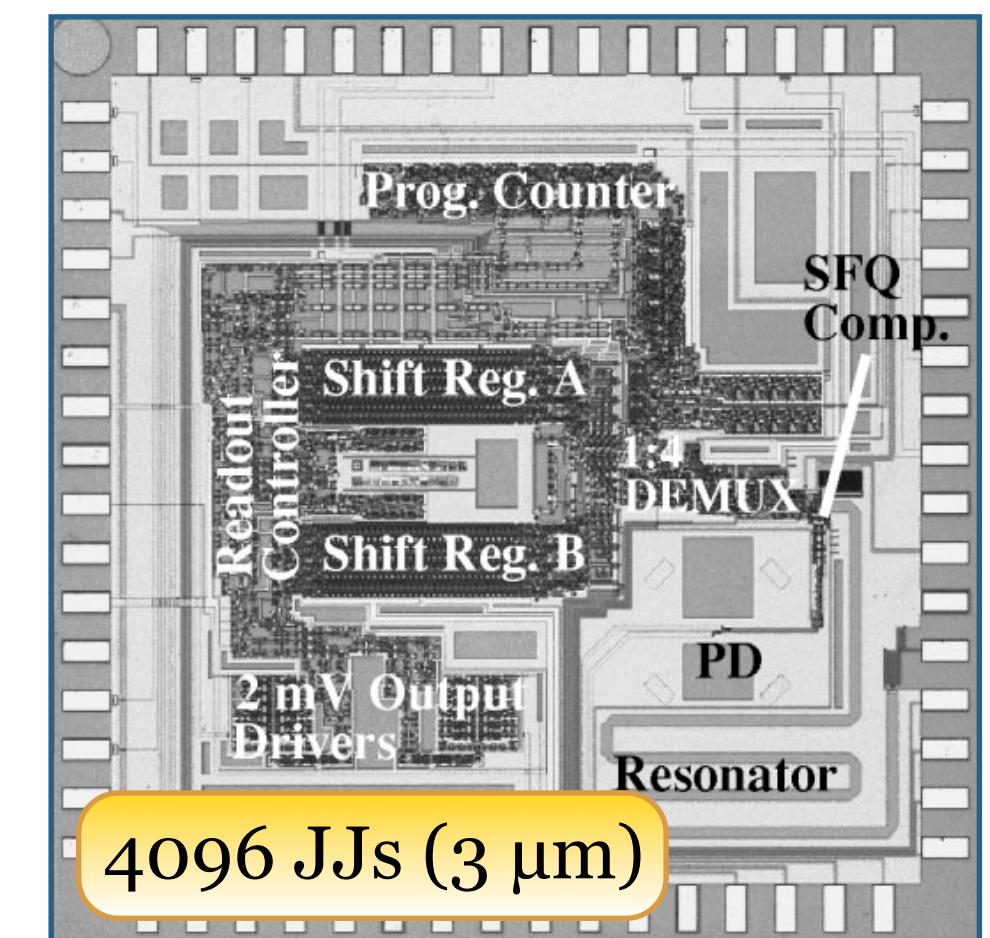
Tested at 218 Ms/s



## Band-Pass Sigma-Delta Modulator [USA (HYPRES)]



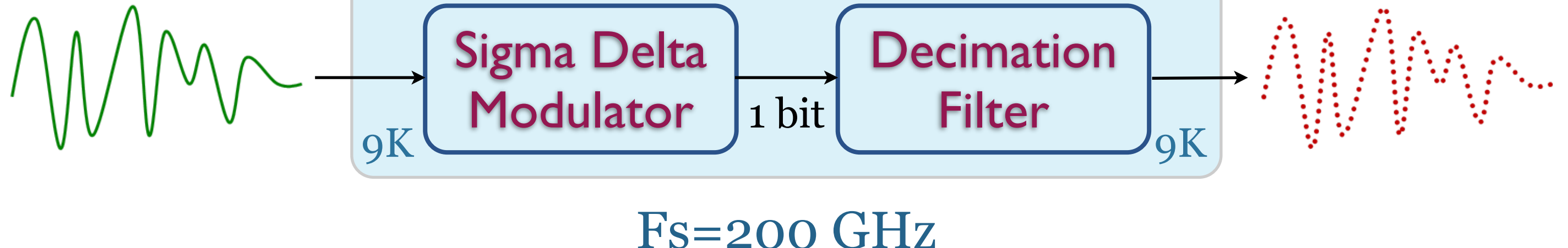
Tested at 320 Ms/s



# Objectif

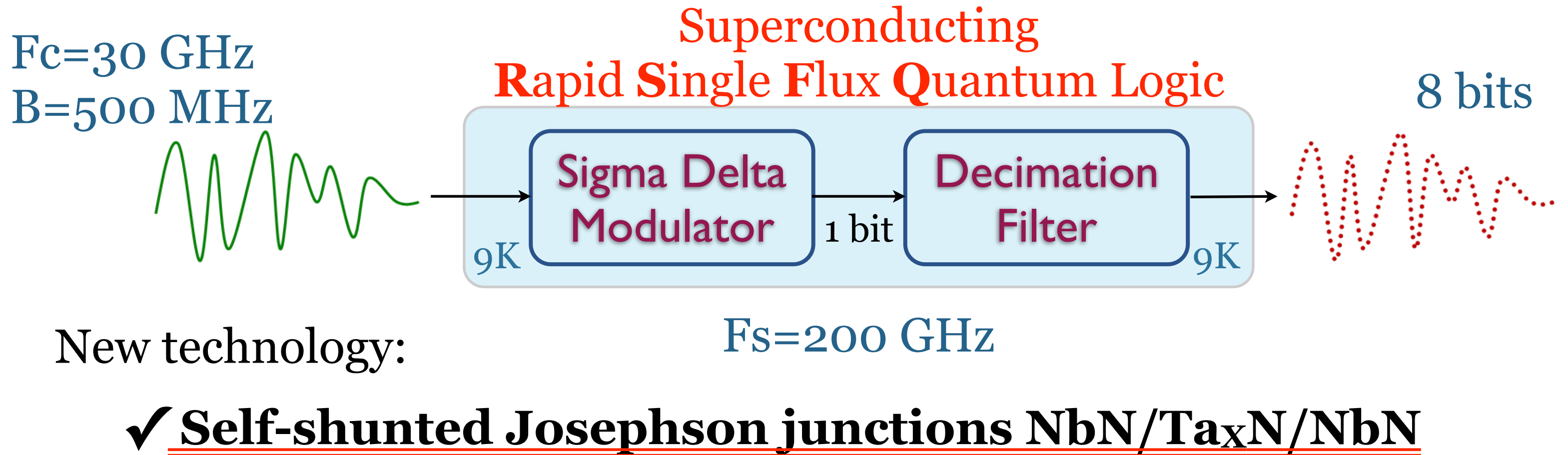
Analog-to-Digital Converter based on  $\Sigma\Delta$  Architecture

$F_c = 30 \text{ GHz}$   
 $B = 500 \text{ MHz}$



# Objectif

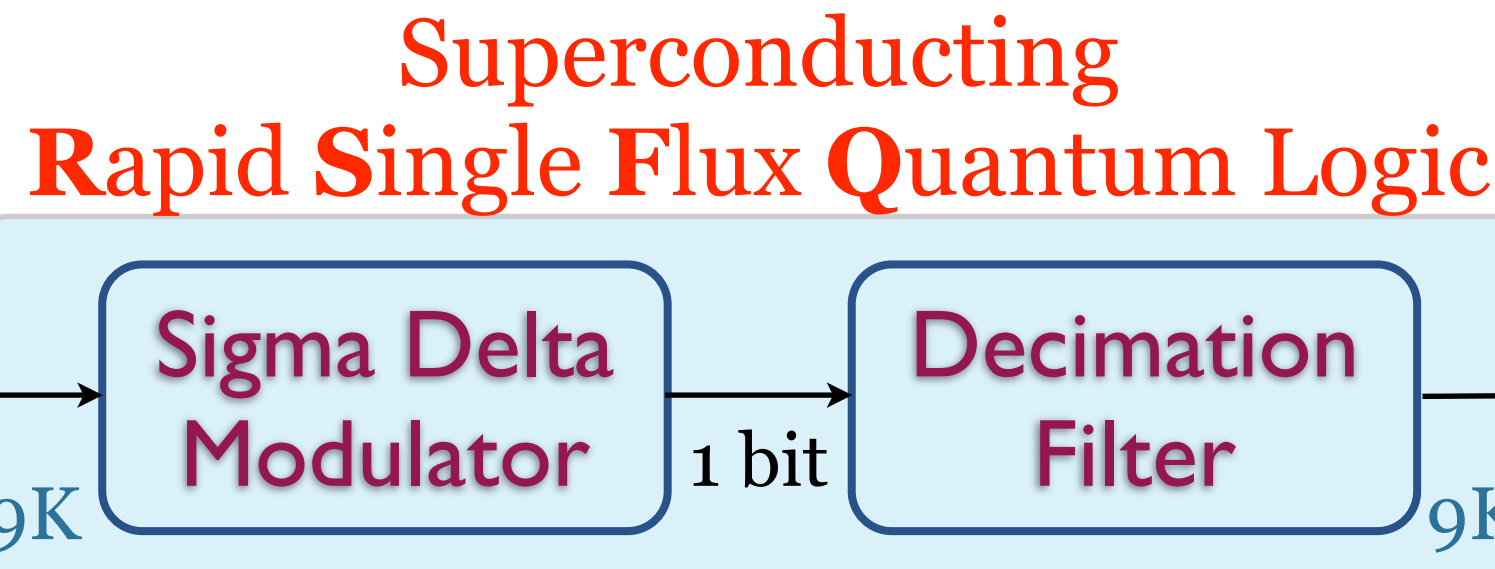
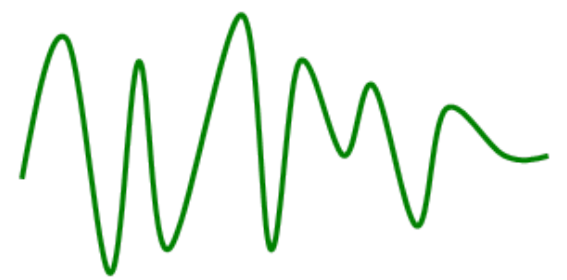
# Analog-to-Digital Converter based on $\Sigma\Delta$ Architecture



# Objectif

Analog-to-Digital Converter based on  $\Sigma\Delta$  Architecture

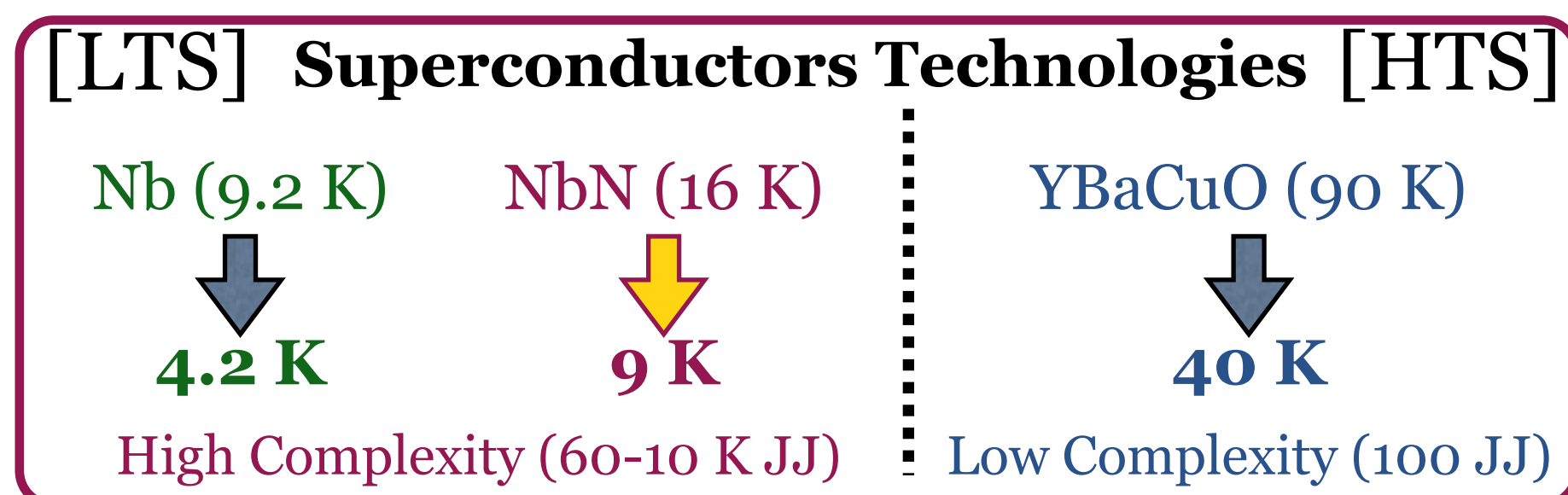
$F_c = 30 \text{ GHz}$   
 $B = 500 \text{ MHz}$



New technology:

$F_s = 200 \text{ GHz}$

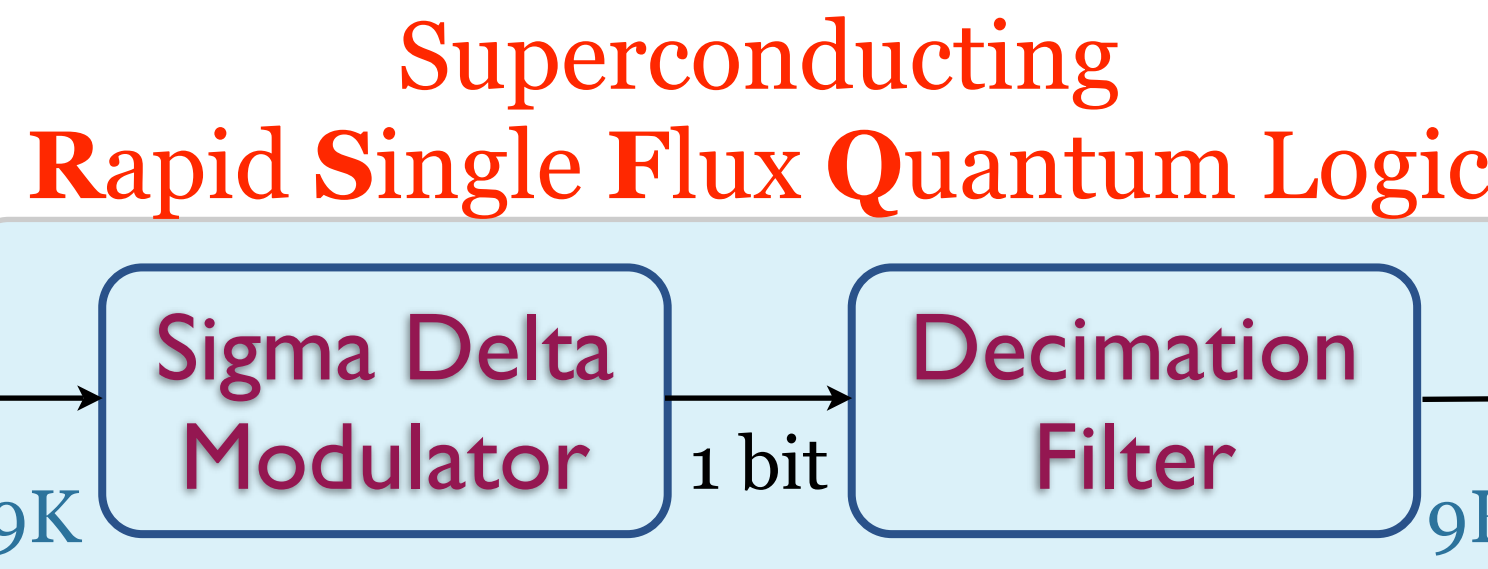
✓ **Self-shunted Josephson junctions NbN/TaxN/NbN**



# Objectif

Analog-to-Digital Converter based on  $\Sigma\Delta$  Architecture

$F_c = 30 \text{ GHz}$   
 $B = 500 \text{ MHz}$

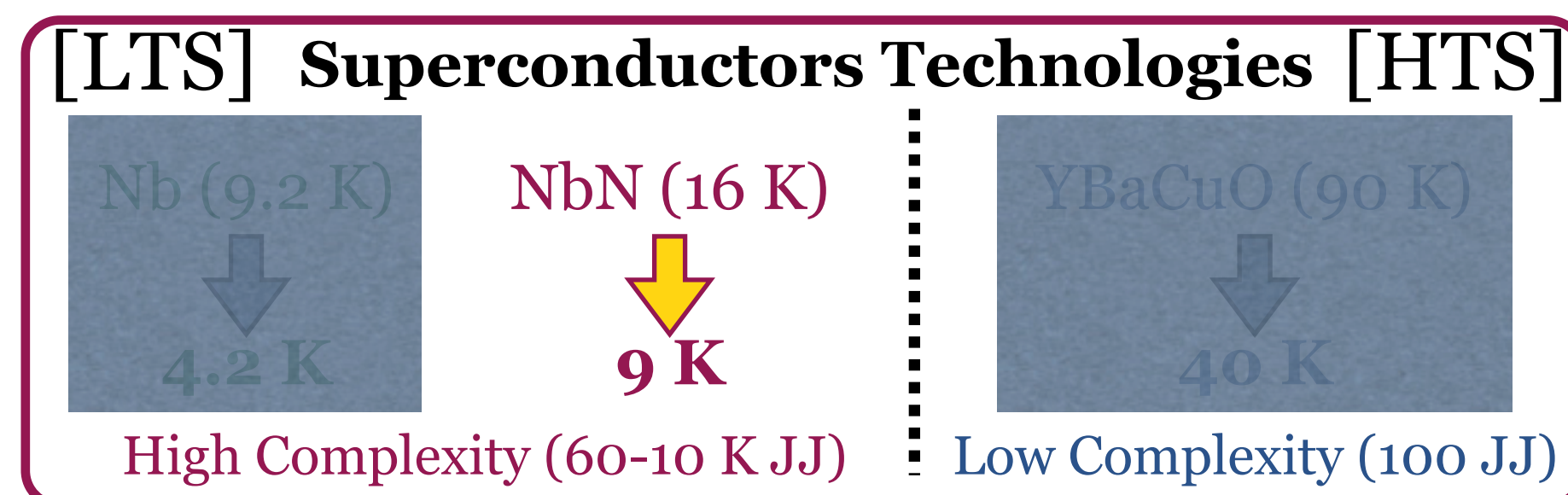


New technology:

$F_s = 200 \text{ GHz}$

✓ **Self-shunted Josephson junctions NbN/TaxN/NbN**

✓ Niobium Nitride (NbN) superconductor (16 K)



→ Relaxed cryogenic environment

[thèse N. Hadacek 2002 UJF]

# Plan de l'exposé

- Introduction
- Rappels sur le CAN et l'Electronique supraconductrice
- Etude de la structure du CAN en NbN
- Implementation et comparaison de la technologie NbN et Nb
- Conclusions et perspectives

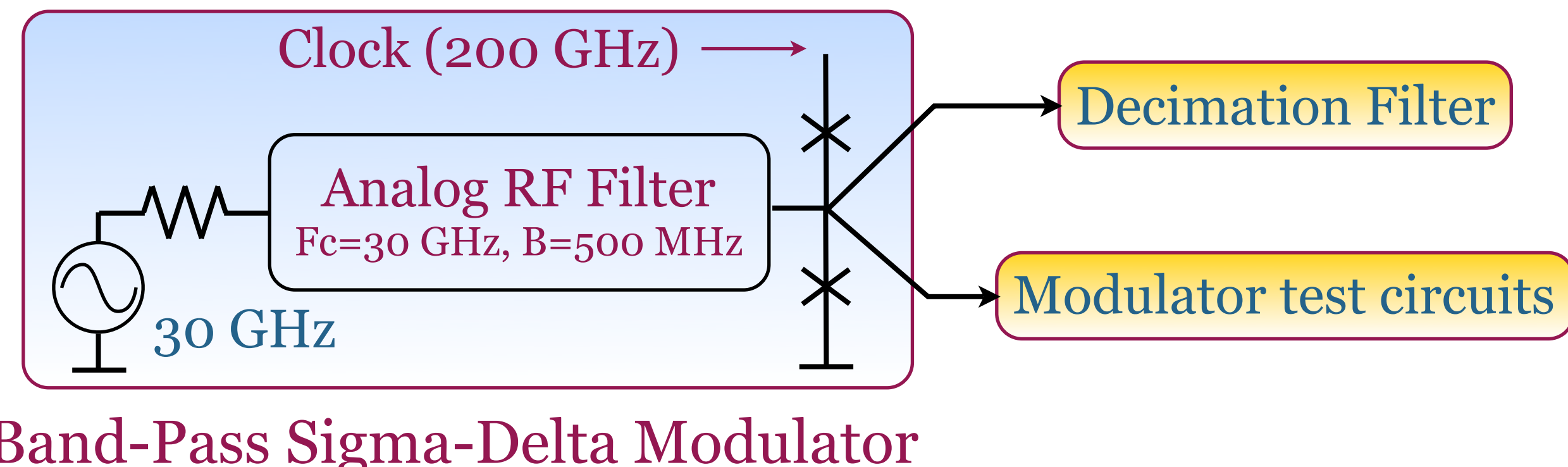
# Conception du CAN

[thèse J. Bulzachelli 2002 MIT]

Modulator based on the  
Bulzachelli schema  
( $F_s=20$  GHz,  $F_c=2$  GHz,  
 $B=40$  MHz)



We studied the ADC  
with the frequencies  
1 order higher



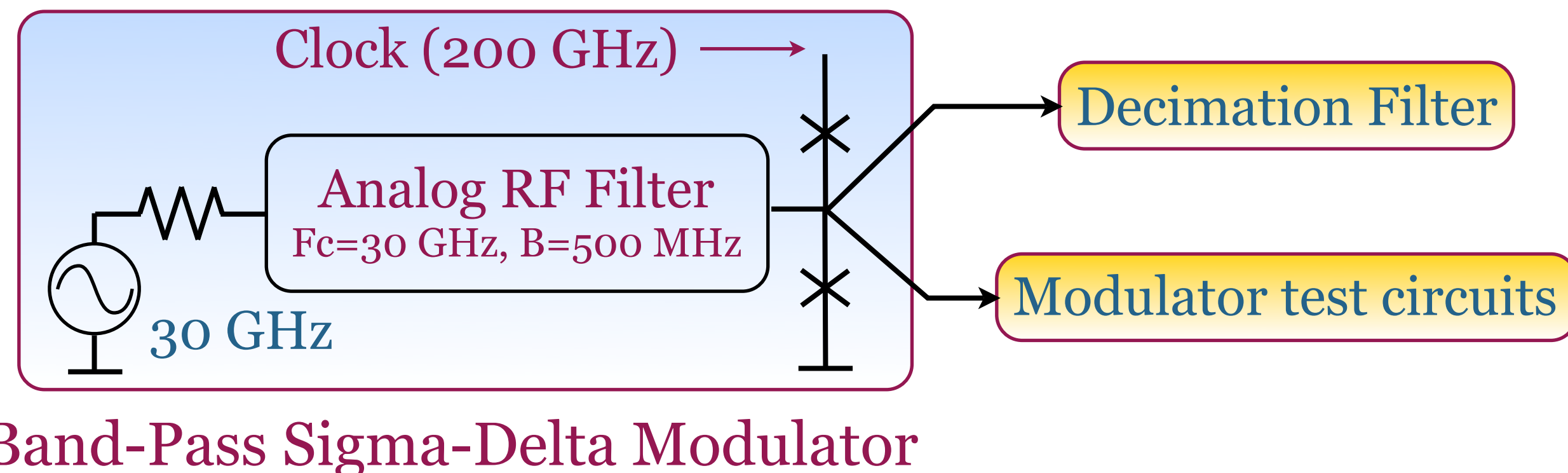
# Conception du CAN

[thèse J. Bulzachelli 2002 MIT]

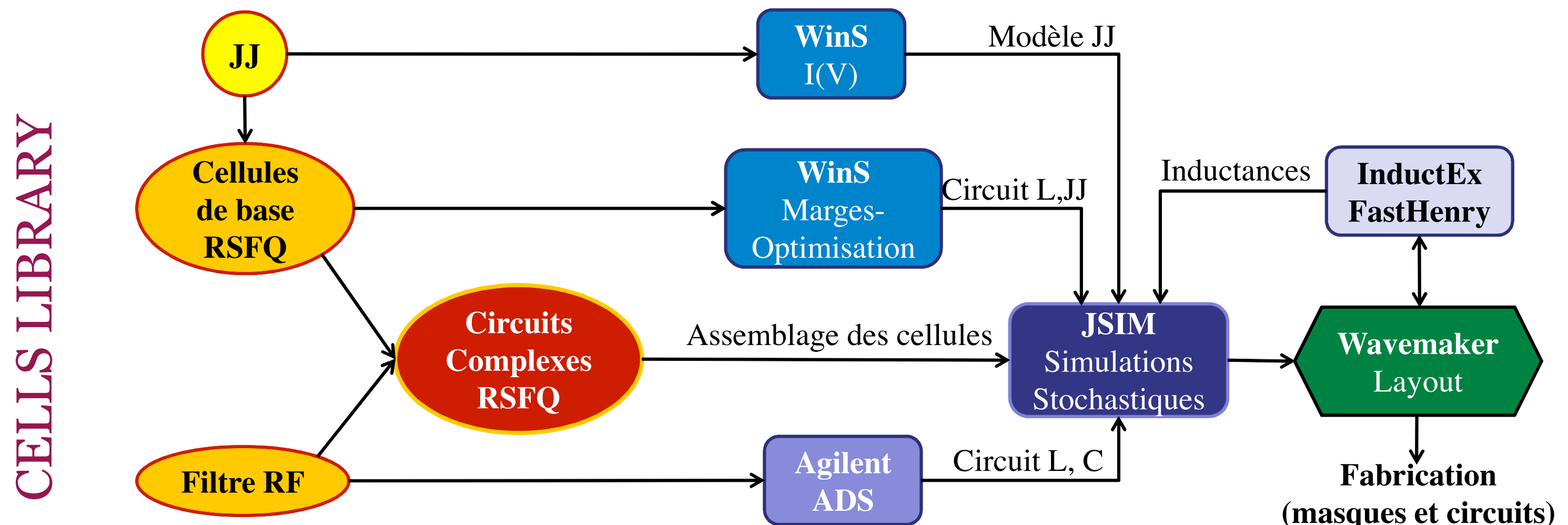
Modulator based on the  
Bulzachelli schema  
( $F_s=20$  GHz,  $F_c=2$  GHz,  
 $B=40$  MHz)



We studied the ADC  
with the frequencies  
1 order higher



✓ Simulation environnement



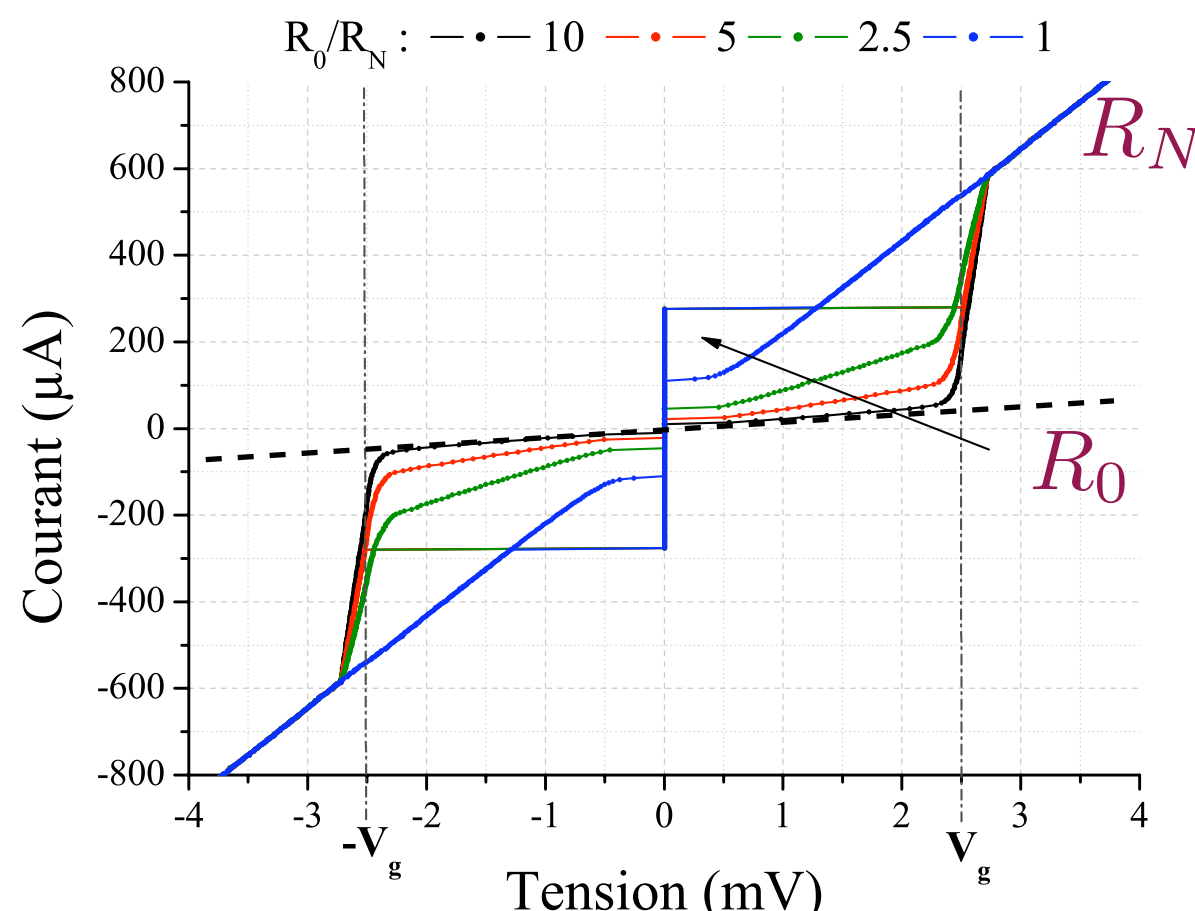
RSFQ cells schema and layout design are taken from the literature and Fluxonics respectively

# Le modèle NbN/TaxN/NbN

## Simulation

- ✓ JSIM (complexes circuits, thermal noise)
- ✓ WinS (I-V curves, gate margins)

RCSJ Model  
 $\xrightarrow{\hspace{1cm}}$   
 $R_0 \rightarrow R_N$

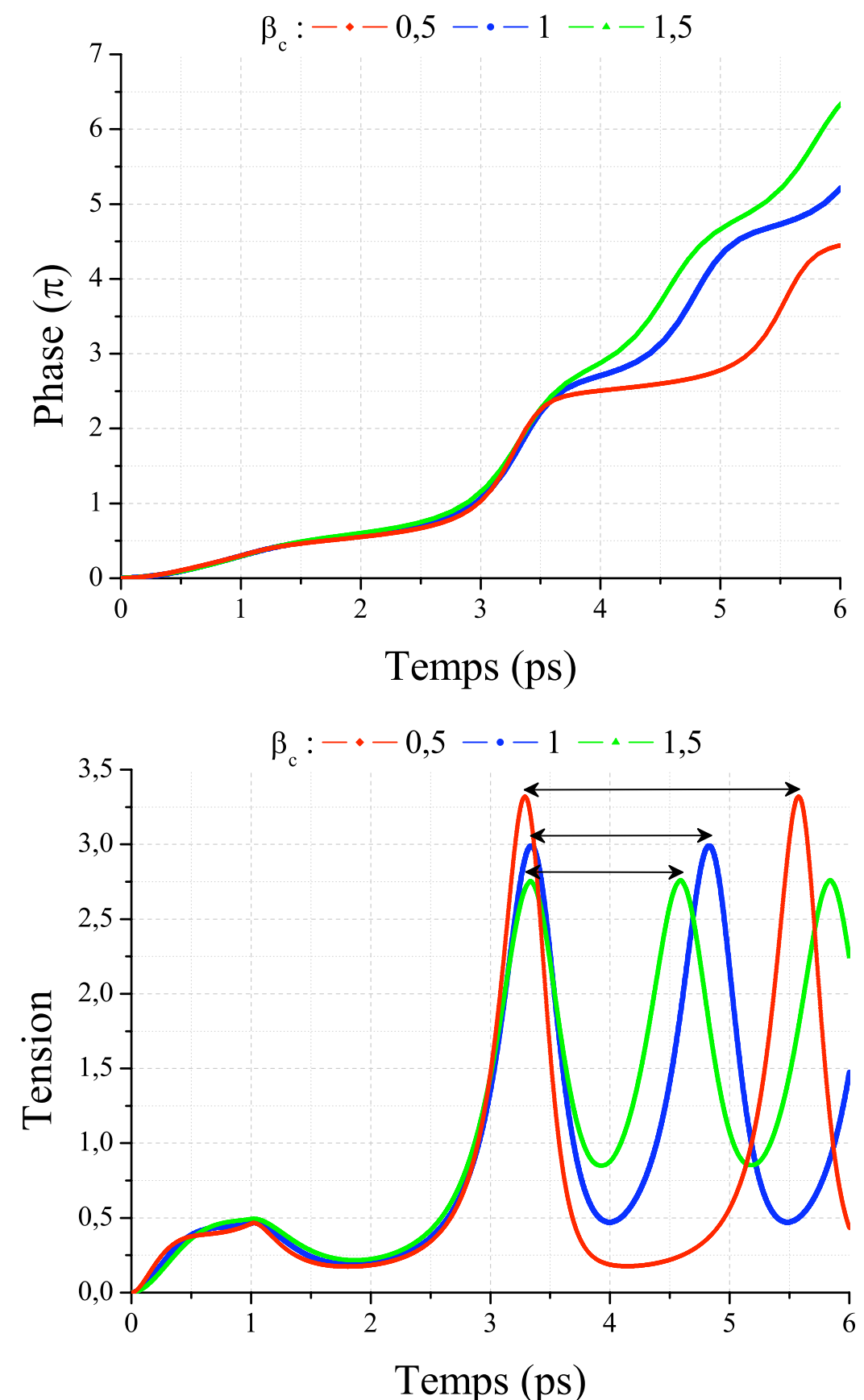
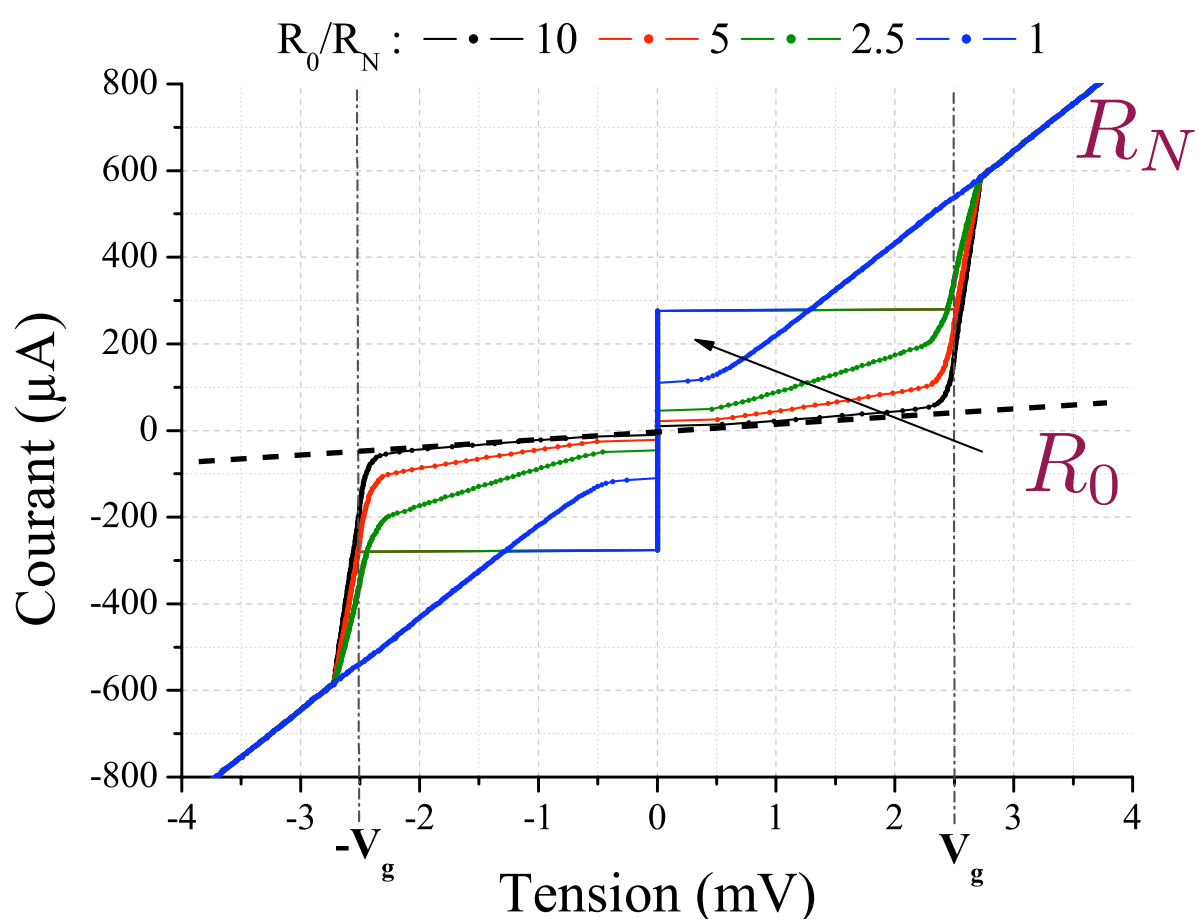


# Le modèle NbN/TaxN/NbN

## Simulation

- ✓ JSIM (complexes circuits, thermal noise)
- ✓ WinS (I-V curves, gate margins)

RCSJ Model  
 $\xrightarrow{\hspace{1cm}}$   
 $R_0 \rightarrow R_N$



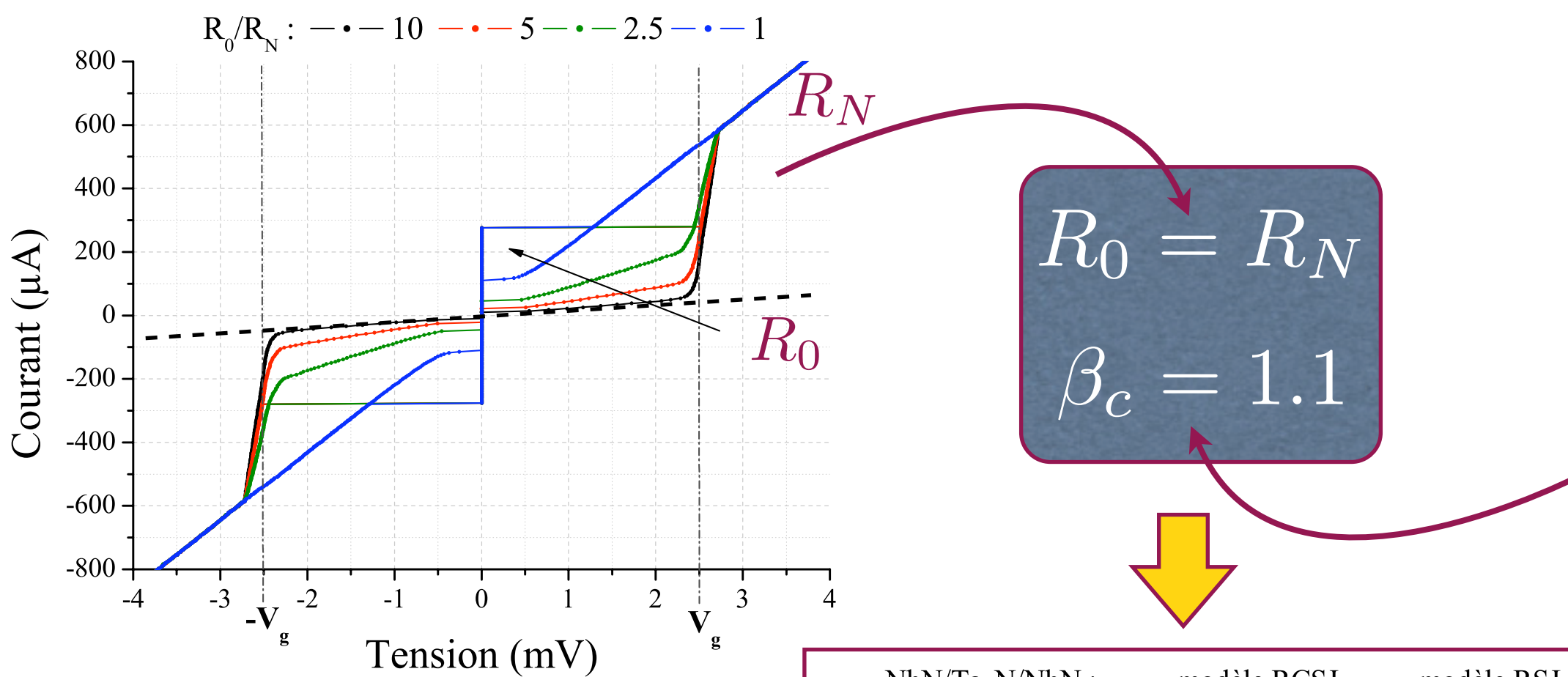
A JJ is a shunt for the adjacent JJs

# Le modèle NbN/TaxN/NbN

## Simulation

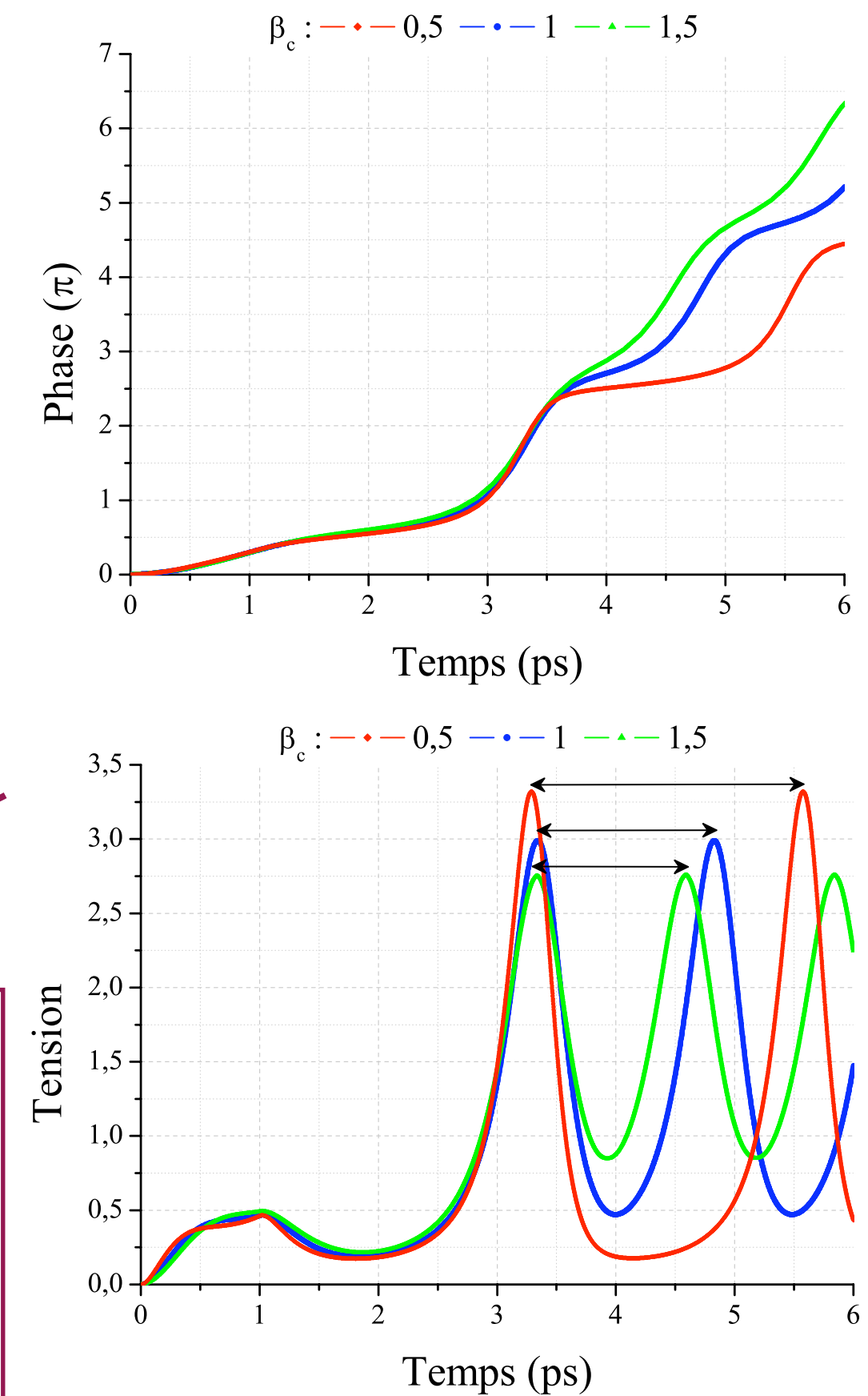
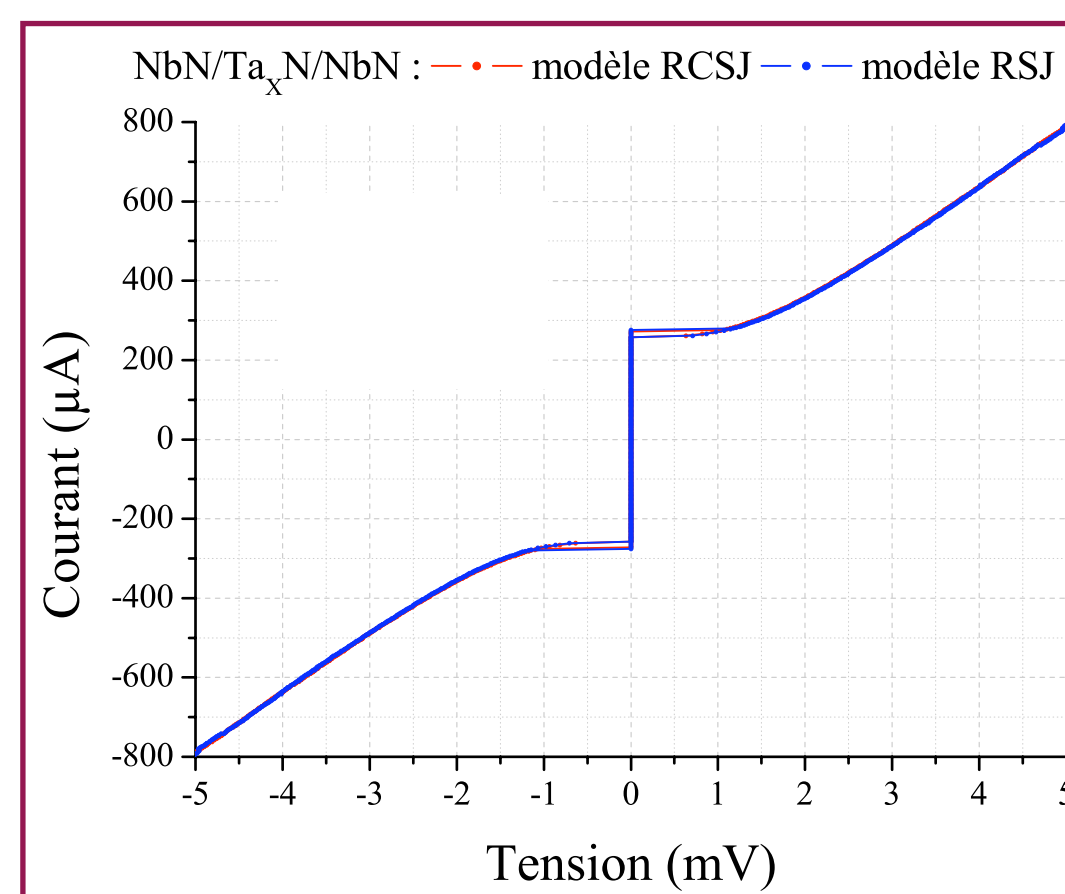
- ✓ JSIM (complexes circuits, thermal noise)
- ✓ WinS (I-V curves, gate margins)

RCSJ Model  
 $R_0 \rightarrow R_N$



$$* C = \frac{\beta_c \Phi_0}{2\pi I_C R_N^2}$$

\* NbN quasi-particles model



A JJ is a shunt for the adjacent JJs

# Définition des jonctions

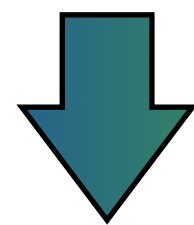
$$J_C(9K) = 5\text{kA/cm}^2$$

$$R_N I_C(9K) = 1.75\text{mV}$$

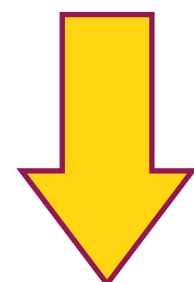
Jonction	$2r (\mu\text{m})$	Surface ( $\mu\text{m}^2$ )	$I_c (\mu\text{A})$	$R_N (\Omega)$	$C_s (\text{fF})$
JJ1	7,2	40,7	2035	0,86	247
JJ2	4,7	17,3	867	2,02	105

$$I_n(9K) = \frac{2\pi k_B T}{\Phi_0} \simeq 380\text{nA}$$

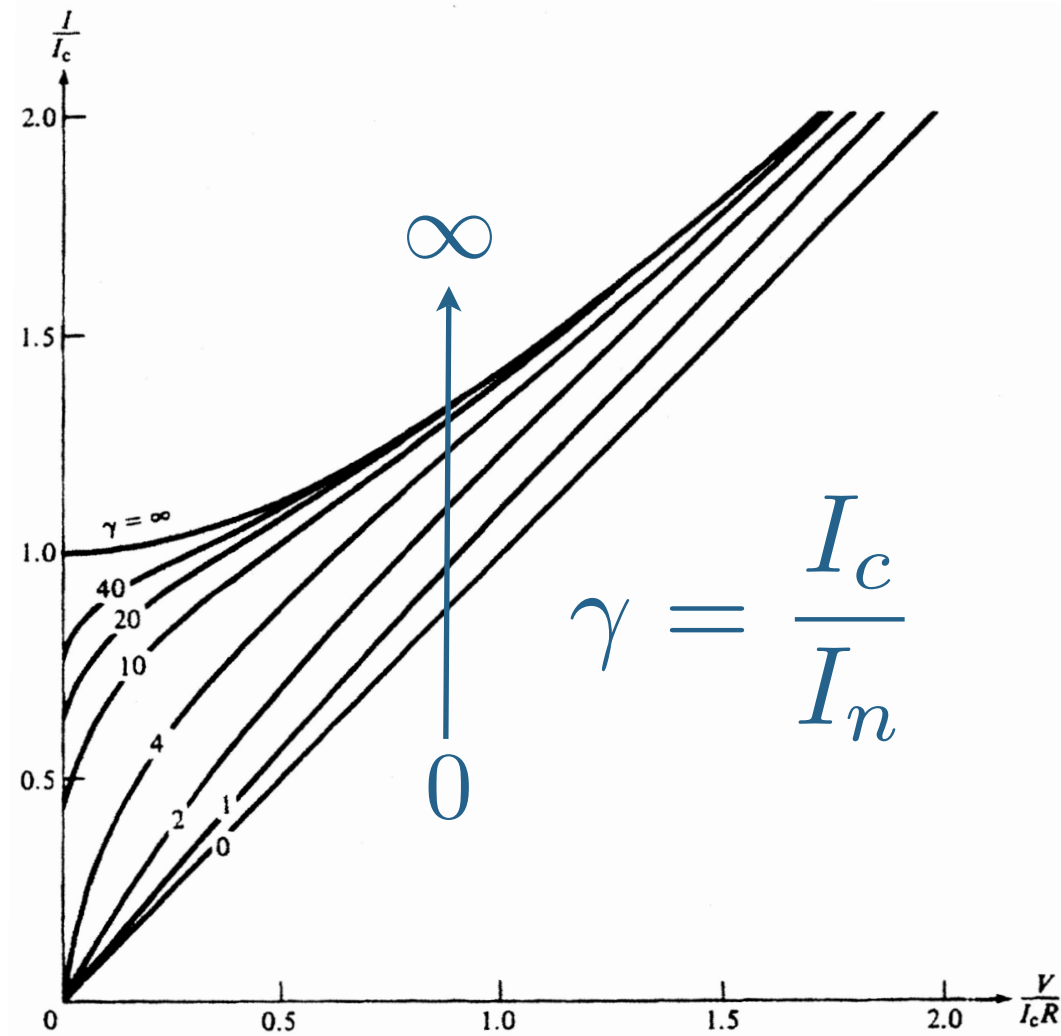
Thermal Fluctuations



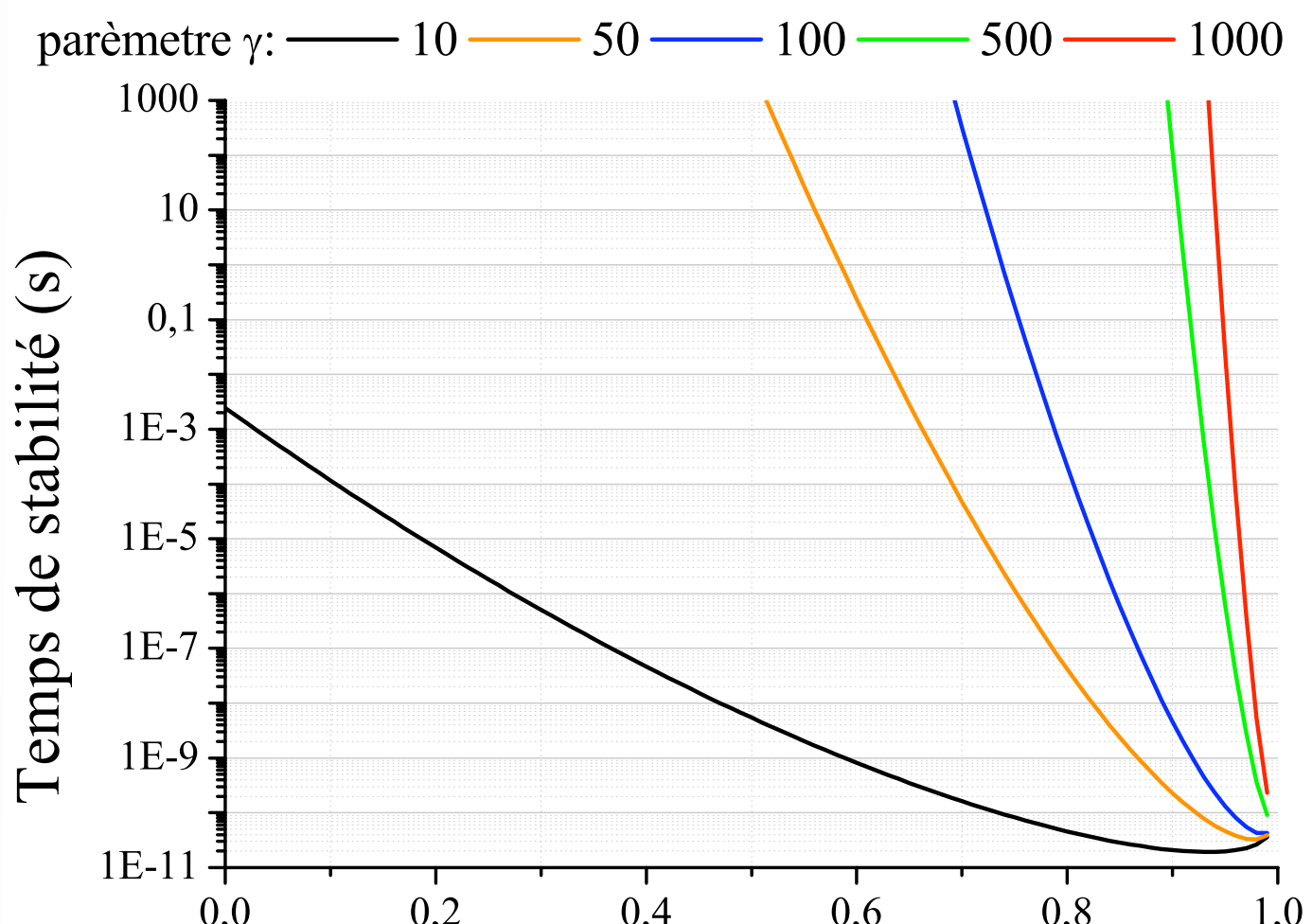
Switching Errors



$$\gamma \geq 500 \rightarrow I_C \geq 190\mu\text{A}$$



6 Josephson junctions library



Jonction	JJ1	JJ2	JJ3	JJ4	JJ5	JJ6
$\gamma$	5384	2294	1661	1064	598	302

Only in output  
RSFQ circuits

Only thermal noise from bias resistors was considered during JSIM simulations

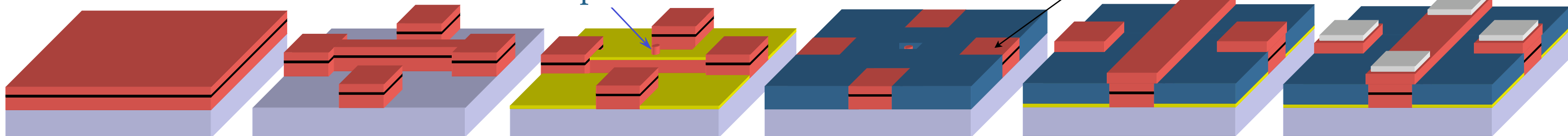
# Réalisation des circuits NbN

## Selective Niobium Etching Process (5 mask levels)

Josephson Junction

Parasitic  
Josephson Junction

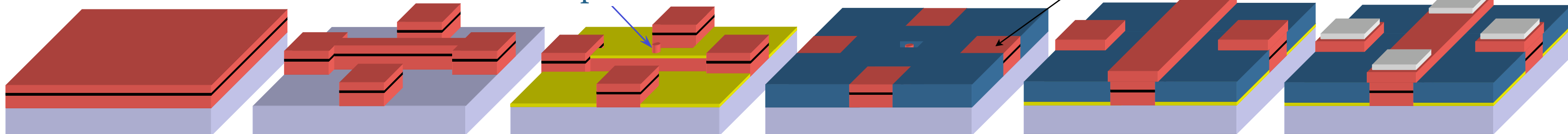
[thèse R. Setzu 2007 UJF]



# Réalisation des circuits NbN

## Selective Niobium Etching Process (5 mask levels)

Josephson Junction

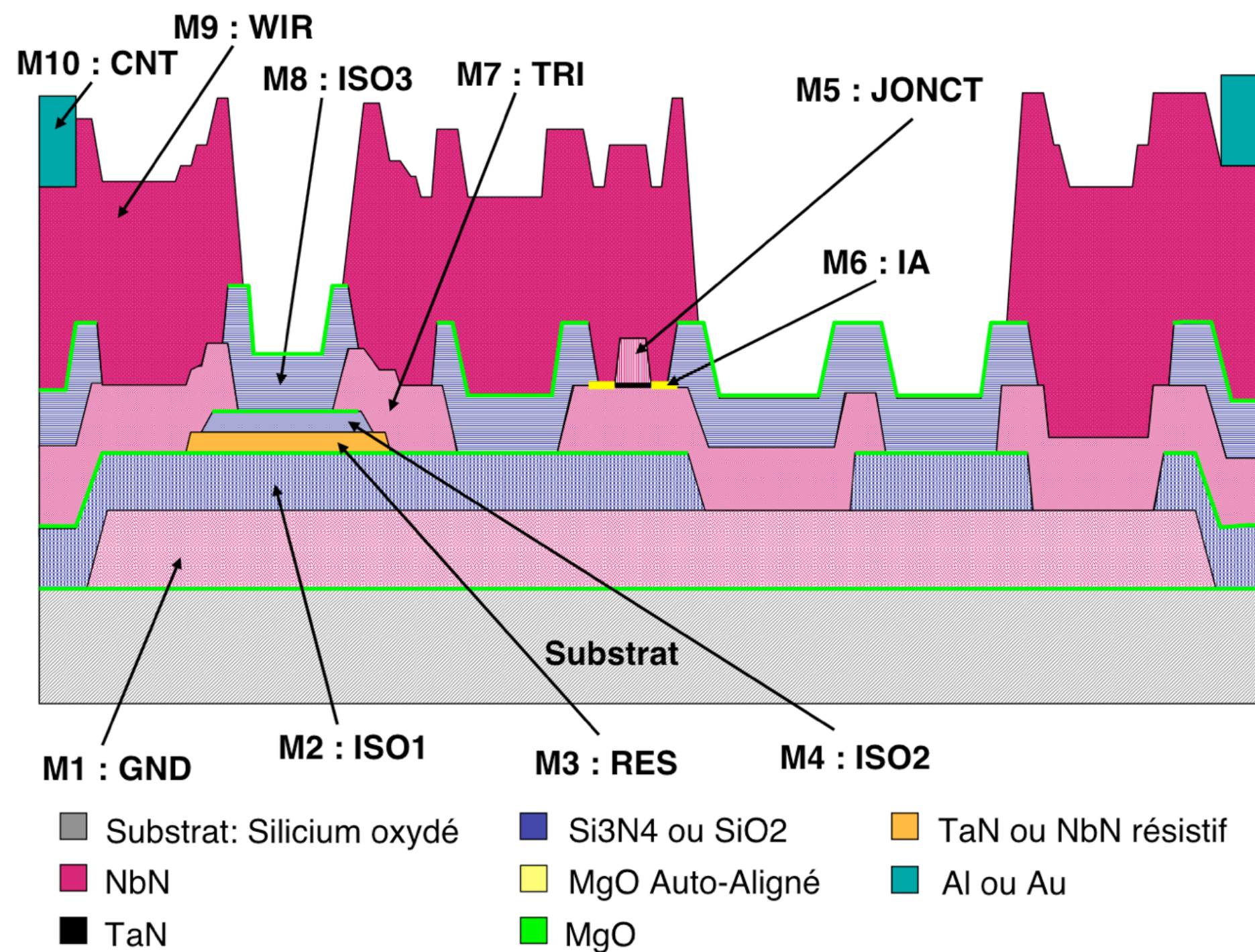


[thèse R. Setzu 2007 UJF]

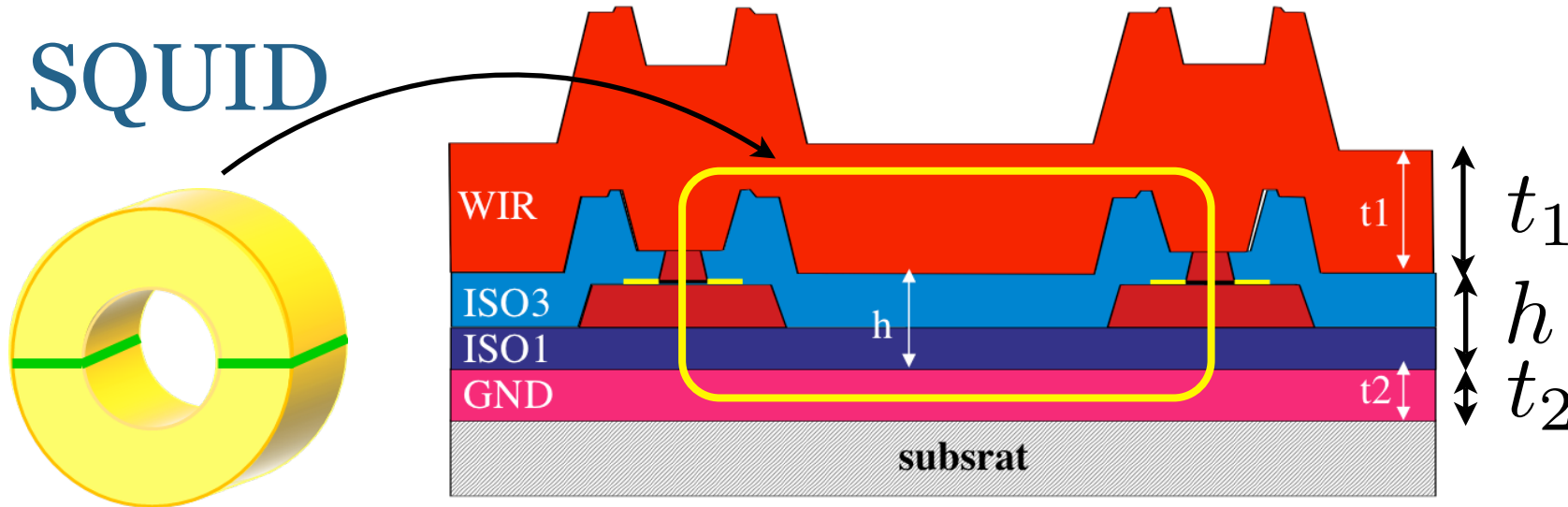
Parasitic Josephson Junction

## From the SNEP to the 10 mask levels process for RSFQ logic applications

- ✓ 1 NbN Common Ground Plane
- ✓ 2 NbN Interconnections Layers
- ✓ 1 Resistor Layer
- ✓ 3 SiO<sub>2</sub> or Si<sub>3</sub>N<sub>4</sub> Layers
- ✓ 1 Contacts Layer



# Evaluation de l'inductance



$$L_{\square} = \frac{\mu_0}{K} [h + \lambda_L \coth(\frac{t_1}{\lambda_L}) + \lambda_L \coth(\frac{t_2}{\lambda_L})]$$

Problem:

$$I_{C[min]}(\text{NbN}) \sim 2 \times I_{C[min]}(\text{Nb})$$



$$LI_C \leq 0.5\Phi_0$$

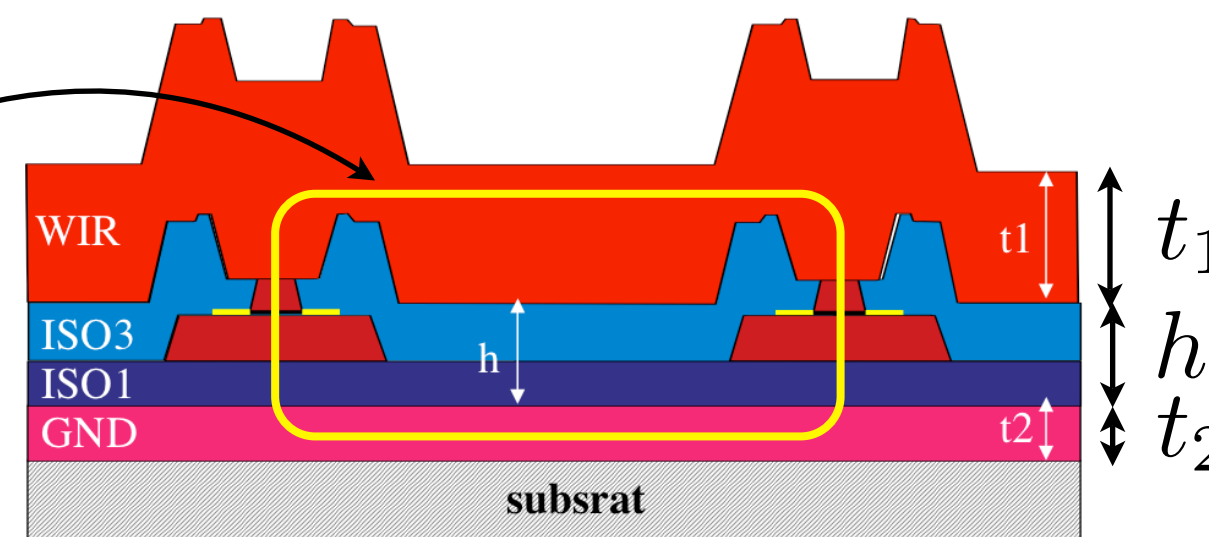
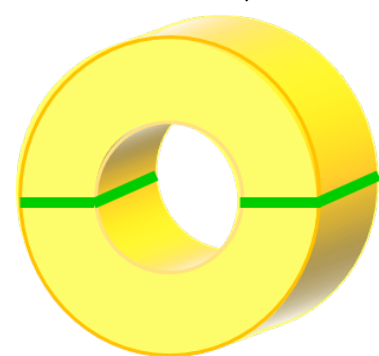
$$(\text{Ex. } I_C = 400\mu\text{A} \rightarrow L \leq 2.5\text{pH})$$



$$L_{\square} \leq 1.2\text{pH}$$

# Evaluation de l'inductance

SQUID



$\blacktriangle$  C1 ( $t_2=300$  nm,  $h=500$  nm)    $\blacksquare$  C3 ( $t_2=600$  nm,  $h=300$  nm)  
 $\blacktriangledown$  C2 ( $t_2=400$  nm,  $h=500$  nm)    $\bullet$  C4 ( $t_2=600$  nm,  $h=200$  nm)

$$L_{\square} = \frac{\mu_0}{K} [h + \lambda_L \coth(\frac{t_1}{\lambda_L}) + \lambda_L \coth(\frac{t_2}{\lambda_L})]$$

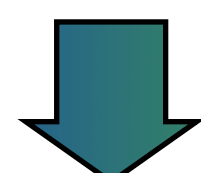
Problem:

$$I_C[min](NbN) \sim 2 \times I_C[min](Nb)$$

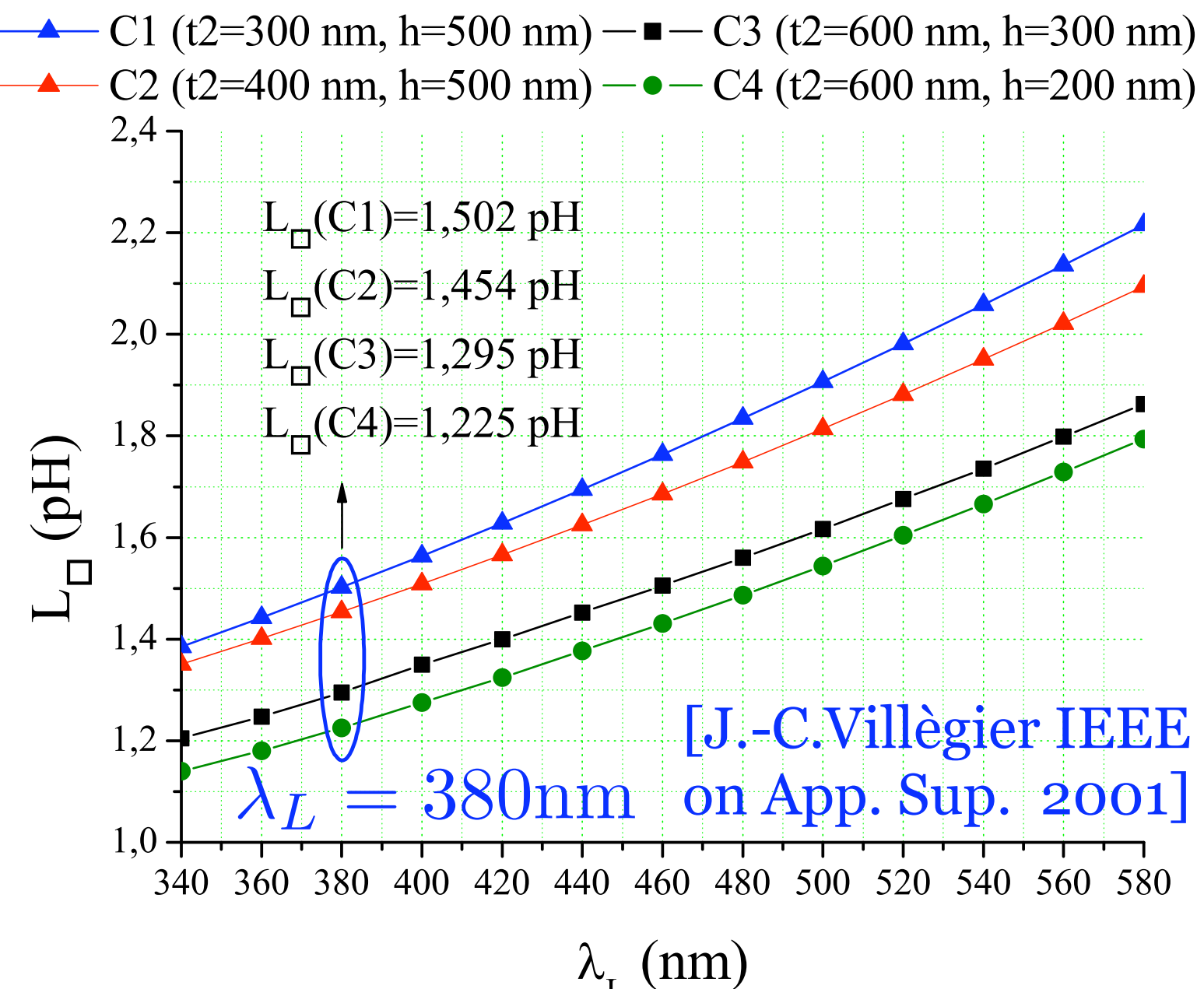


$$LI_C \leq 0.5\Phi_0$$

$$(Ex. I_C = 400\mu A \rightarrow L \leq 2.5\text{pH})$$



$$L_{\square} \leq 1.2\text{pH}$$



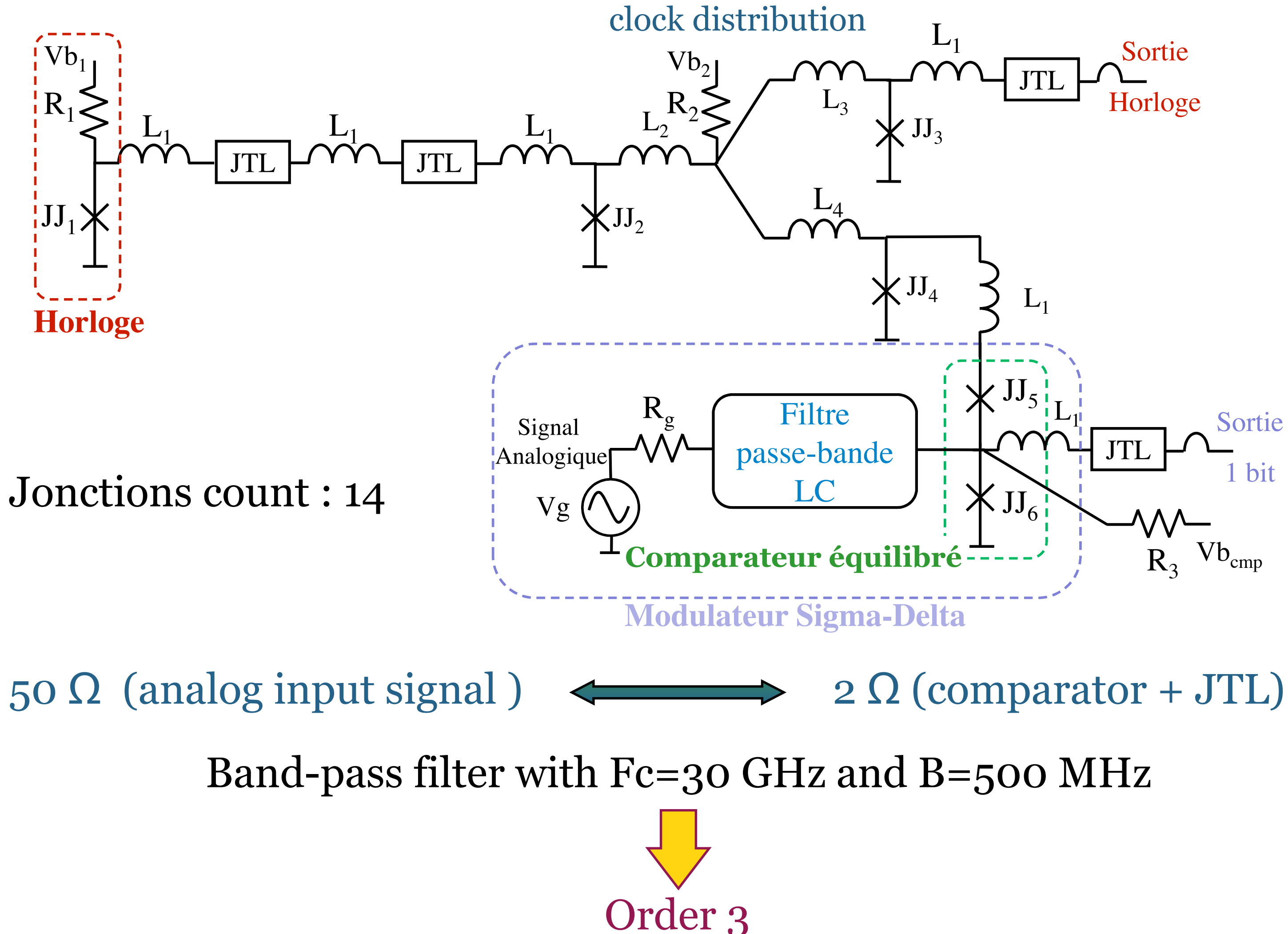
- For small  $L_{\square}$ ,  $t_1$  et  $t_2$  must be higher than  $\lambda_L$
- For high  $t_2$  the GND roughness increases

$$t_1 = 900\text{nm}; t_2 = 400\text{nm}$$

$$h = 300 + 200 = 500\text{nm}$$

$$L_{\square} = 1.45\text{pH}$$

# Etude du modulateur $\Sigma\Delta$



# Etude de l'horloge

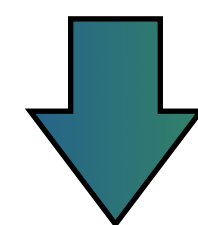
Possible clock solutions:

- JTL ring
- Long JJ
- Optical clock
- **Overbiased single JJ**



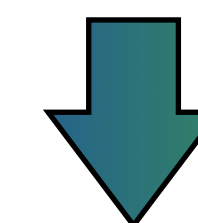
The sampling frequency  
is tuned to 205 GHz by  
adjusting  $Ib_1$

The spectral bandwidth increases  
with the temperature

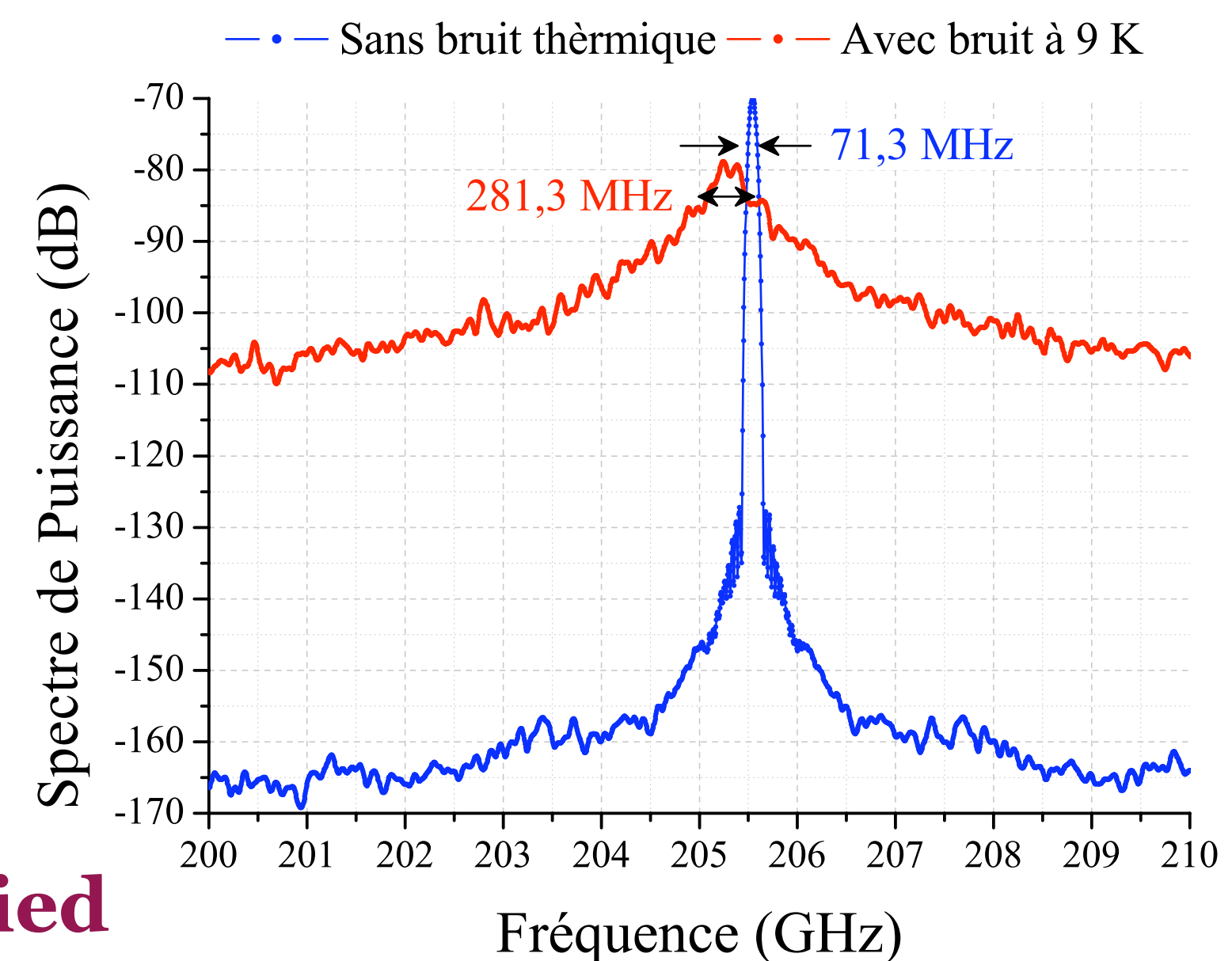
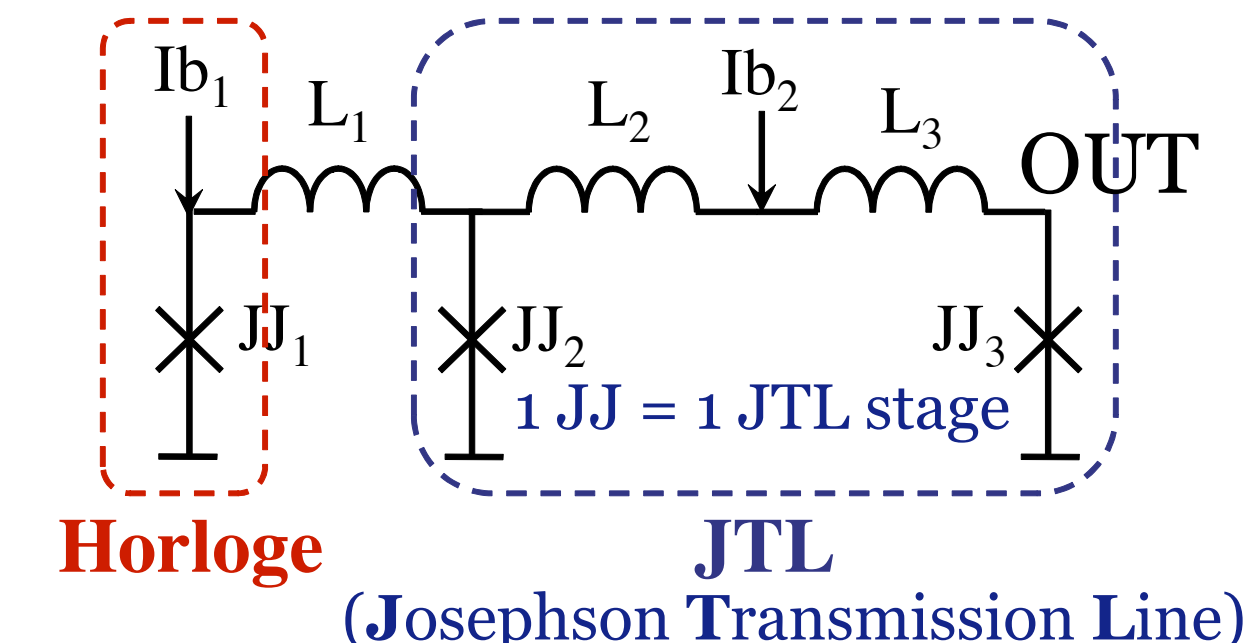


The quality factor decreases

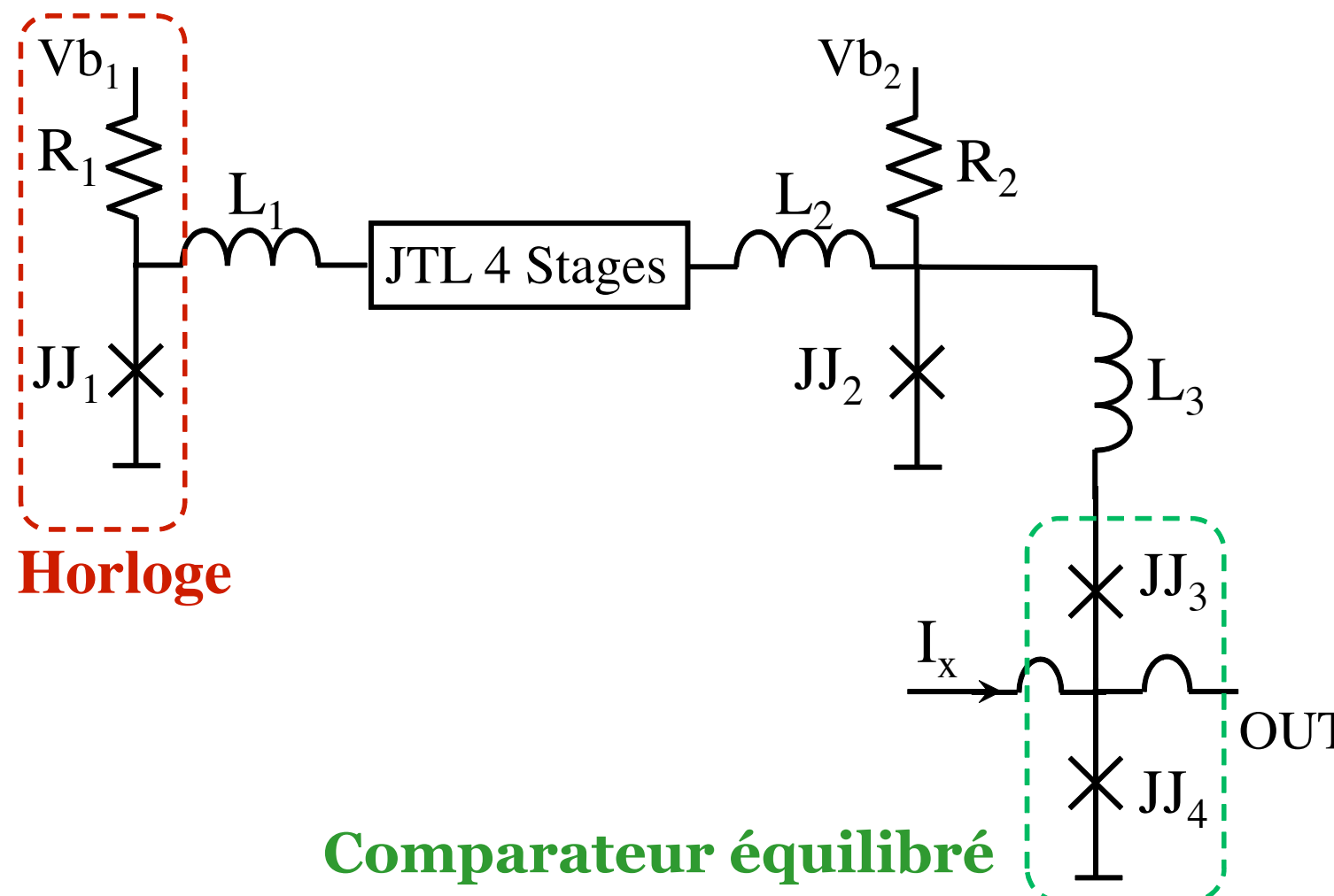
$$Q_{0K} = 2875 \rightarrow Q_{9K} = 730$$



**Jitter limitation to be studied**



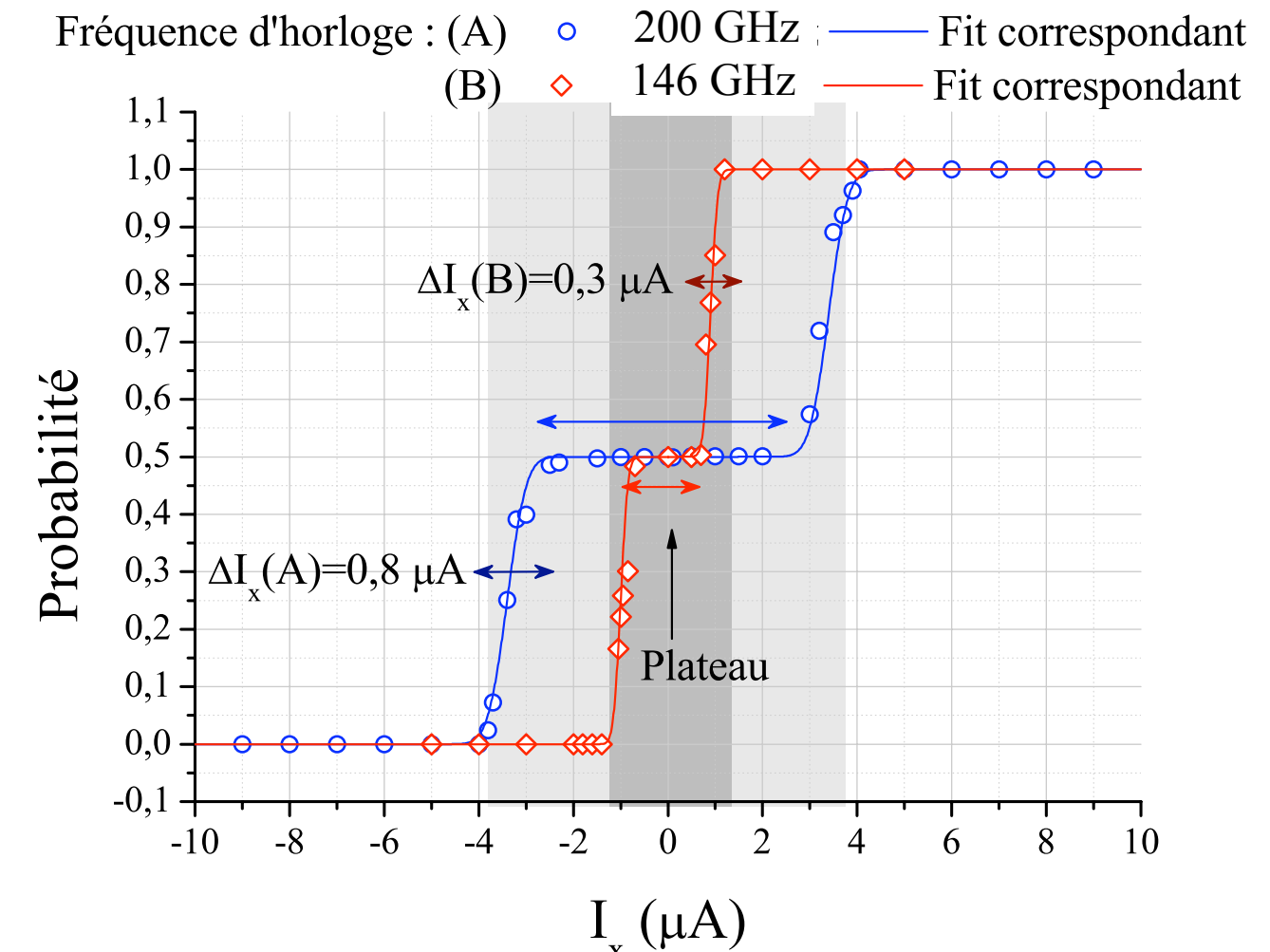
# Etude du comparateur



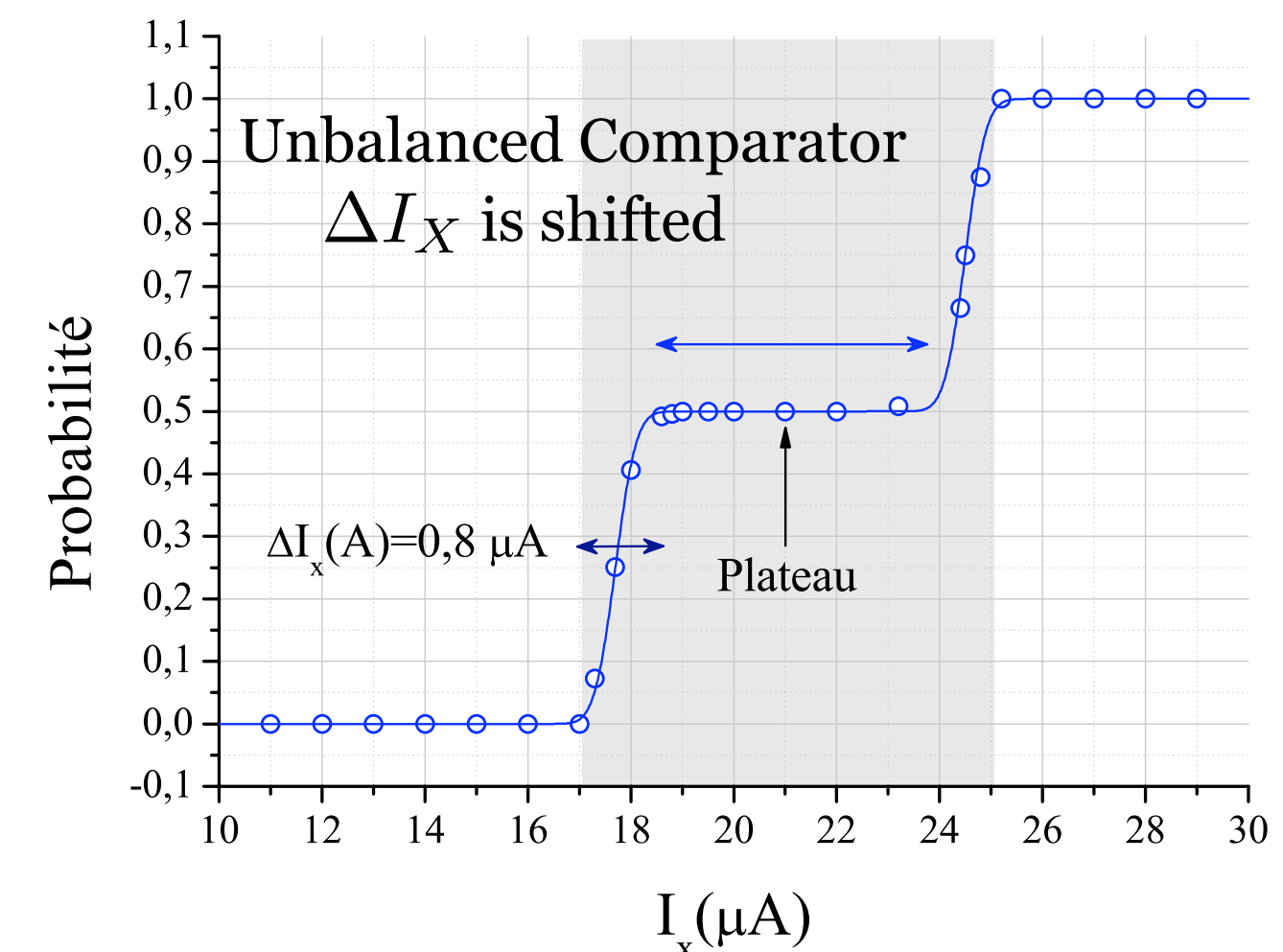
$$\text{Switching probability } P = \frac{\langle V(JJ4) \rangle}{\langle V(JJ1) \rangle}$$

✓ The **gray zone** and the **plateau** could be decreased of 25% from 200 GHz to 146 GHz of sampling frequency

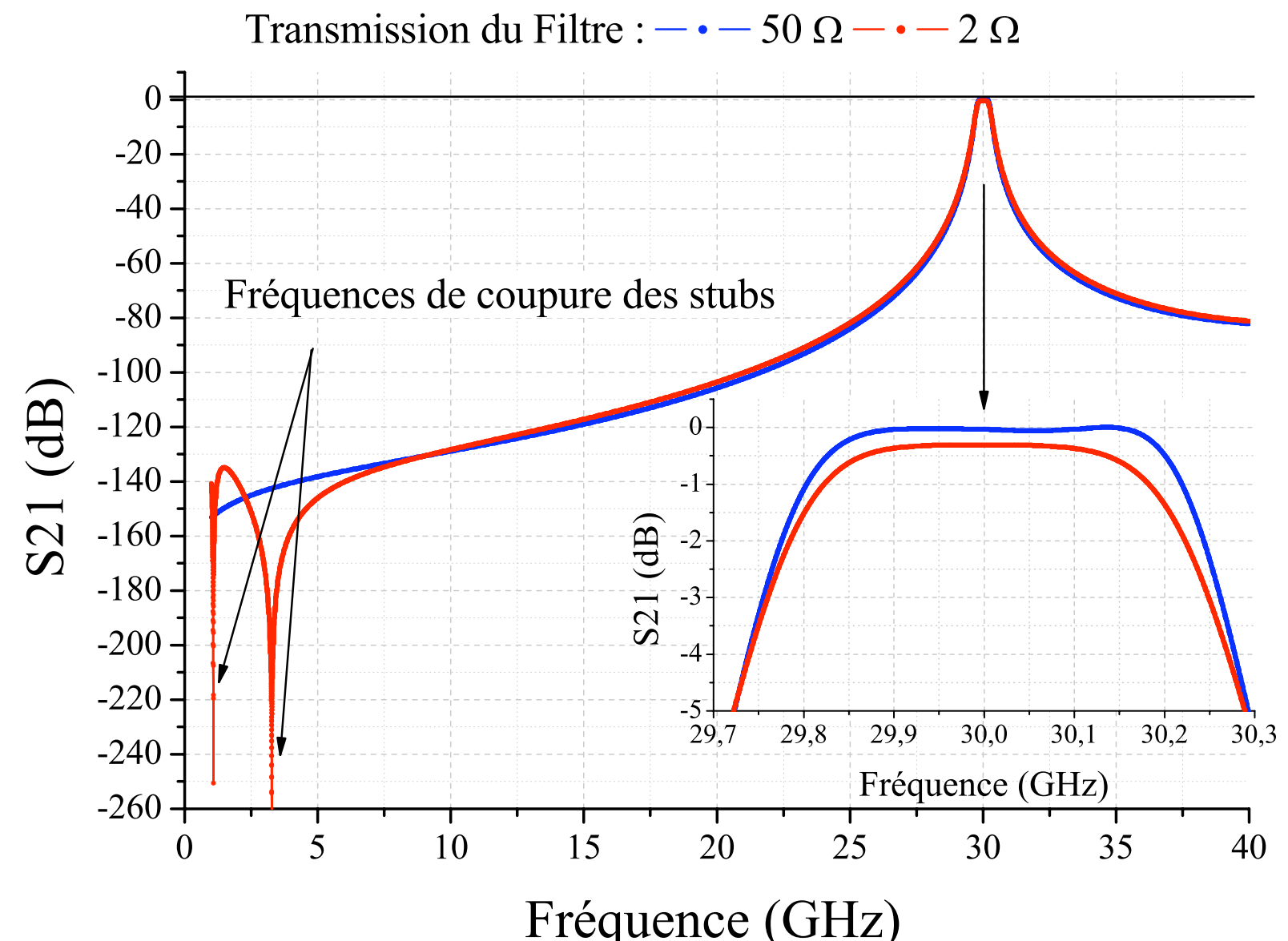
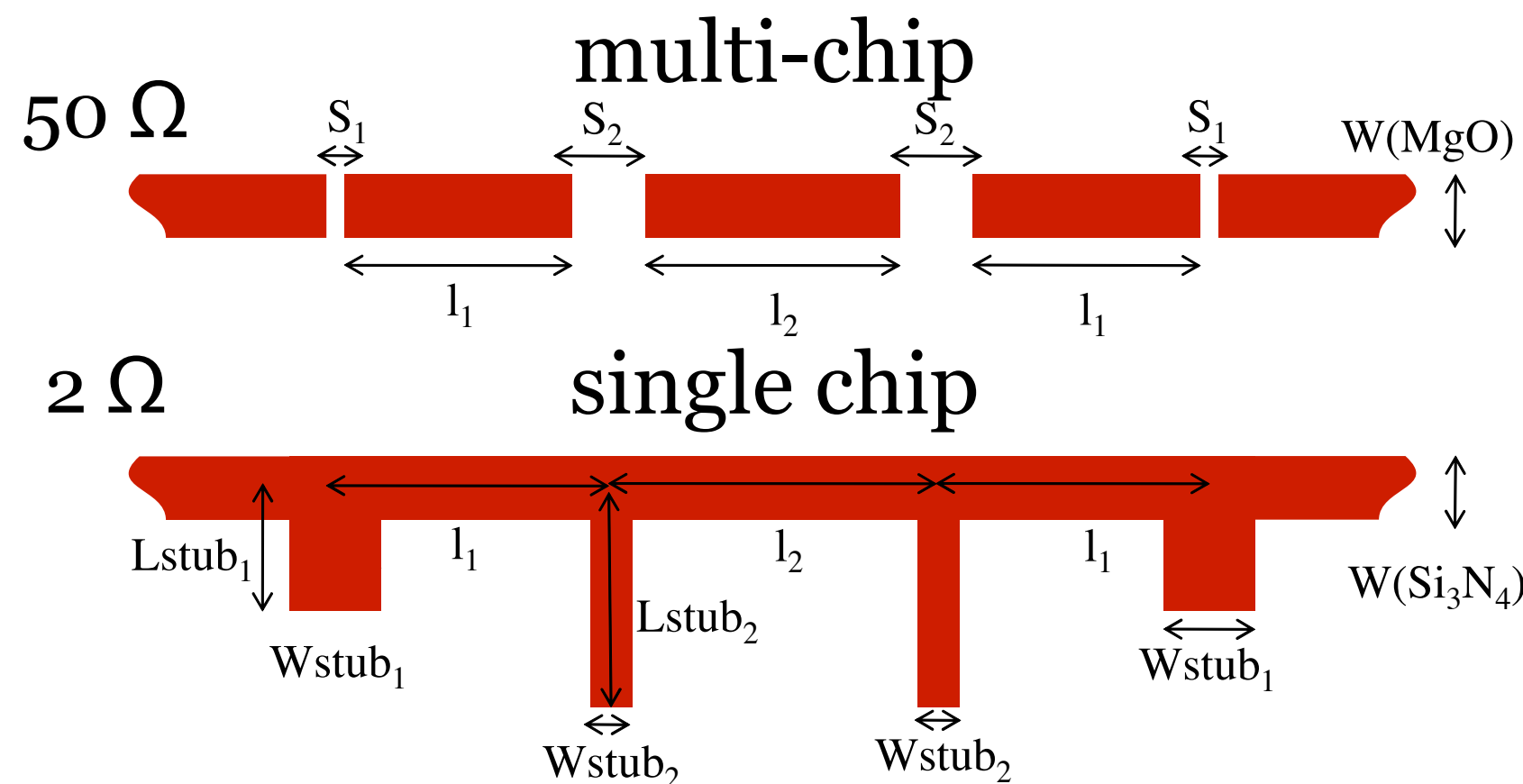
✓ The **gray zone** is about 5 times smaller than that obtained with the Nb technology



- Comparateur à 200 GHz avec  $I_c(JJ4)=105\% I_c(JJ3)$



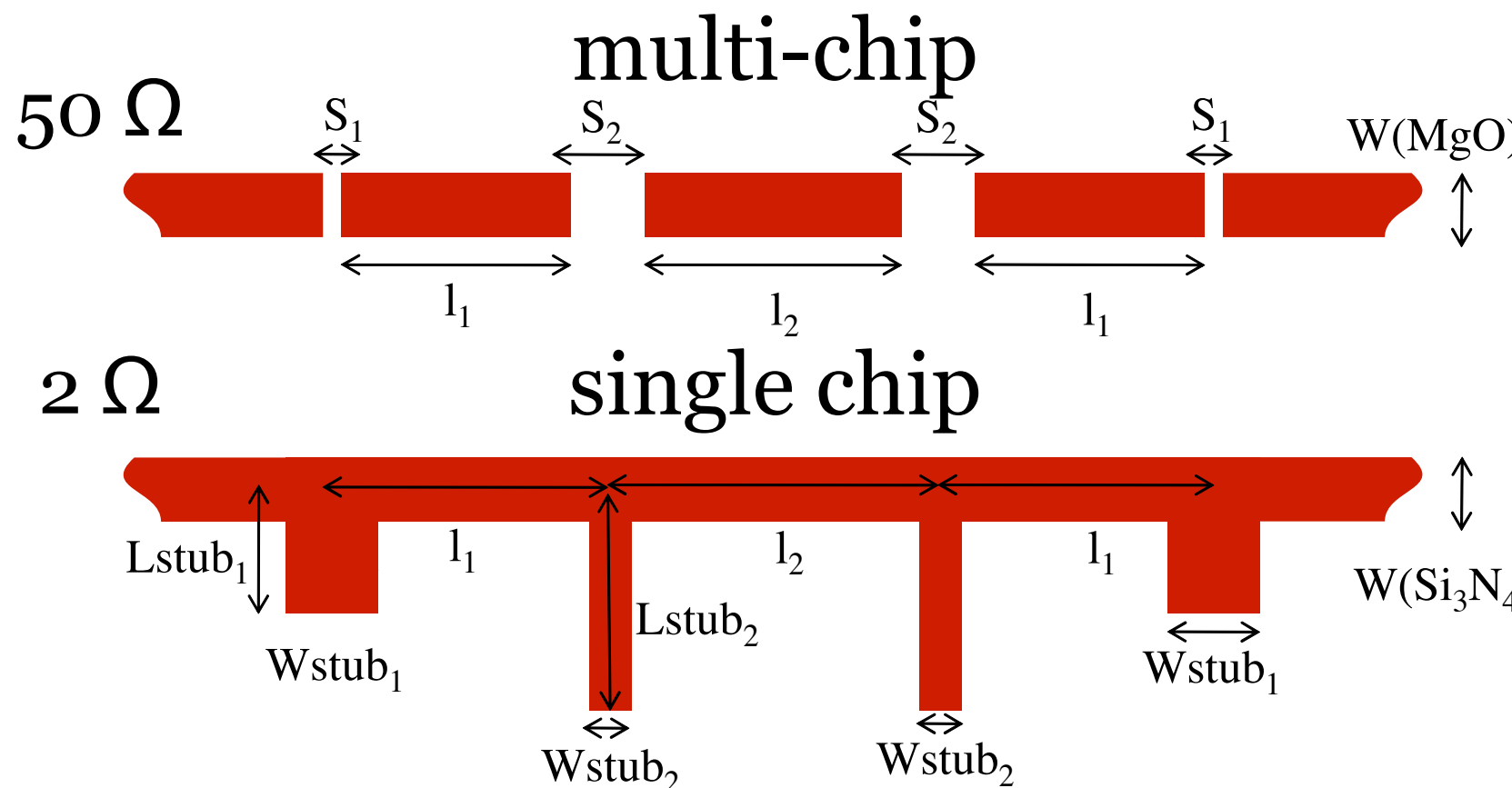
# Etude du filtre analogique



50  $\Omega$ :  $F_c=30.008$  GHz,  $B=507$  MHz and  $A=0.05$  dB

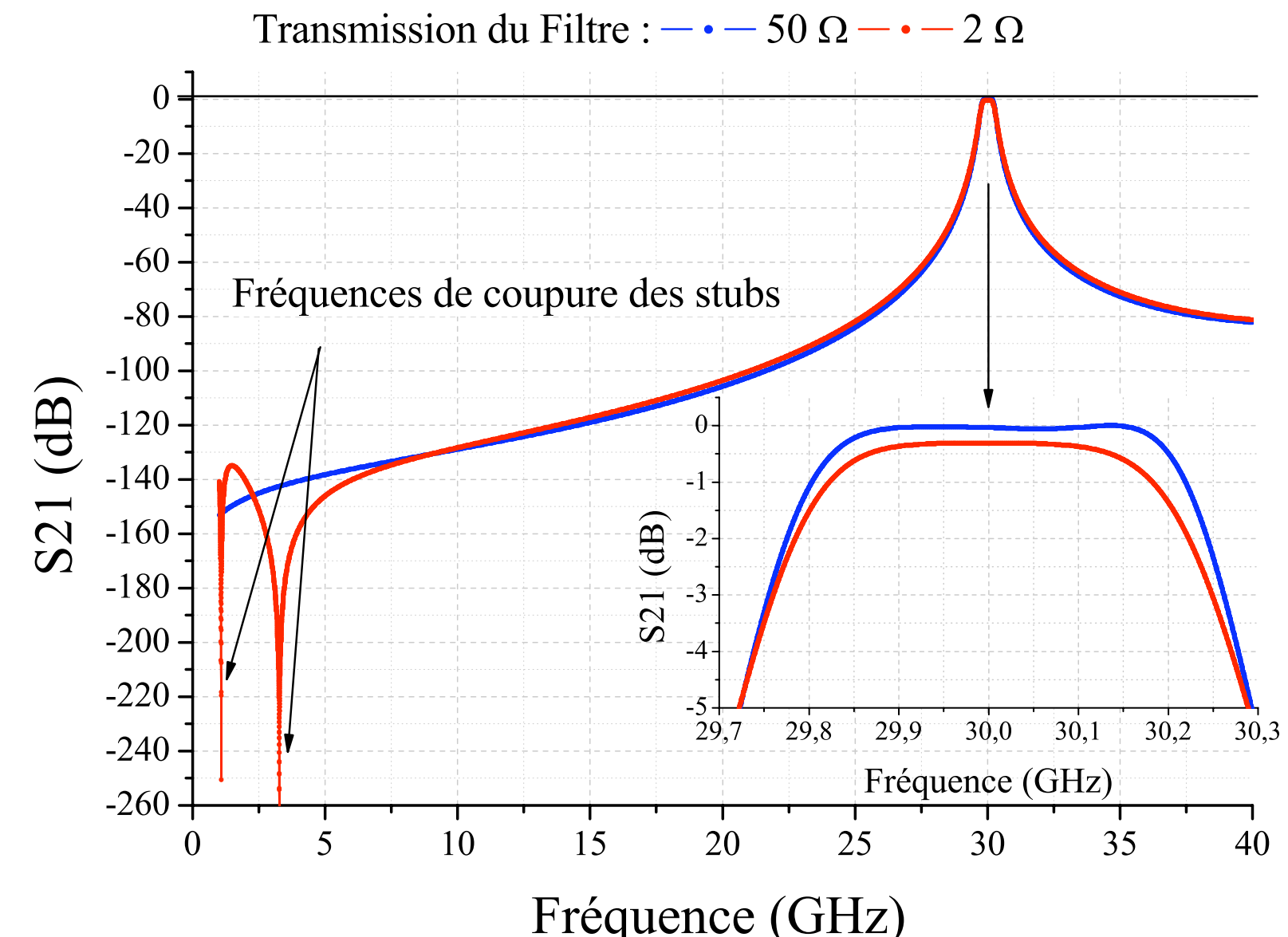
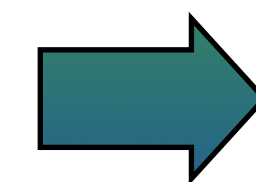
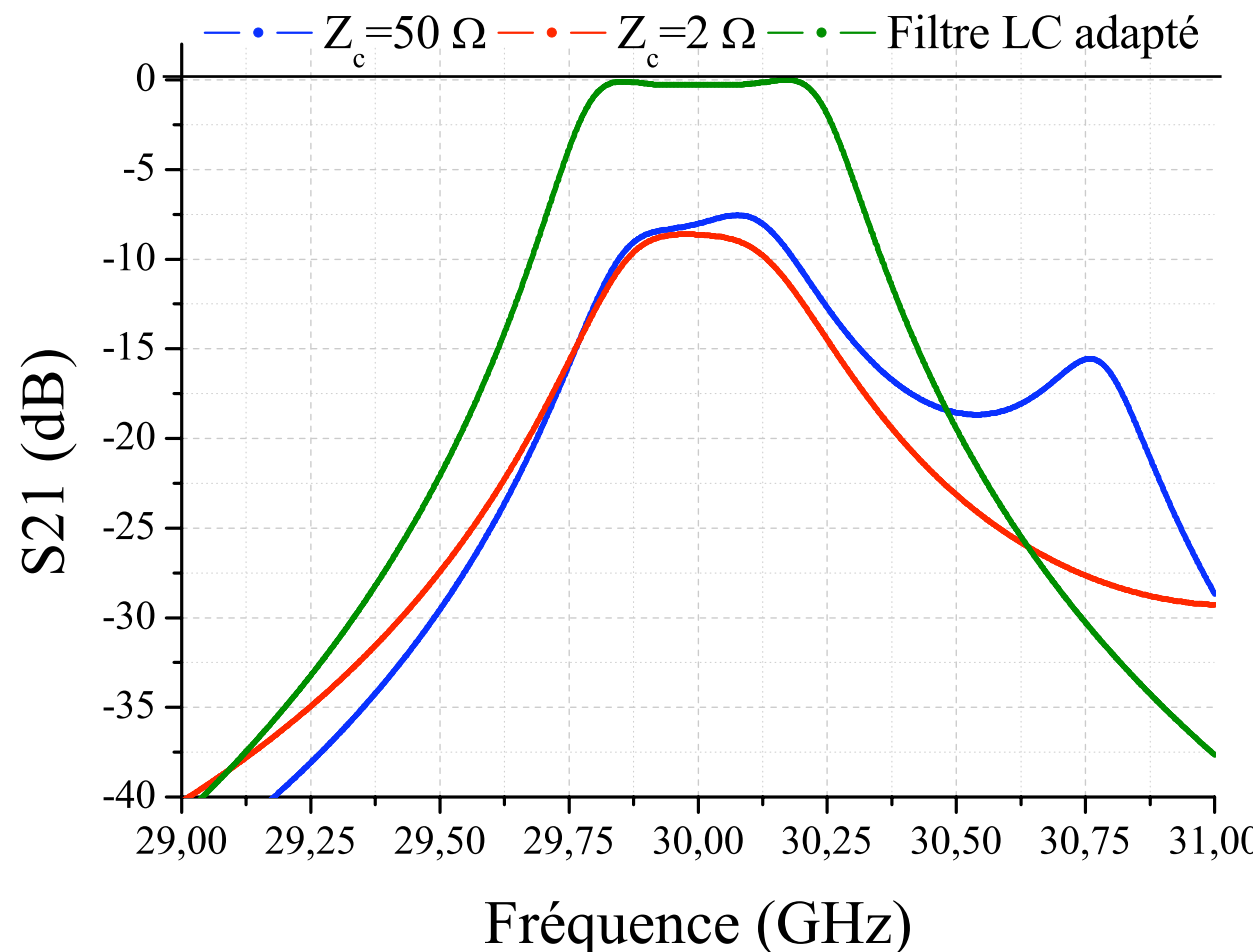
$2 \Omega$ :  $F_c=30.004$  GHz,  $B=489$  MHz and  $A=0.3$  dB

# Etude du filtre analogique



## Matching problems

Réponse du filtre avec  $P_1=50 \Omega$  et  $P_2=2 \Omega$  :



$50 \Omega$ :  $F_c=30.008 \text{ GHz}$ ,  $B=507 \text{ MHz}$  and  $A=0.05 \text{ dB}$

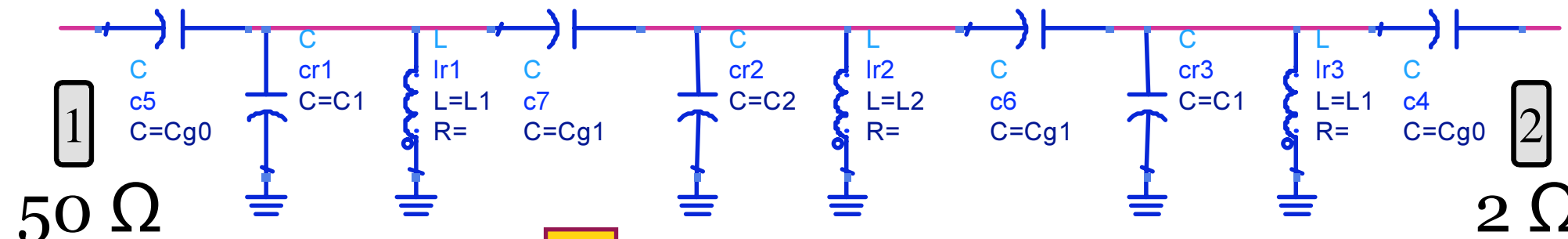
$2 \Omega$ :  $F_c=30.004 \text{ GHz}$ ,  $B=489 \text{ MHz}$  and  $A=0.3 \text{ dB}$

## Filter specifications results

$Z_c=2 \Omega$ ,  $F_c=30 \text{ GHz}$ ,  
 $B=357 \text{ MHz}$  and  $\text{Att}=8.64 \text{ dB}$

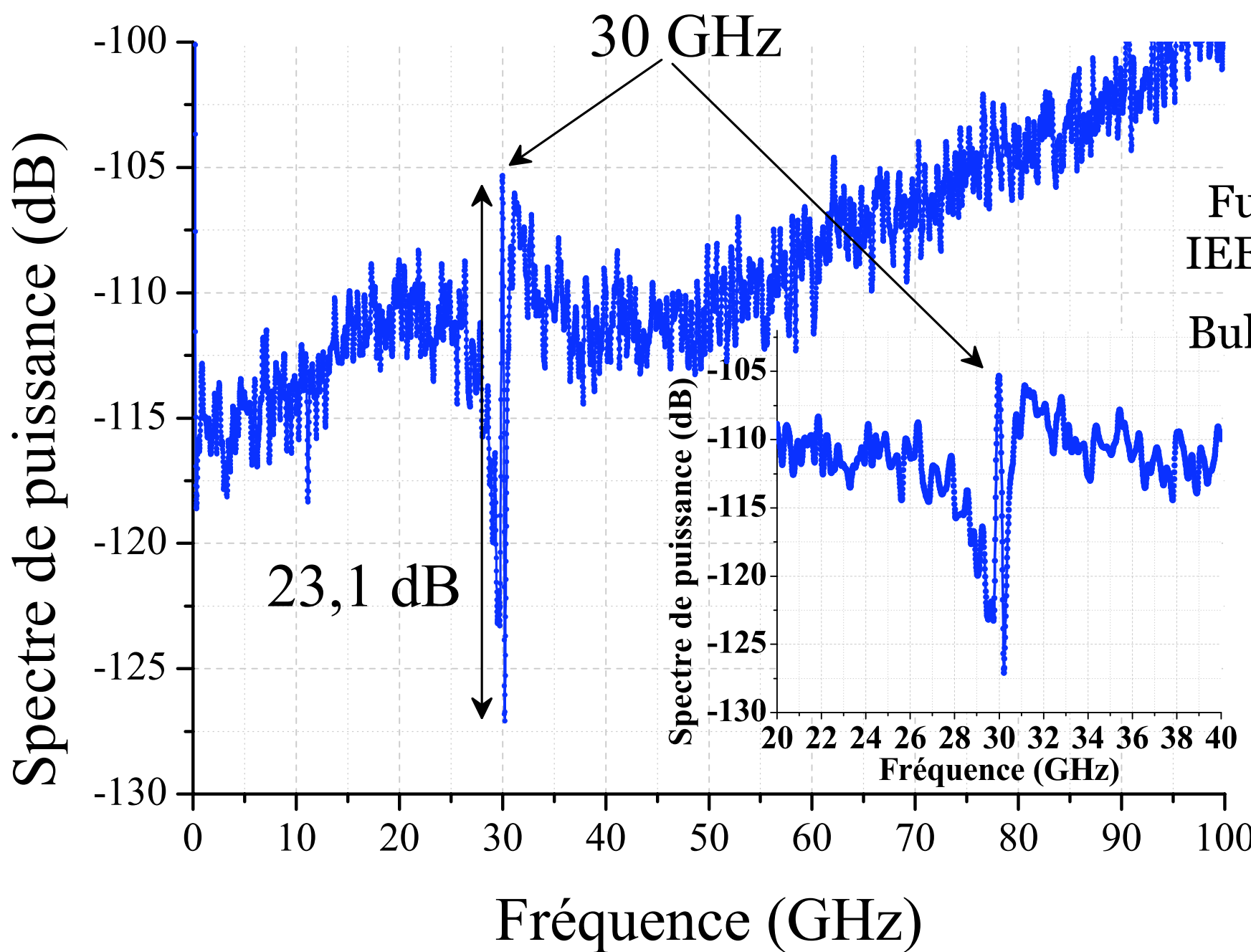
# Performance du modulateur $\Sigma\Delta$

LC Filter equivalent circuit



used for the JSIM simulations

## Sigma-Delta Modulator Spectrum



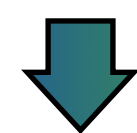
- Comparator bias adjusted for 37% of 1
- Sine input signal:  $V_{pp}=200 \mu V$ ,  $F=30$  GHz

$F_s$ (GHz)	OSR	$l$	$V_{pp}$ (mV)	SNR (dB)
20	100	1	/	44.5
20	256	1	340	24
200	200	3	0.2	23.1

Fujimaki  
IEEE 2003  
Bulzachelli

High sensibility

- Matching and comparator coupling to be improved
- Comparator *Plateau* to be suppressed

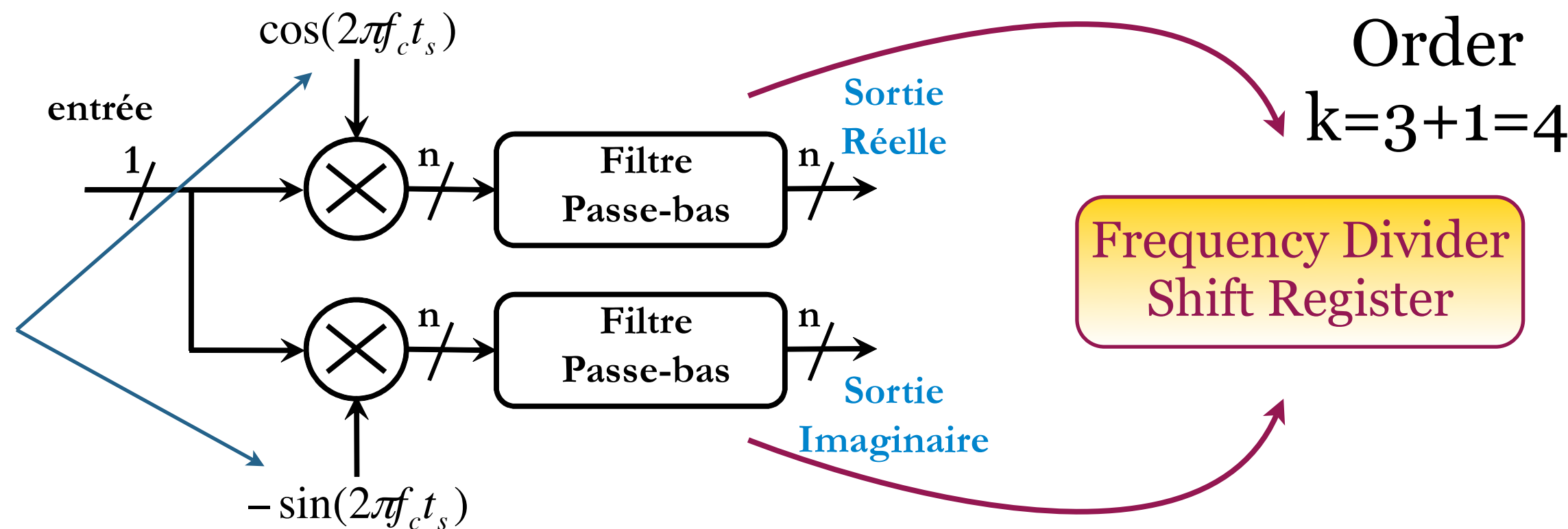


Expected SNR of 141 dB

# Etude du filtre de décimation (1/2)

Easy implementation  
for  $F_s/F_c=4$  or 8

Coefficients



# Etude du filtre de décimation (1/2)

Easy implementation  
for  $F_s/F_c=4$  or 8

Coefficients

✓ Frequency divider

$F_s/F_c=4$

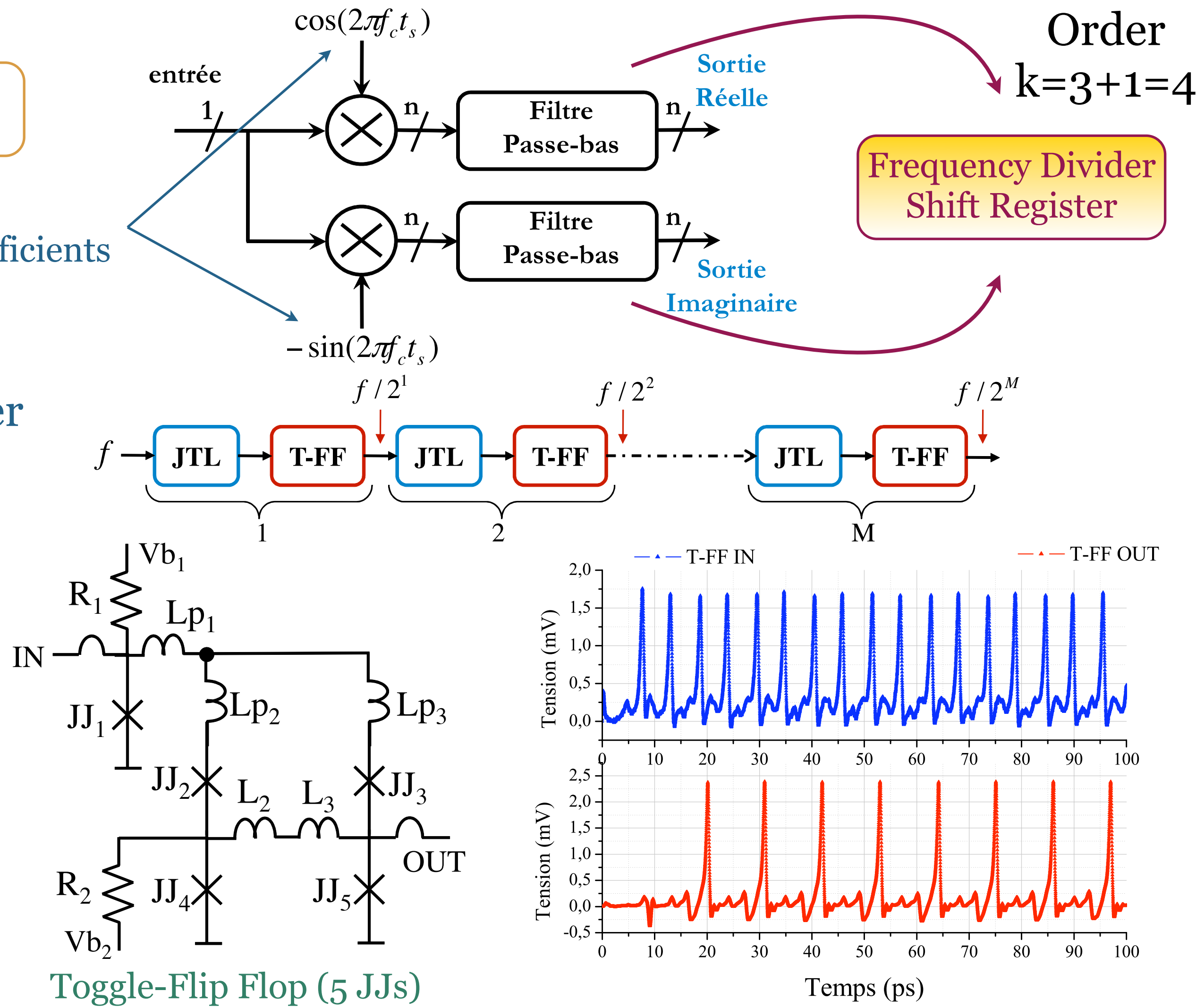
$F_s=120$  GHz

Decimation 1:128  
[49 JJs]

$F_s/F_c=8$

$F_s=240$  GHz

Decimation 1:256  
[56 JJs]



# Etude du filtre de décimation (2/2)

For 1 Low-pass Decimation Filter (DF):

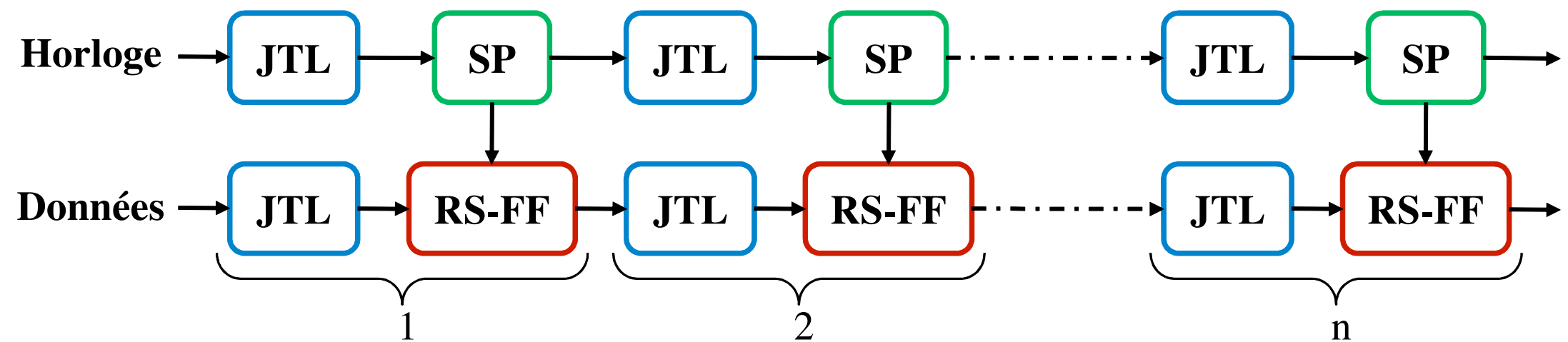
4 Accumulators and 4 Differentiators  8 SR of 33 bits eachone

✓ Shift Register (SR)

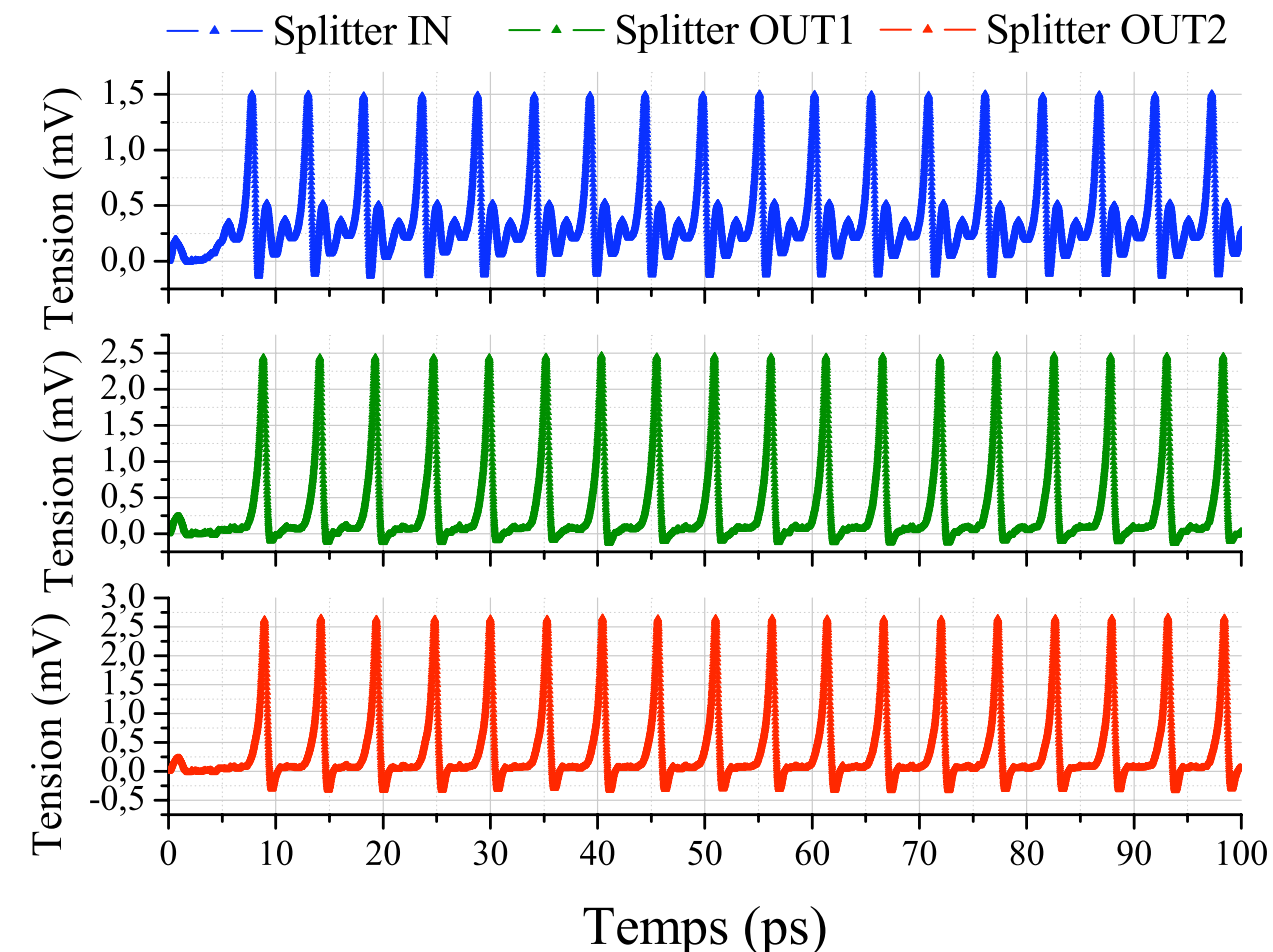
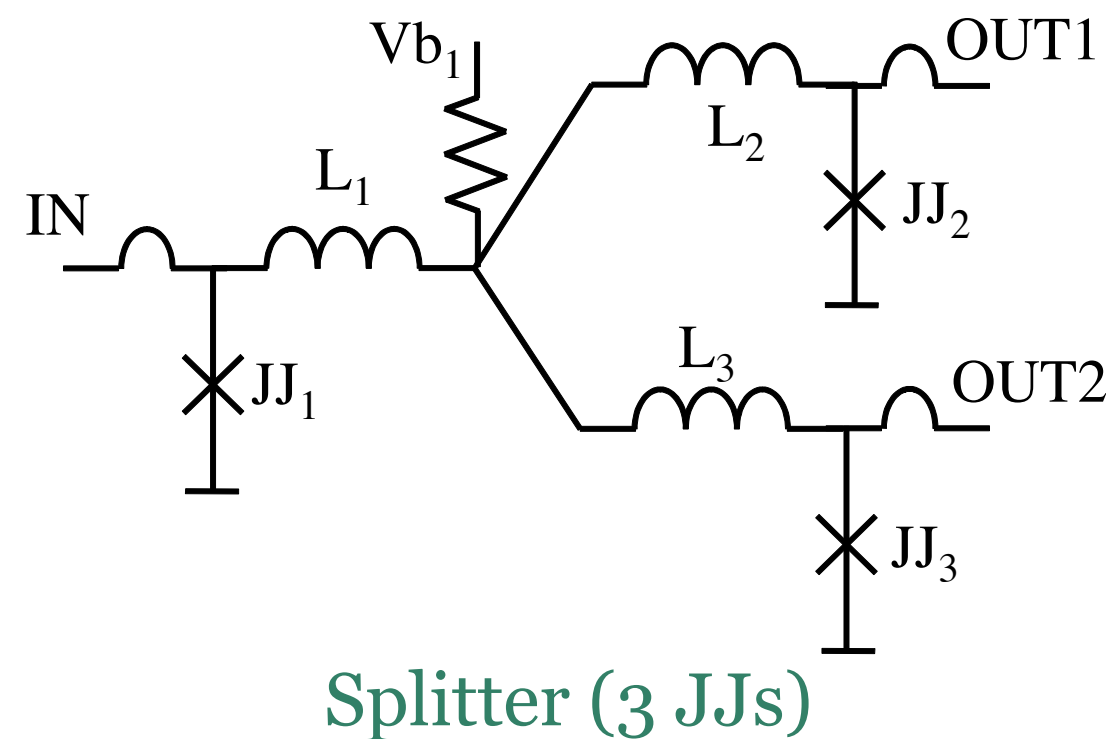
1 SR of 33 bits  
[396 JJs]

 8 SR  
[3168 JJs]

 1 Low-pass DF  
[~3500 JJs]



1 bit SR → 12 JJs



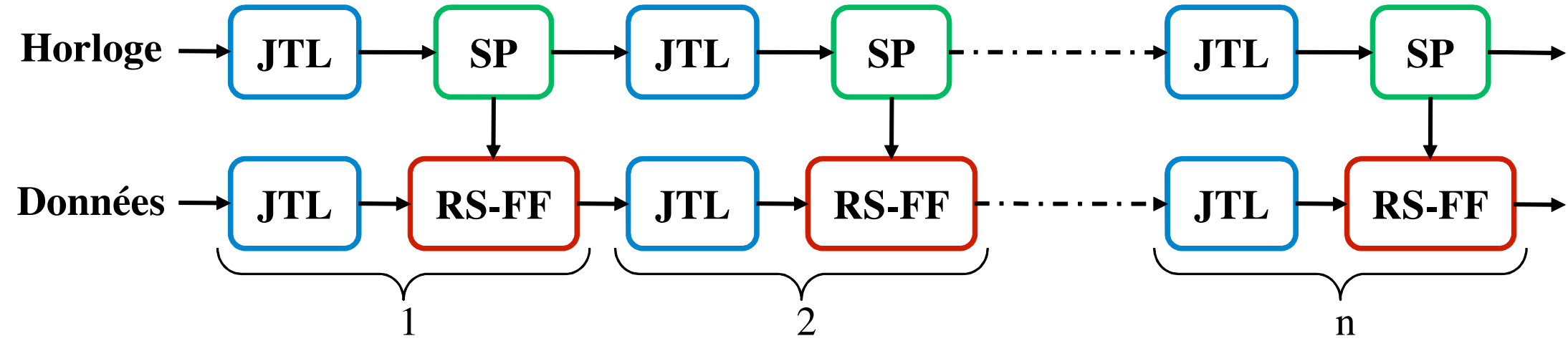
# Etude du filtre de décimation (2/2)

For 1 Low-pass Decimation Filter (DF):

4 Accumulators and 4 Differentiators 8 SR of 33 bits eachone

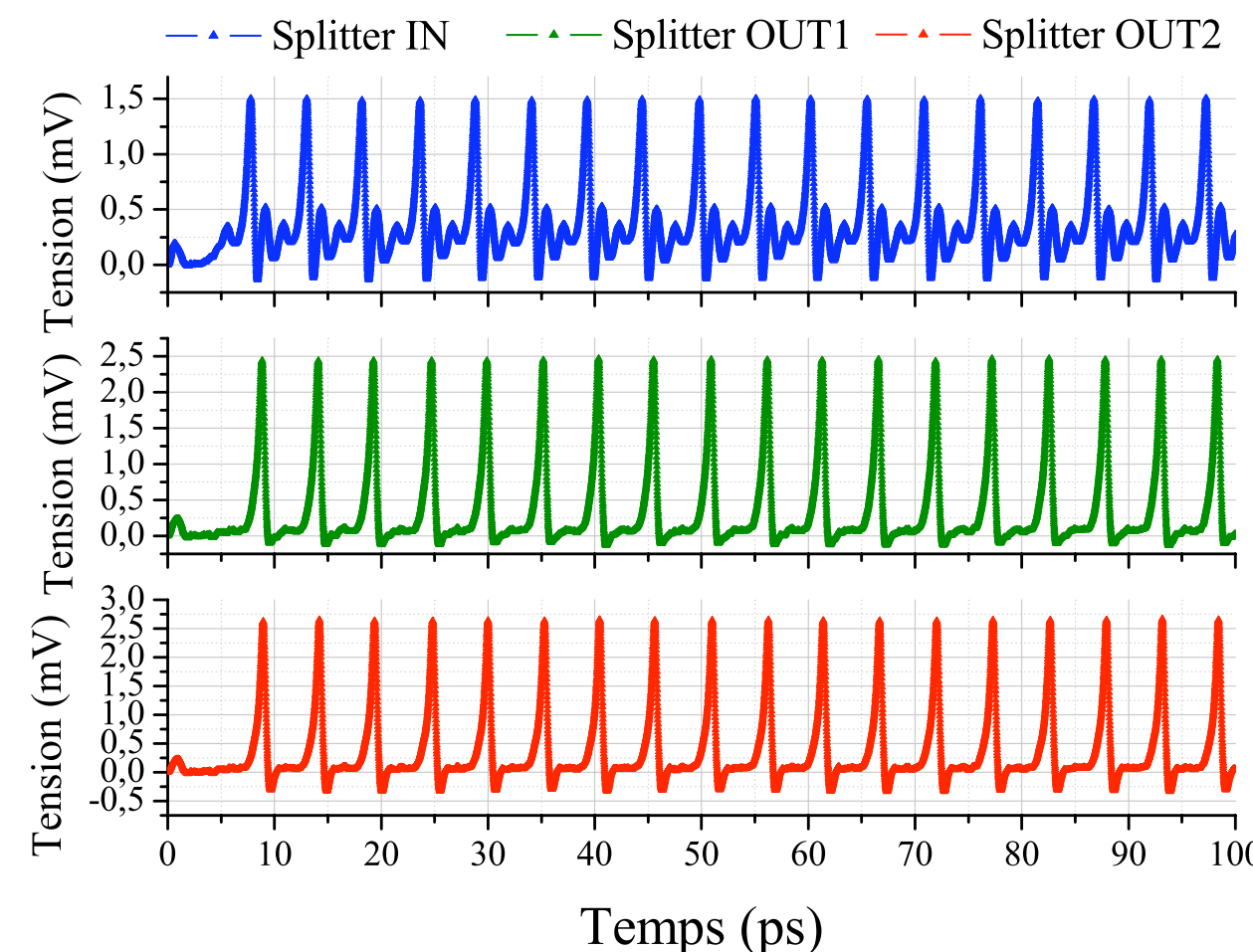
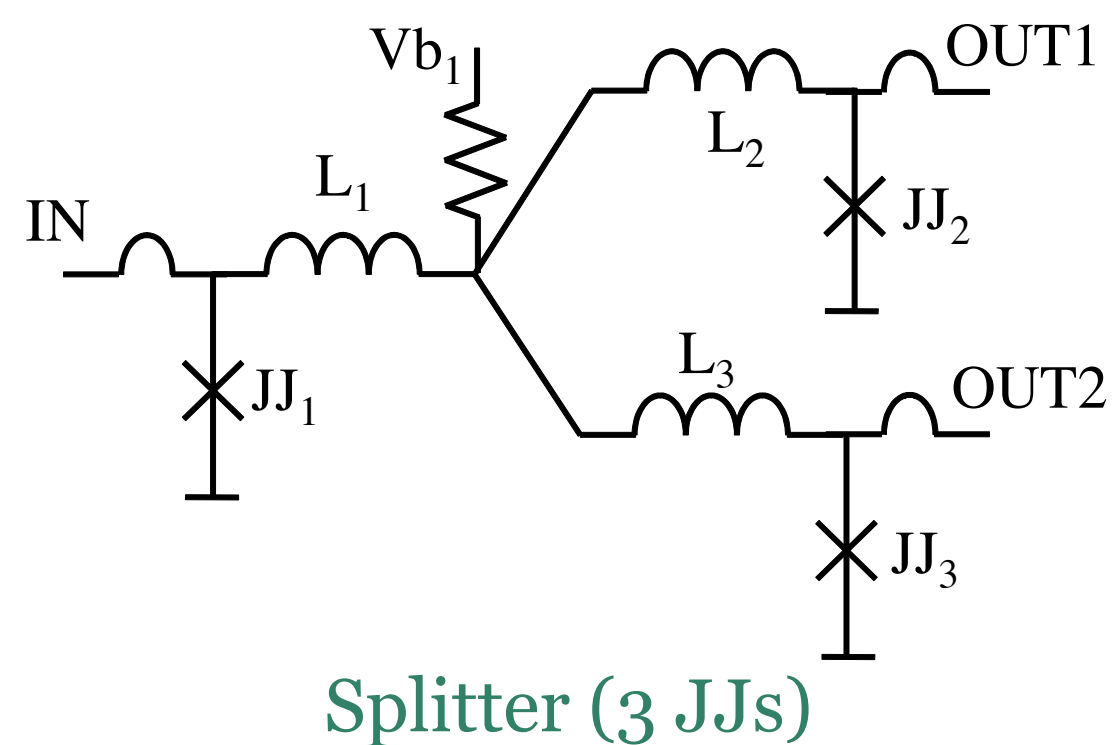
✓ Shift Register (SR)

1 SR of 33 bits  
[396 JJs]



8 SR  
[3168 JJs]

1 Low-pass DF  
[~3500 JJs]



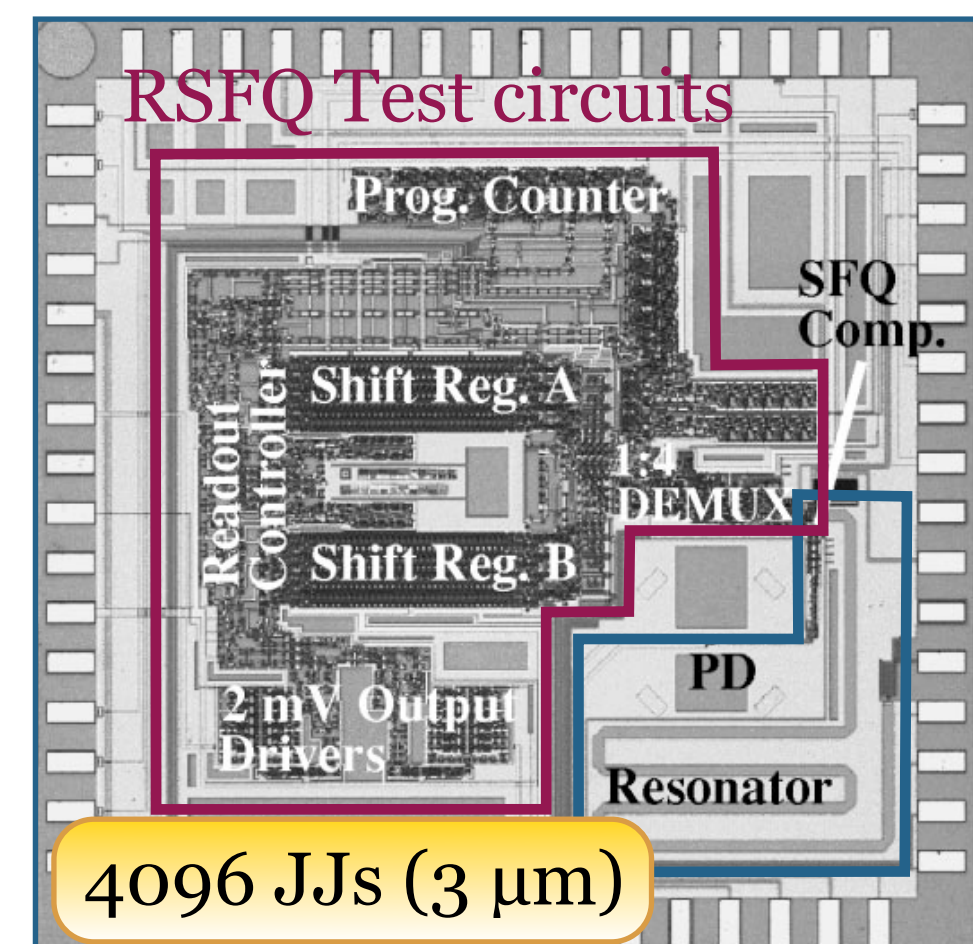
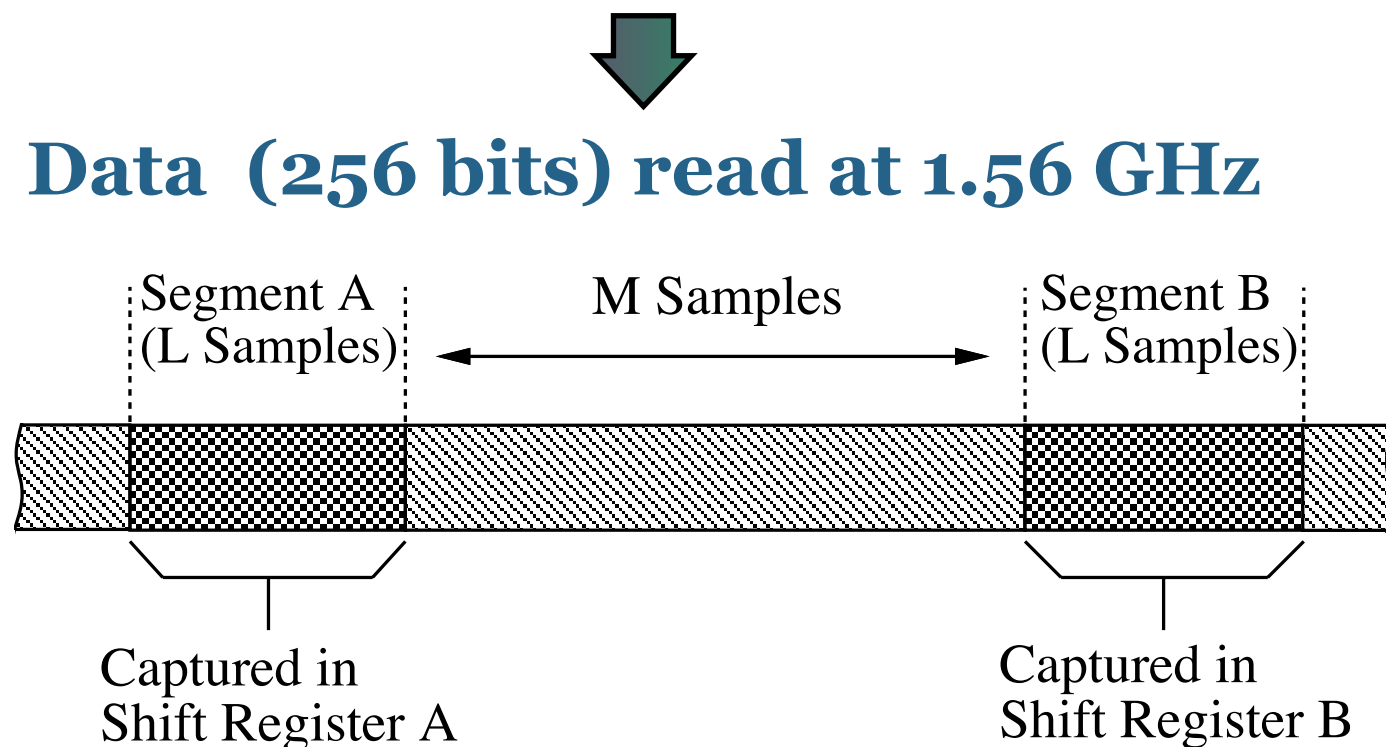
Band-Pass Decimation filter:

\* $F_s/F_c=4$  [~7500 JJs] • coefficients: 0,  $\pm 1$   
• 2 Low-Pass DFs

\* $F_s/F_c=8$  [~15000 JJs] • coefficients: 0,  $\pm 1, \pm 1/\sqrt{2}$   
• 4 Low-Pass DFs

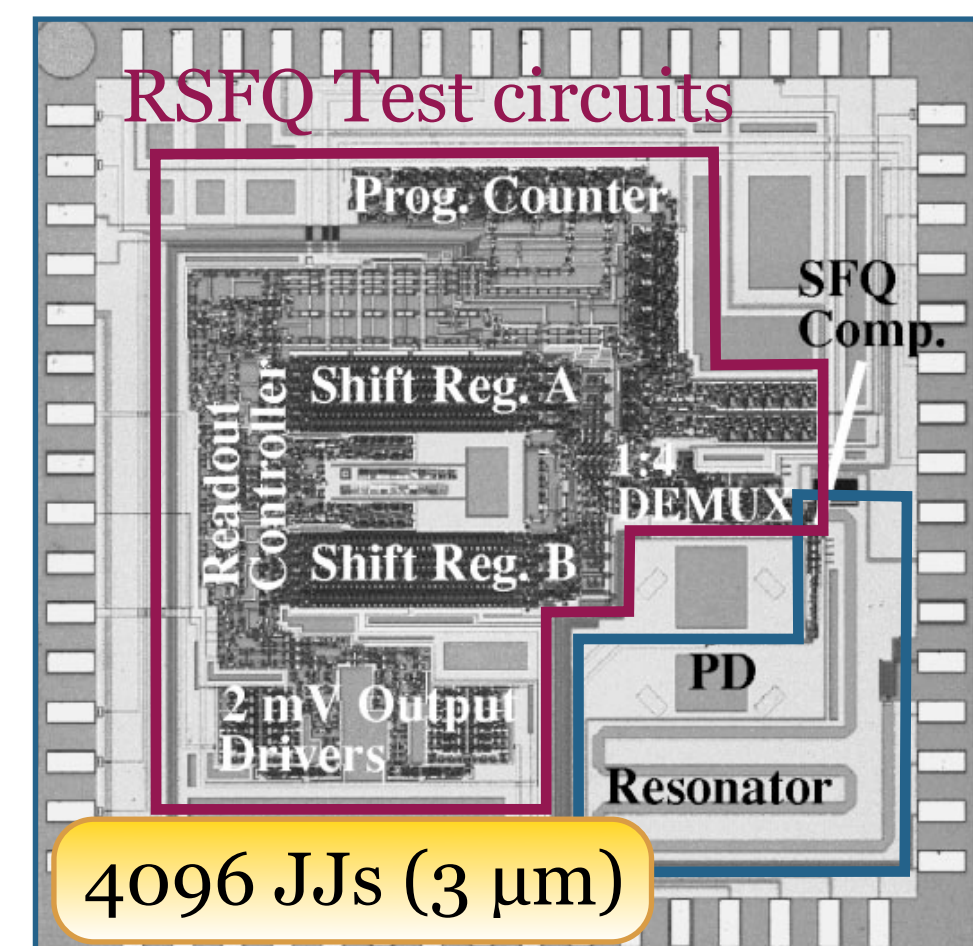
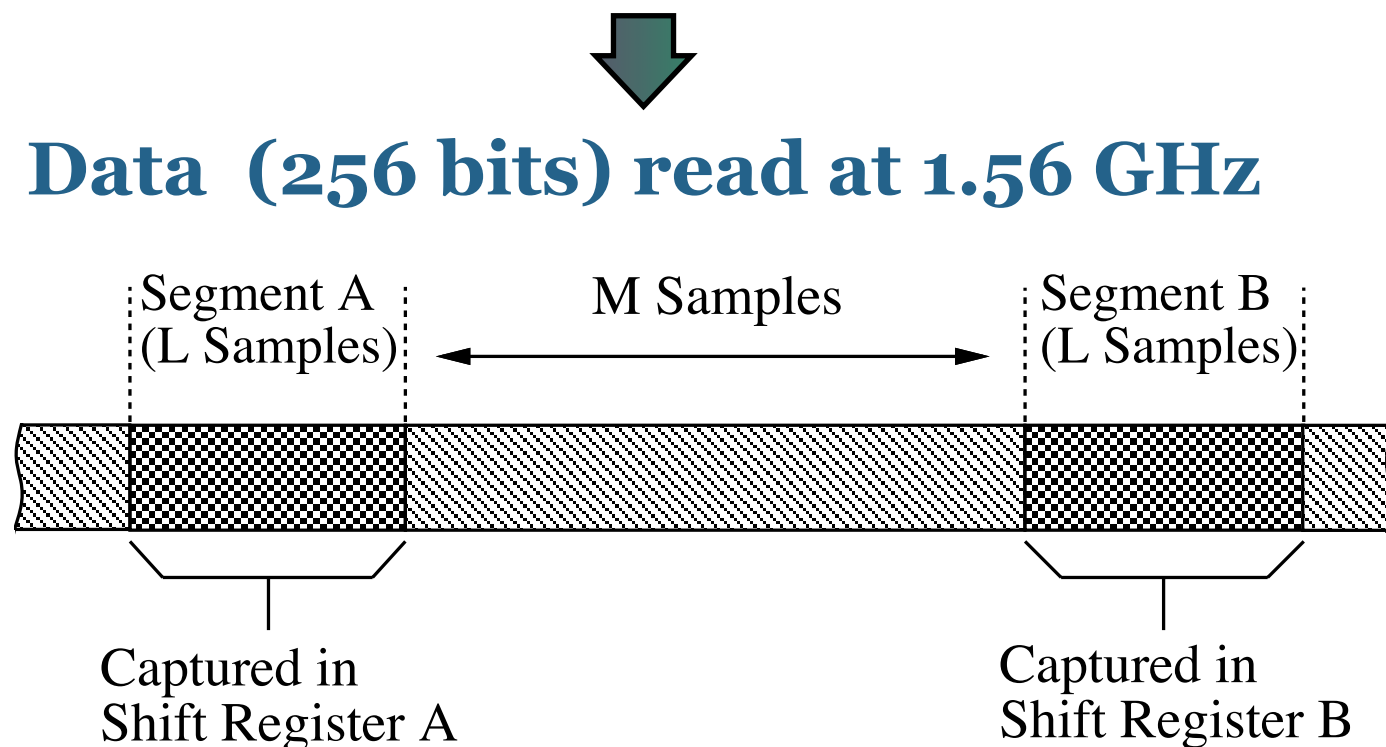
# Méthodes de test possibles

✓ Segmented correlation [thèse J. Bulzachelli 2002 MIT]

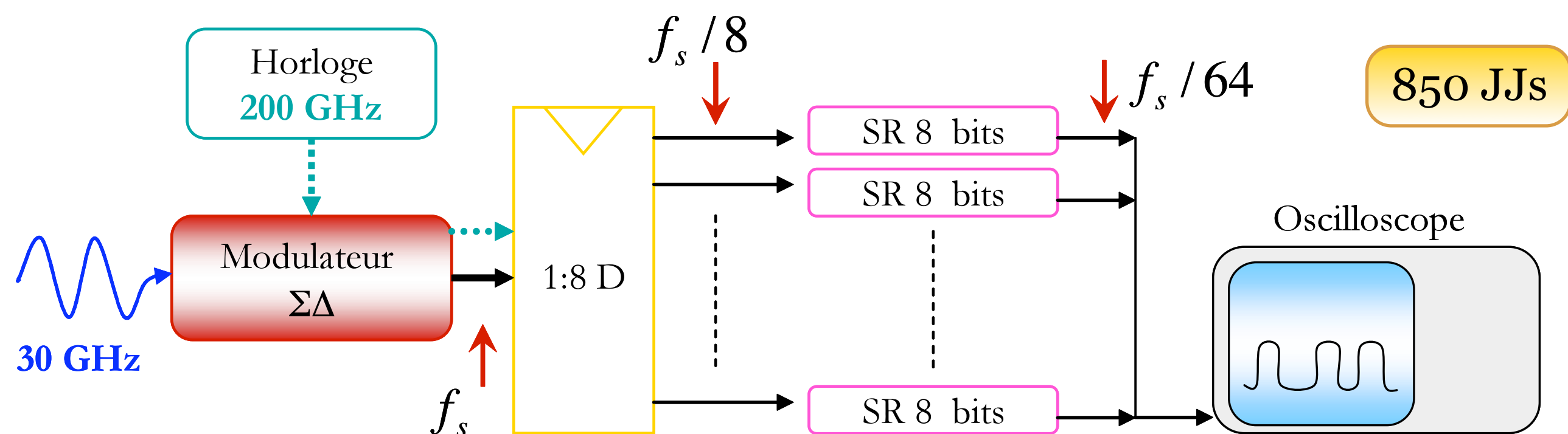


# Méthodes de test possibles

✓ Segmented correlation [thèse J. Bulzachelli 2002 MIT]



✓ Proposed Solution: Shift Registers and Demultiplexers



# Synthèse sur la conception

Compromis sur la fréquence d'échantillonnage



Eliminer le *plateau*, réduire la *zone grise* du comparateur et OSR en puissance de 2

Améliorer le couplage du filtre au comparateur et l'adaptation entre le signal en entrée et le comparateur



Augmenter le SNR

$F_s/F_c=4$  or  $F_s/F_c=8$



Une implémentation du filtre de décimation plus facile

ADC

$F_s=120 \text{ GHz}$

Décimation 1:128

$\rightarrow 936 \text{ MHz Nyquist output}$

$R_N I_C = 1 \text{ mV}$

$F_c=F_s/4=30 \text{ GHz}$

$\rightarrow \text{OSR} = 128 \rightarrow \text{SNR} = 125 \text{ dB}$

$B=468 \text{ MHz}$

**[Jonctions count: 8000]**

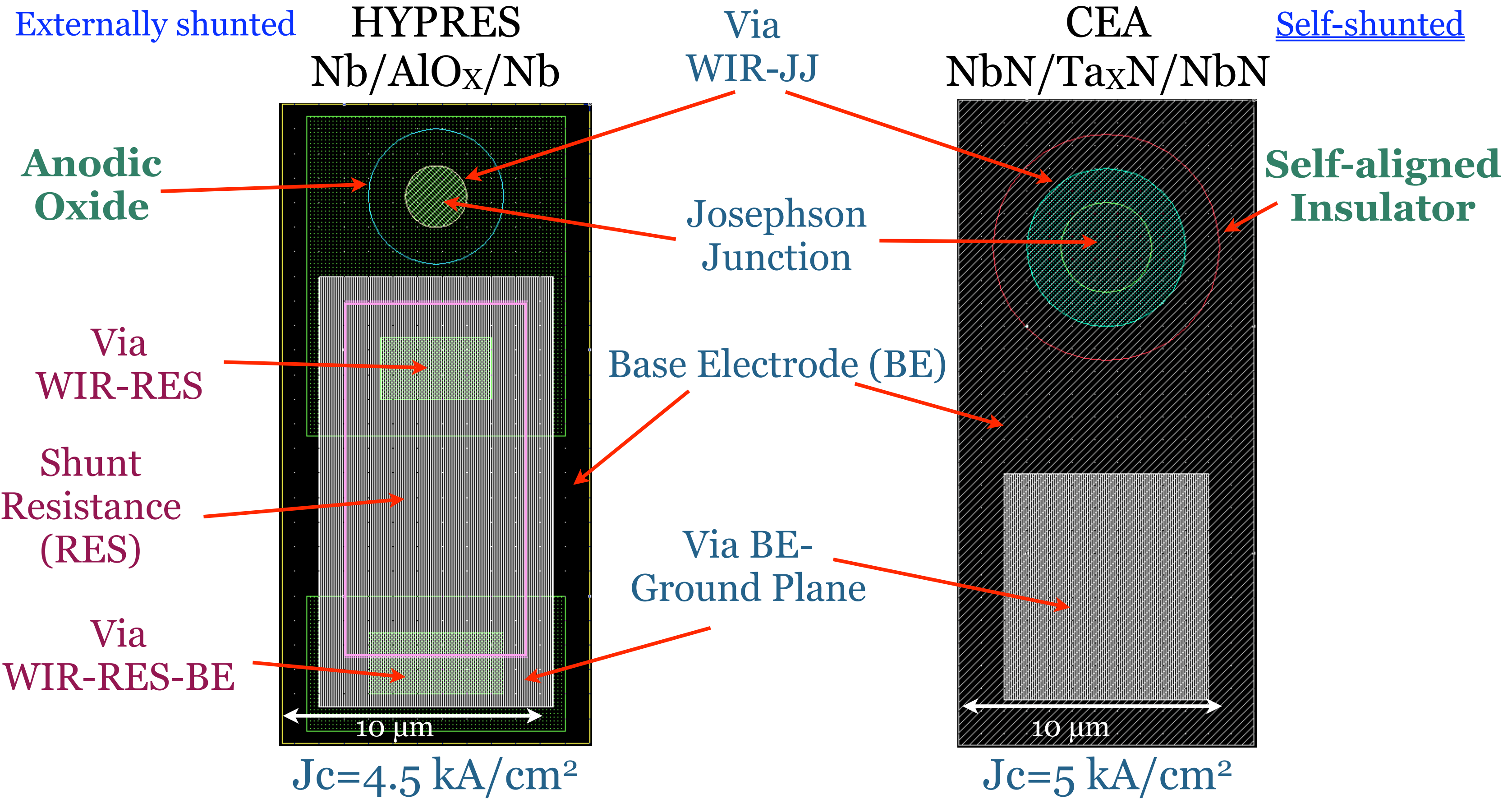
Modulator test circuits

Segmented correlation  $\rightarrow$  FFT (256 bits)  $\rightarrow$  1 GHz Readout [4000 JJs]  
 Simple Acquisition  $\rightarrow$  FFT (64 bits)  $\rightarrow$  2 GHz Readout [1000 JJs]

# Plan de l'exposé

- Introduction
- Rappels sur le CAN et l'Electronique supraconductrice
- Etude de la structure du CAN en NbN
- Implémentation et comparaison de la technologie NbN et Nb
- Conclusions et perspectives

# Dessin des circuits RSFQ



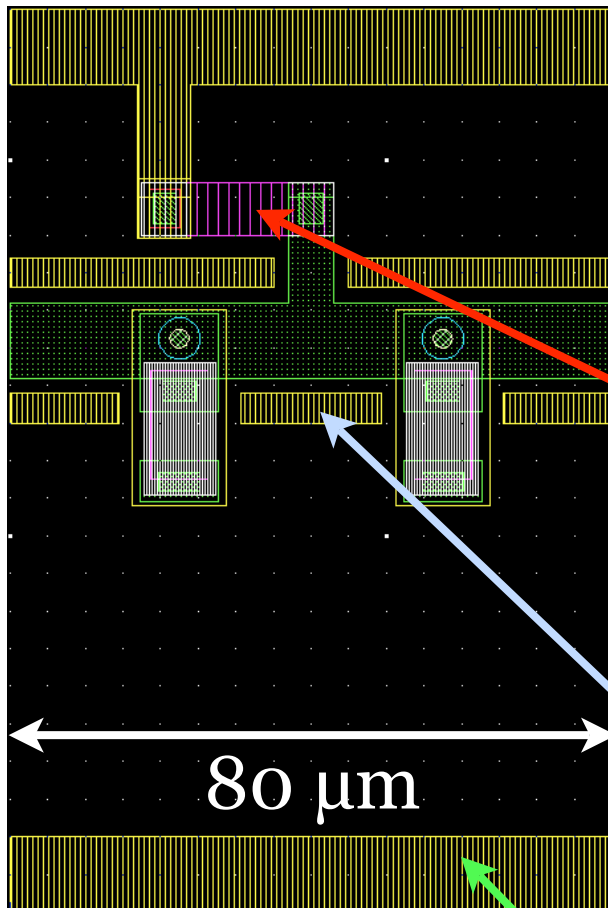
d=1.5 μm  
A=0.5 μm

$$\frac{I_C[JJ_X(\text{NbN})]}{I_C[JJ_X(\text{Nb})]} \sim \frac{9\text{K}}{4.2\text{K}}$$

d=2.5 μm  
A=1.5 μm

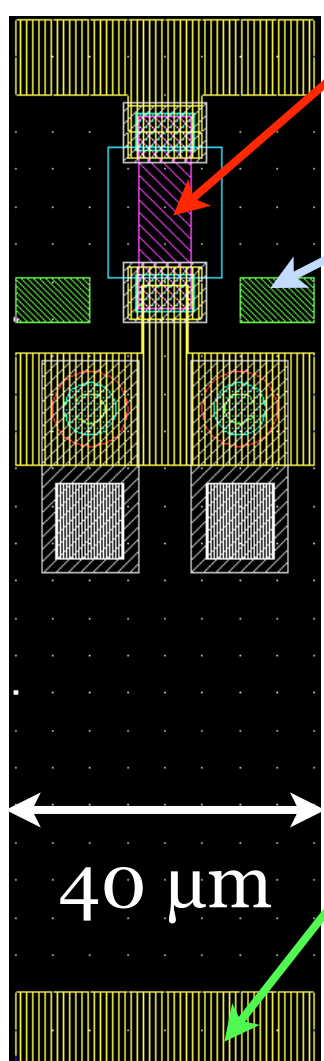
# Dessin des circuits RSFQ

JTL cell



HYPRES  
Nb/AlO<sub>x</sub>/Nb

Bias resistances

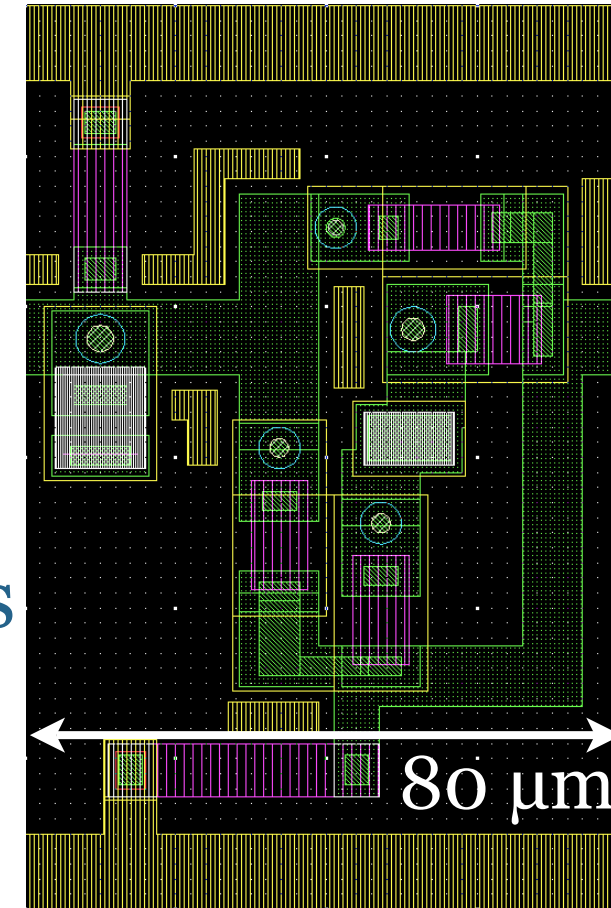


CEA  
NbN/TaxN/NbN

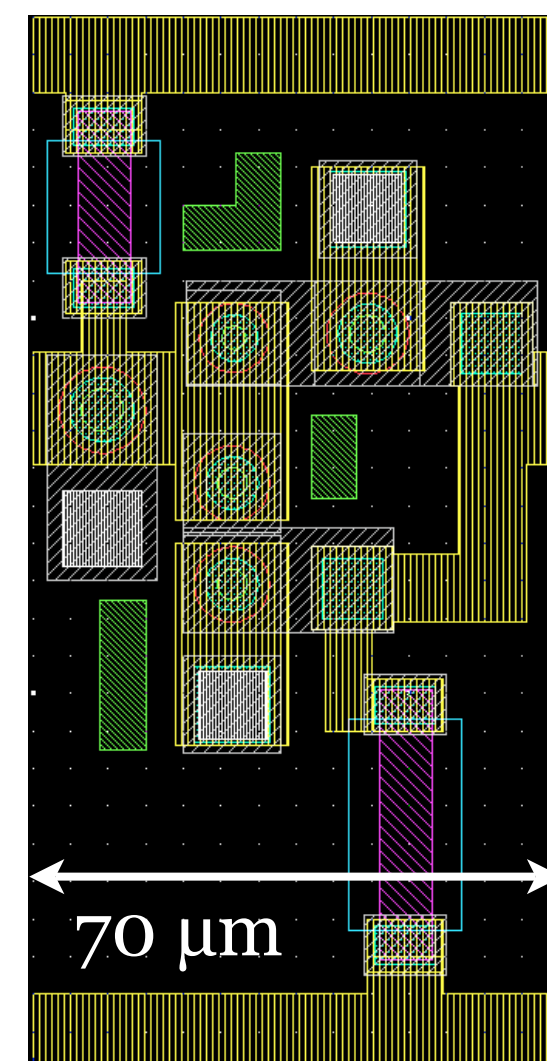
Moats

Bias lines

T-FF cell



120 μm



140 μm

- Lines considerations:

$$L_{\square}(\text{Nb}) = 0.7 \text{ pH}$$

$$L_{\square}(\text{NbN}) = 1.45 \text{ pH}$$



NbN lines are 2 times shorter

- Margins calculations:

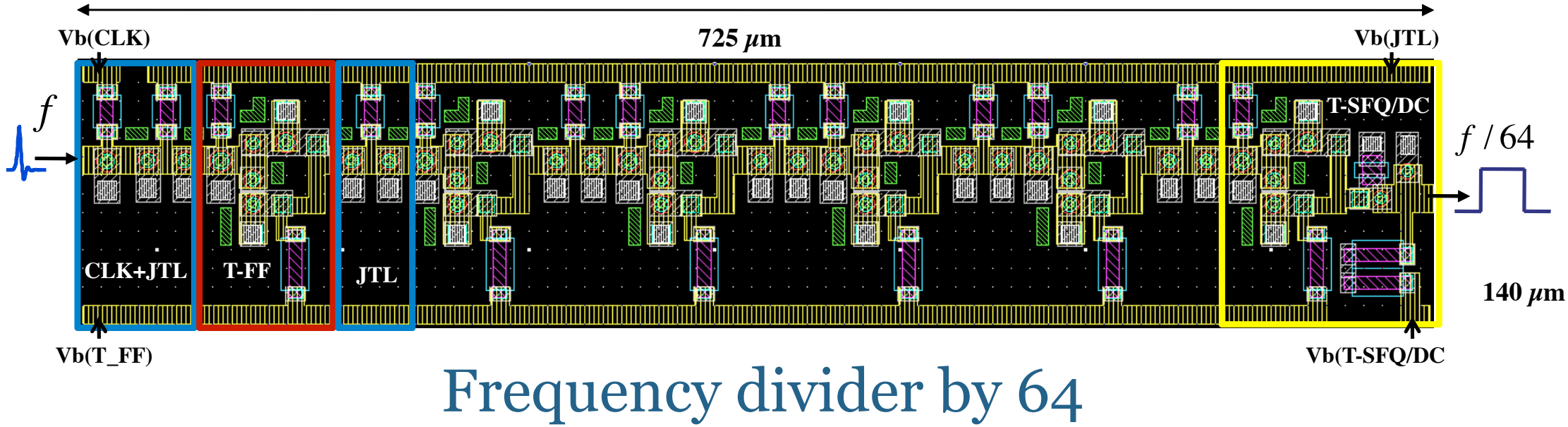
	Nb(4.2 K) ~80 GHz	NbN (9 K) ~200 GHz
JTL	72.1%	48.5%
T-FF	25.7%	21.8%



Optimization requires a better lithography

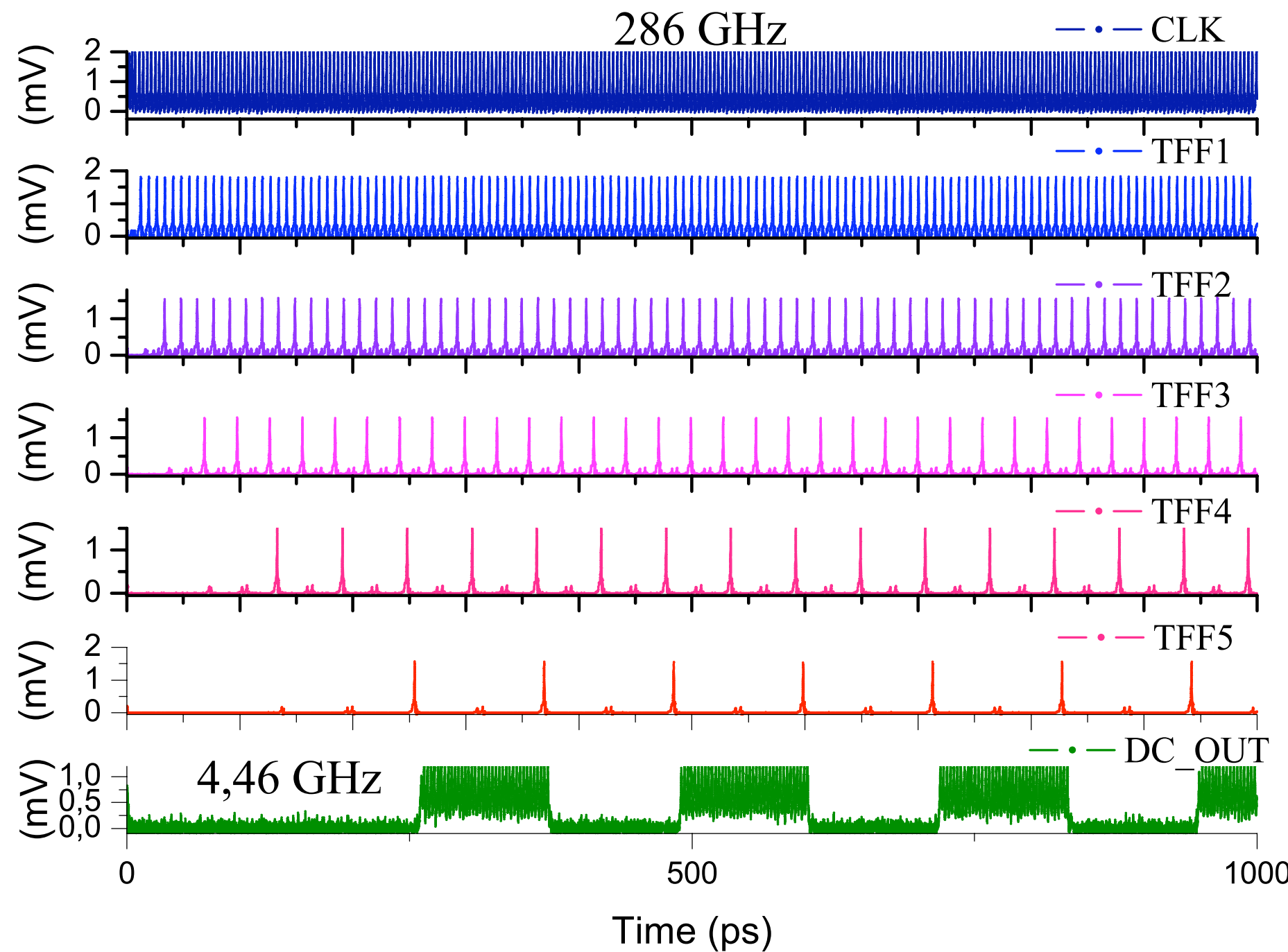
# Le diviseur de fréquence

## Technology performance benchmark

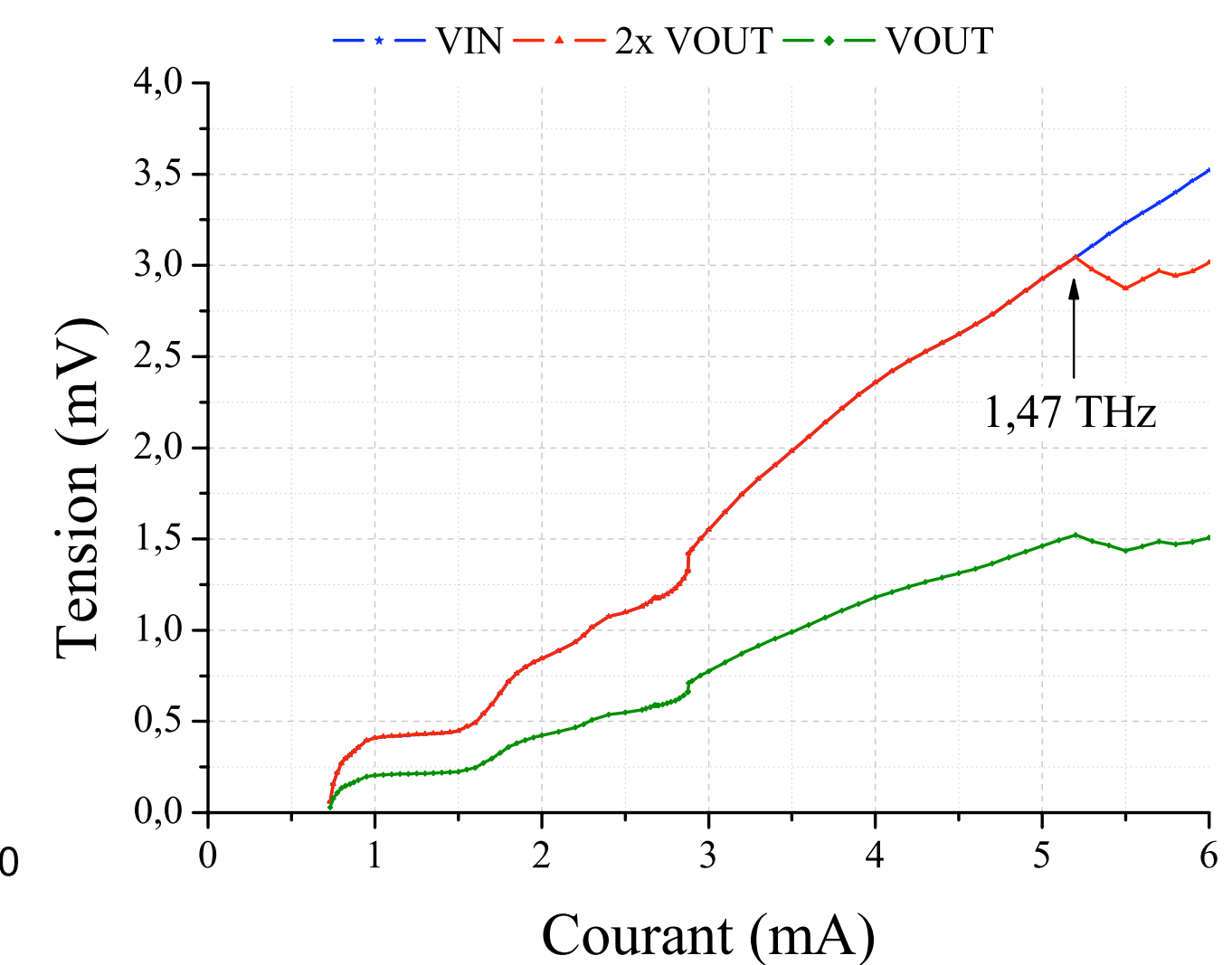


Clock frequency

NbN/TaxN/NbN	Nb/AlO <sub>x</sub> /Nb
286 GHz	98 GHz

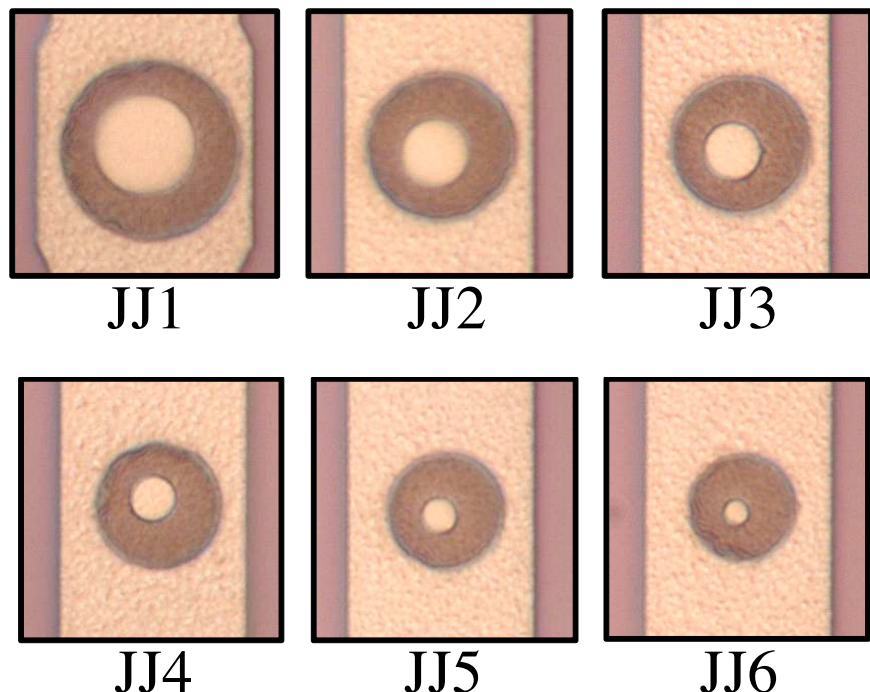


Simulated I(V) characteristic  
for a single T-FF

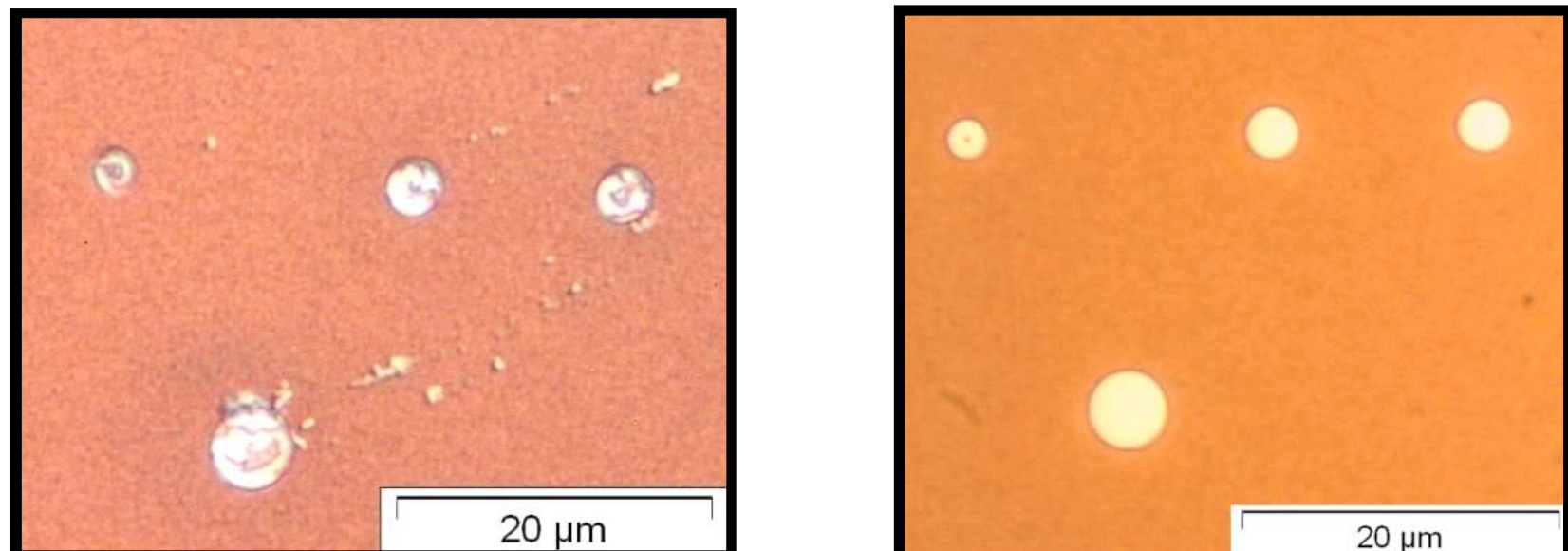


# Fabrication des circuits

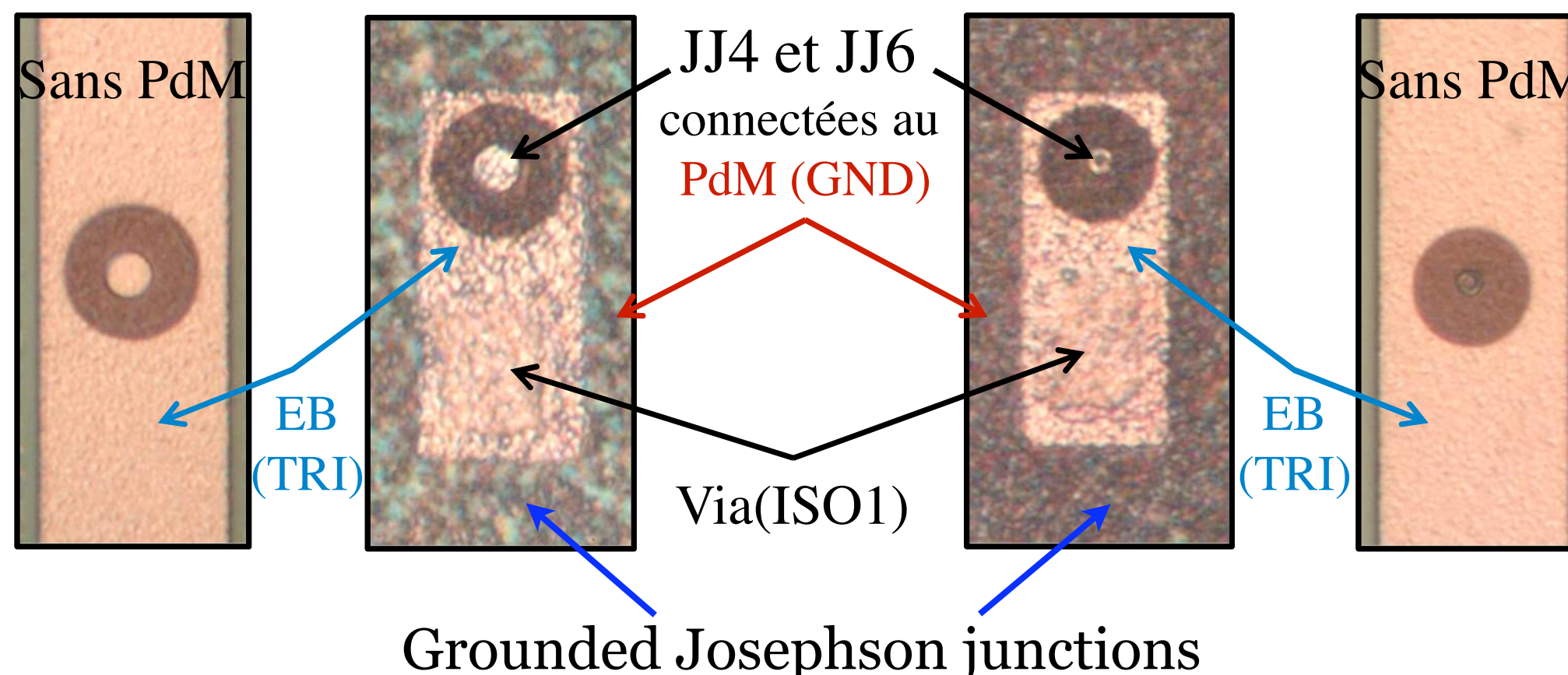
Ungrounded junctions library



✓ Critical problem after the self-insulator deposition  
**Difficulty to put out the photo-resist covering the JJ**



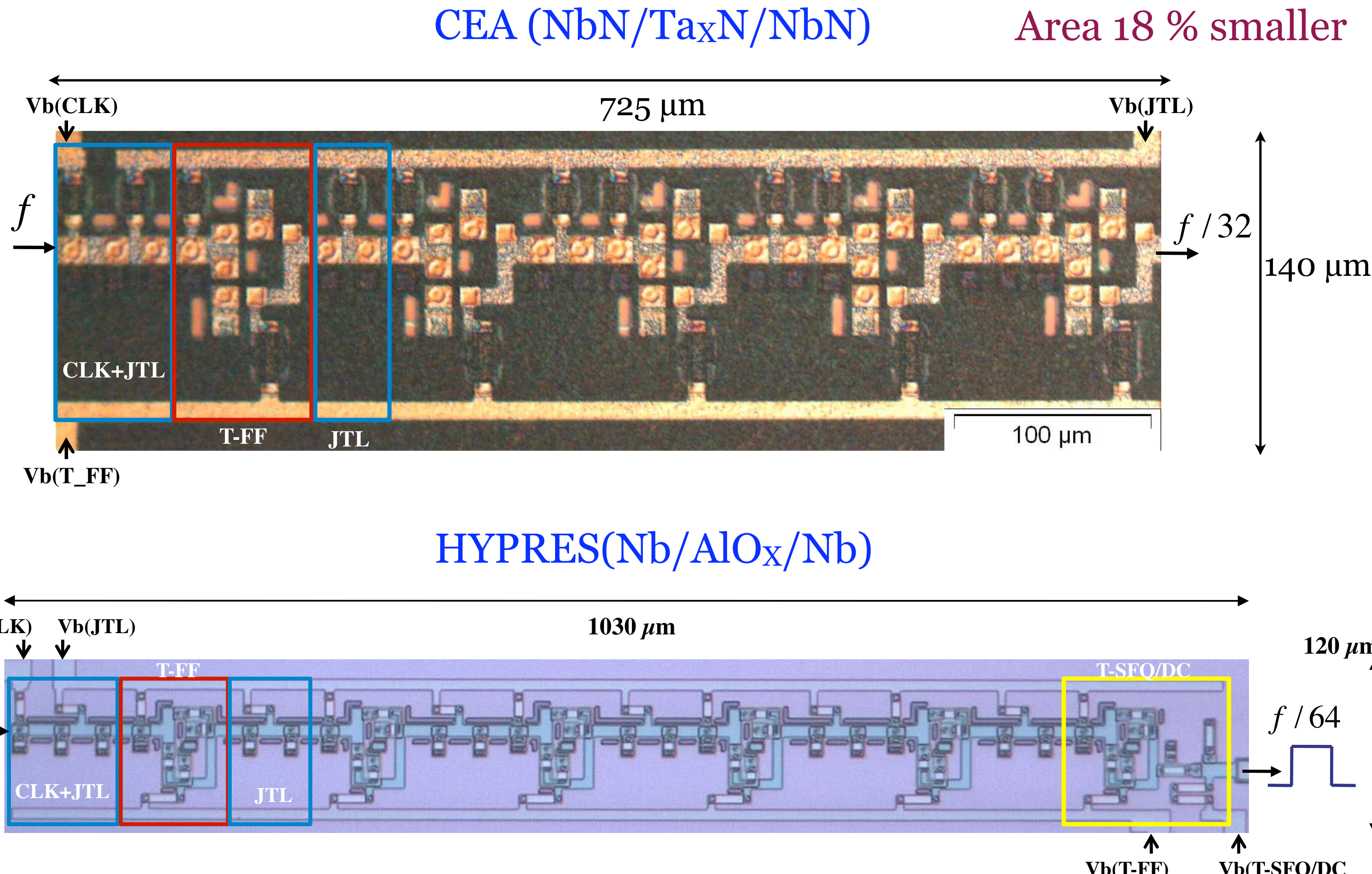
✓ Ground plane effect



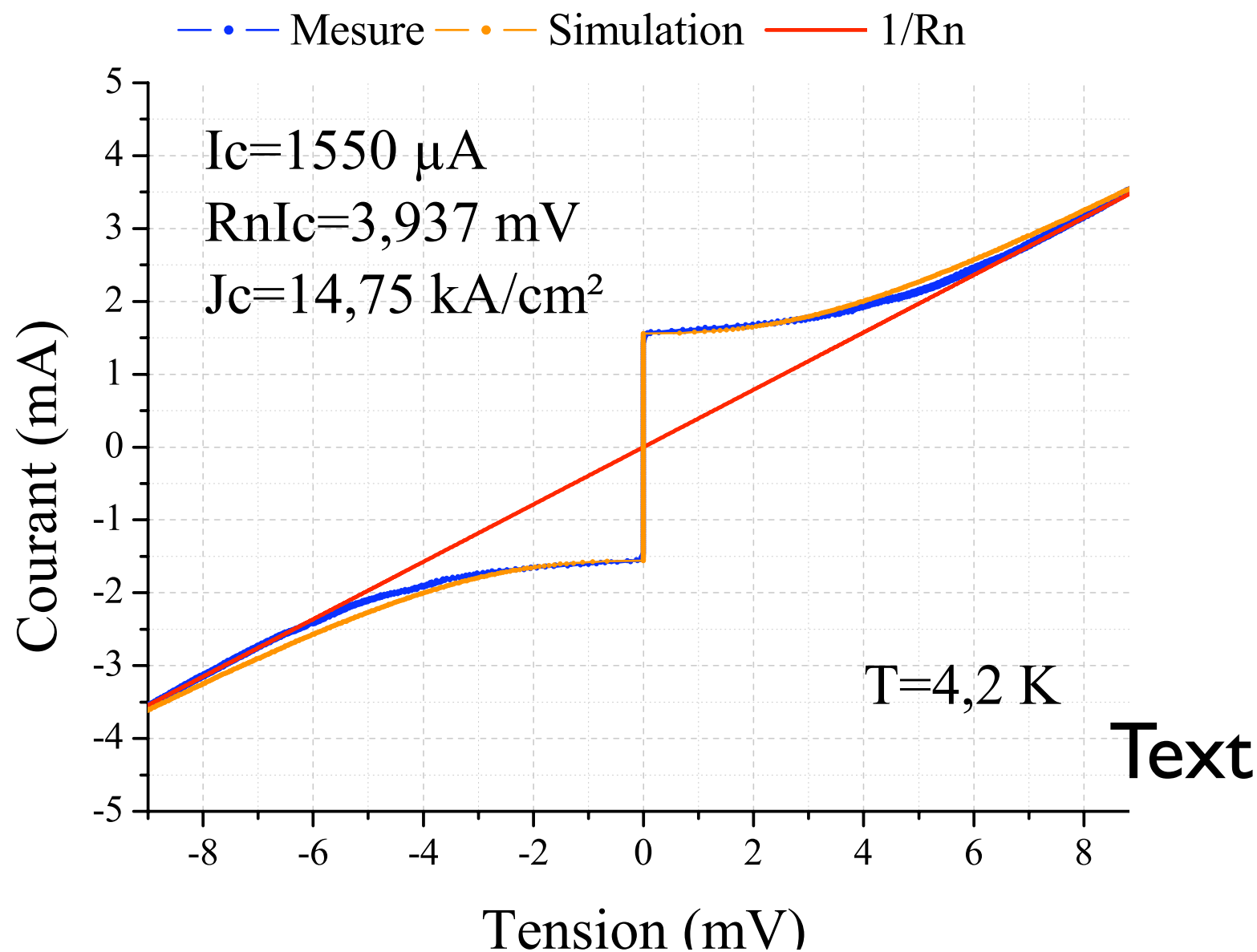
Some JJs of 2.5 μm of diameter are covered

The NbN (400 nm) ground plane increases the rugosity of the junctions

# Diviseur de fréquence sur puce



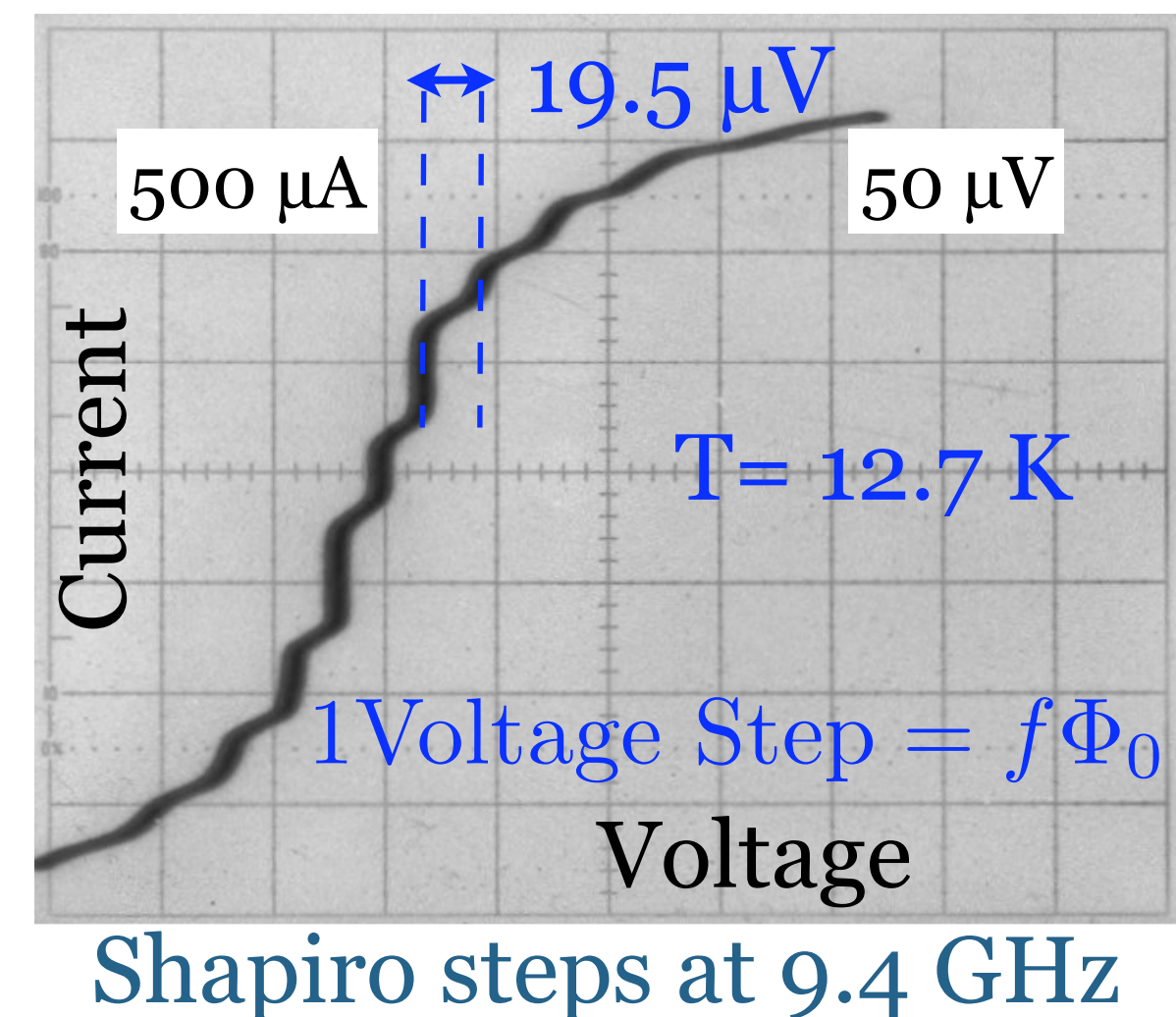
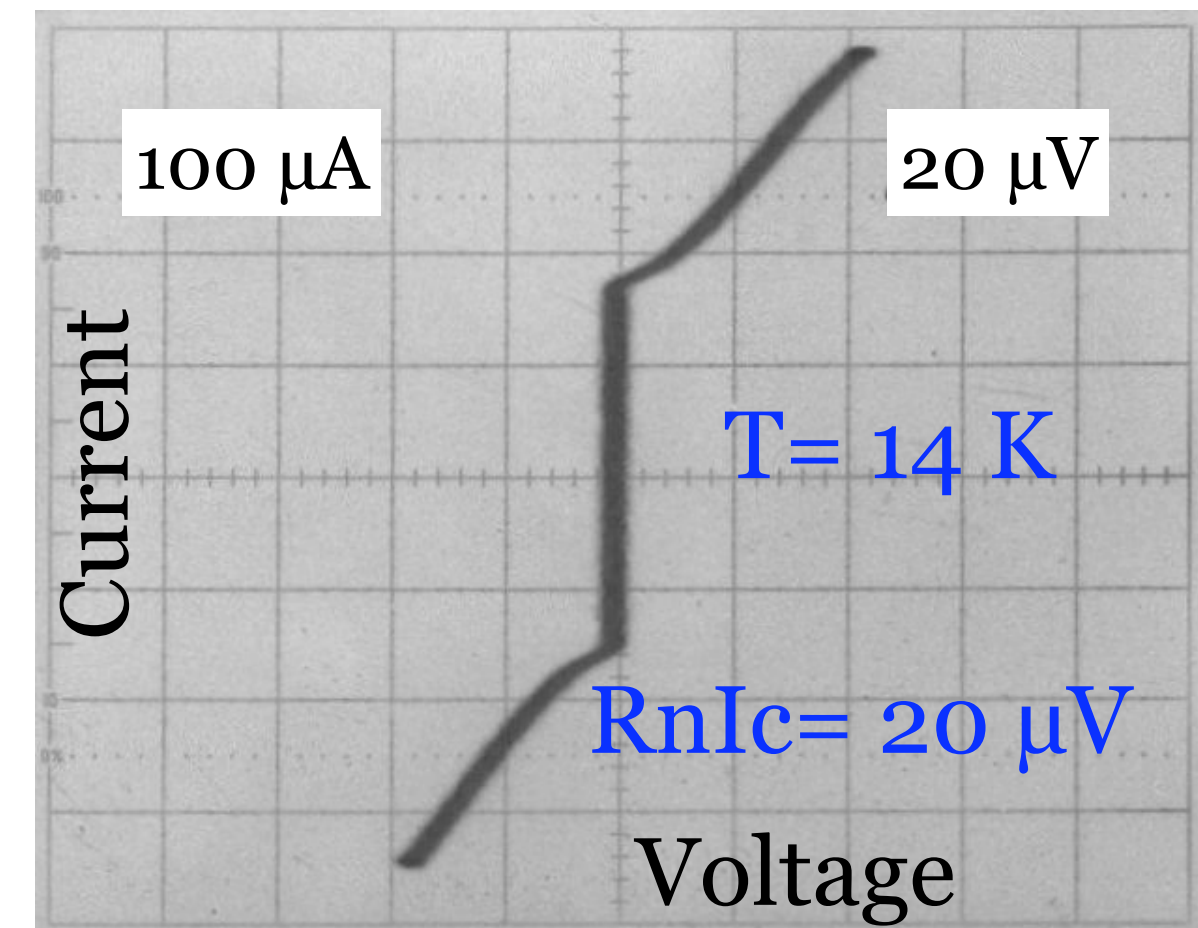
# Test des JJs NbN/Ta<sub>x</sub>N/NbN



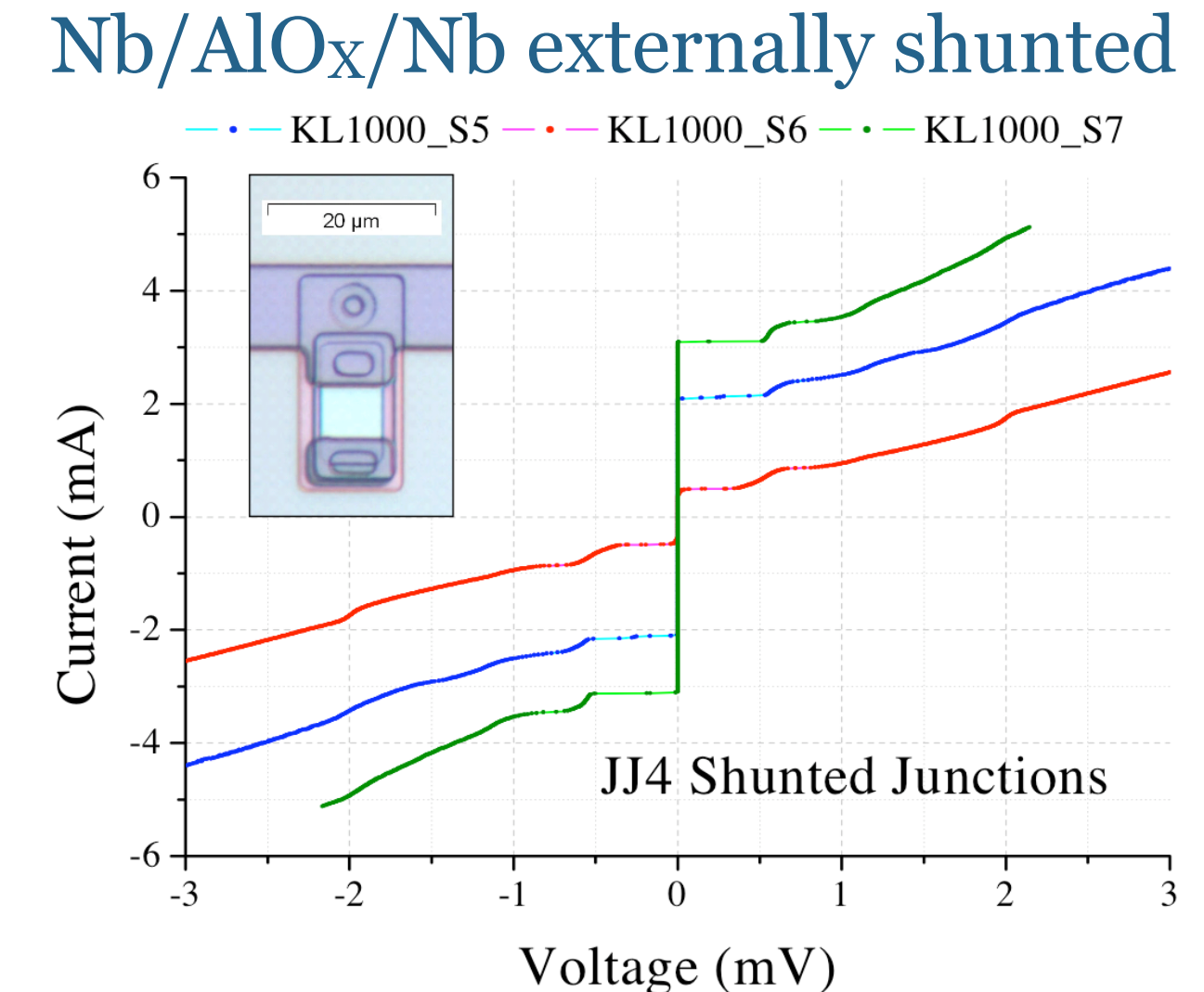
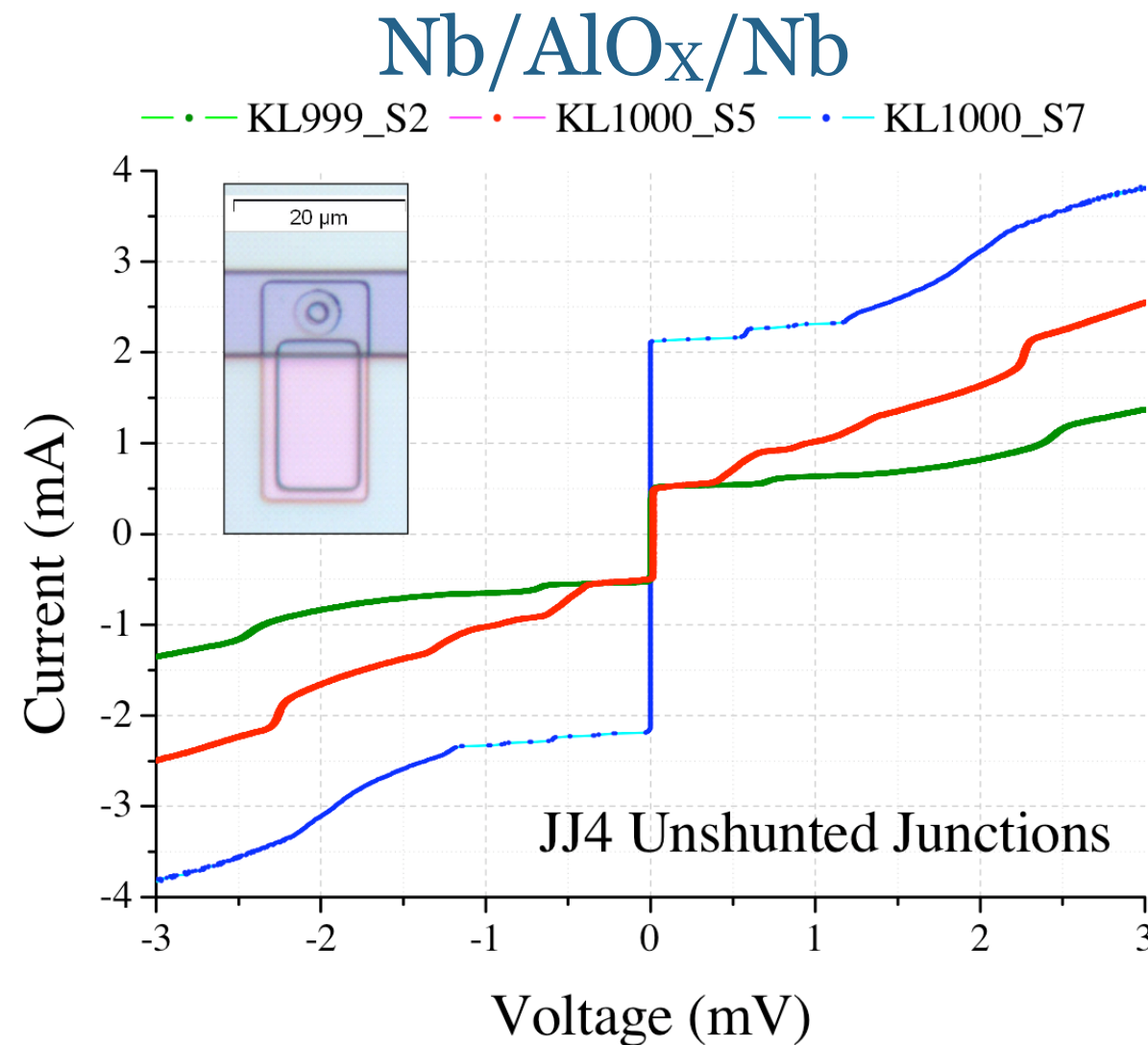
- ✓ High  $R_n I_c$  from 4.2 K up to 9 K
- ✓ High  $J_c$  up to  $14.7 \text{ kA/cm}^2$  at 4.2 K

**The junctions are over-damped**

$$\beta_c(4.2\text{K}) \sim 0.7 \rightarrow \underline{\beta_c(9\text{K}) \sim 0.4} \rightarrow \beta_c(14\text{K}) \sim 0.05$$

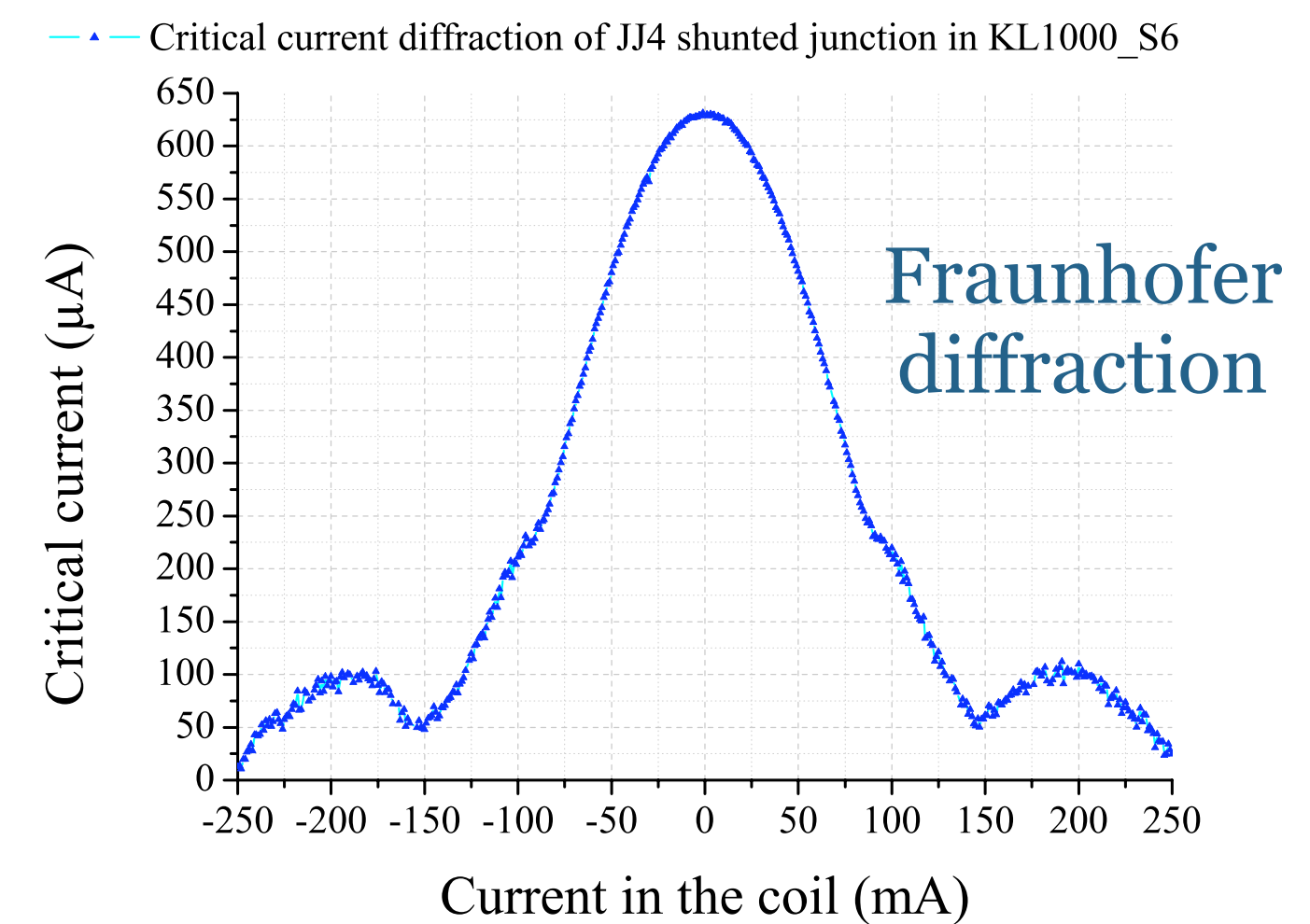


# Test des JJs Nb/AlO<sub>x</sub>/Nb

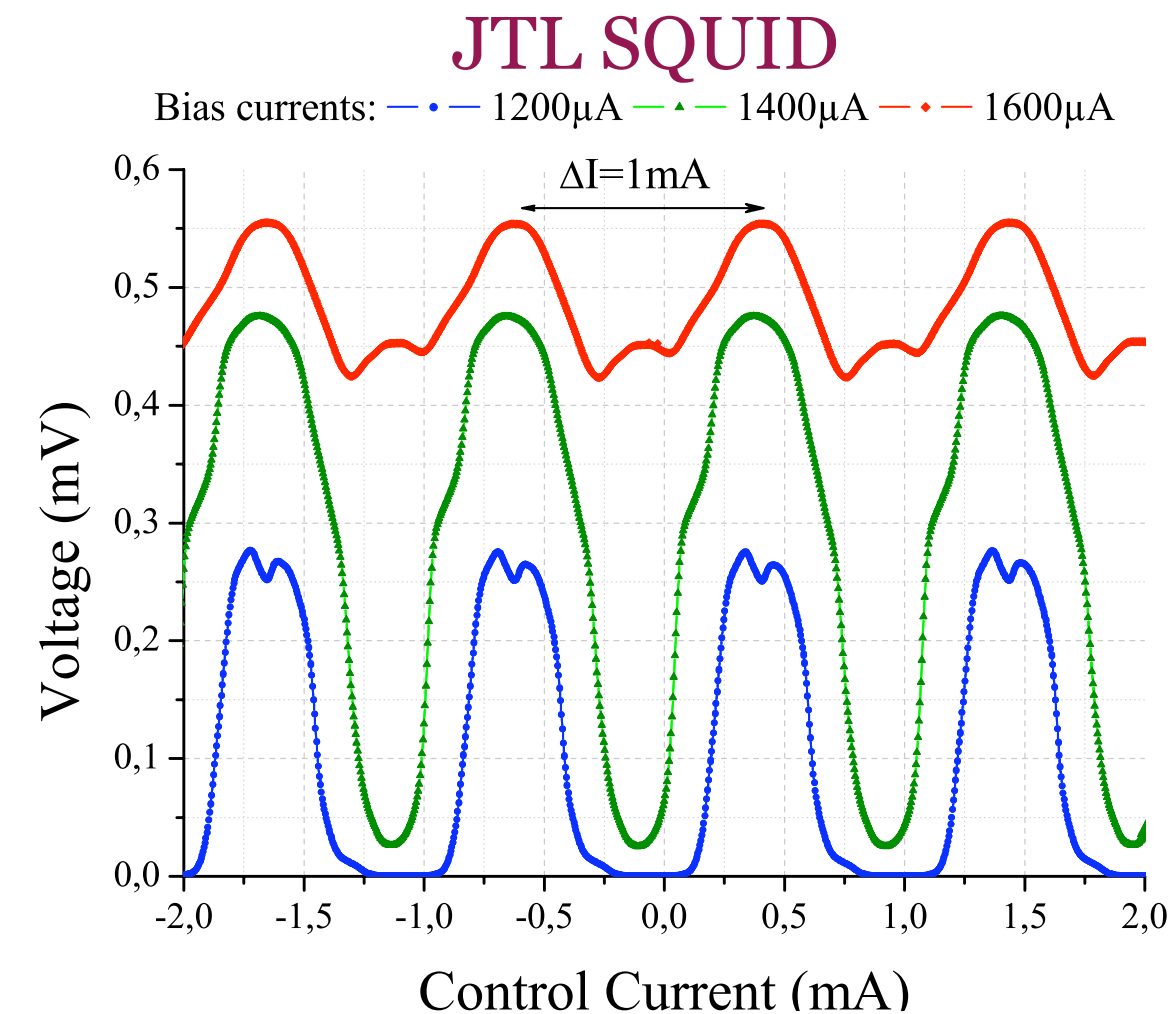
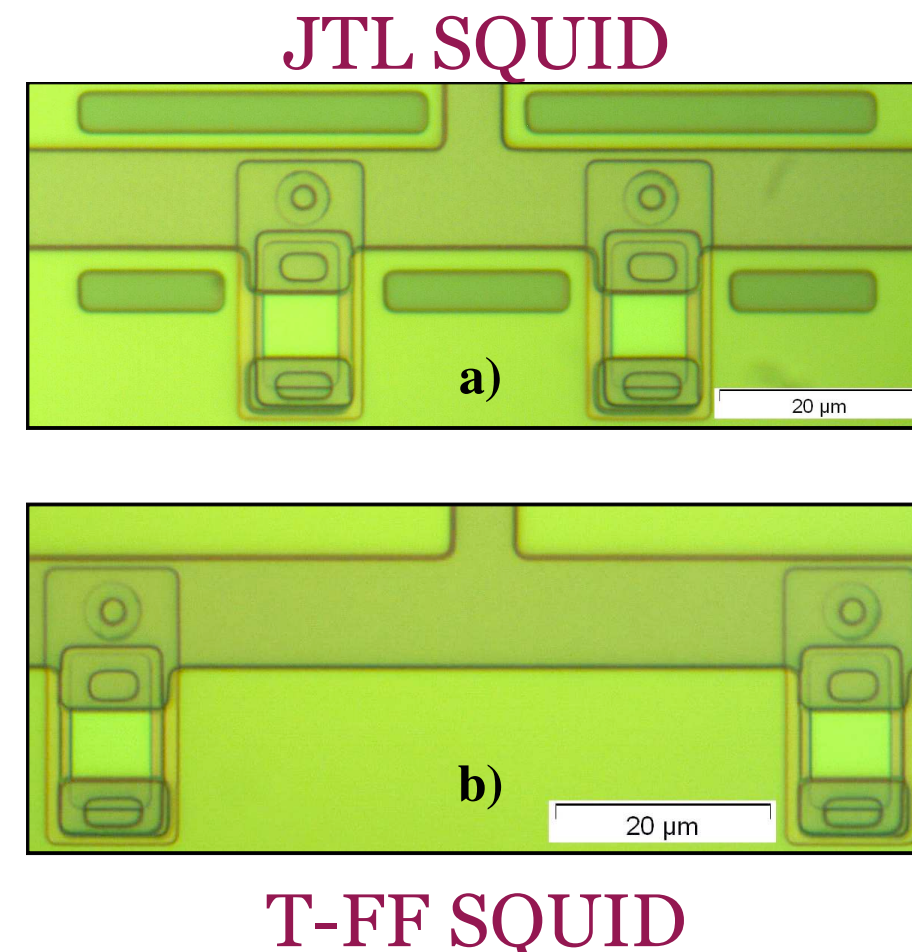
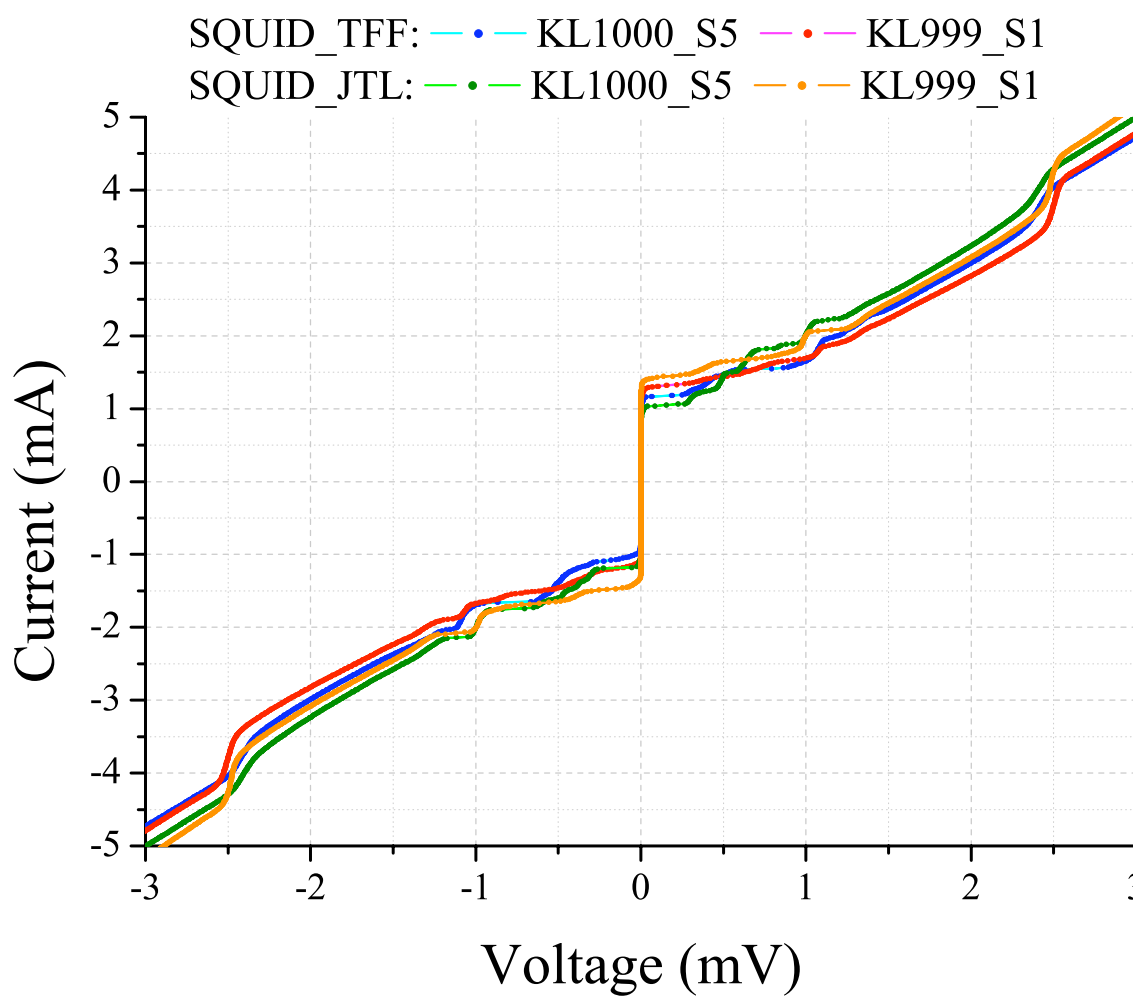


- ✓ Any hysteresis present on the I(V) characteristics
- ✓ Josephson effect is still present

Superconducting short-circuit



# Test des SQUIDS Nb/AlO<sub>x</sub>/Nb

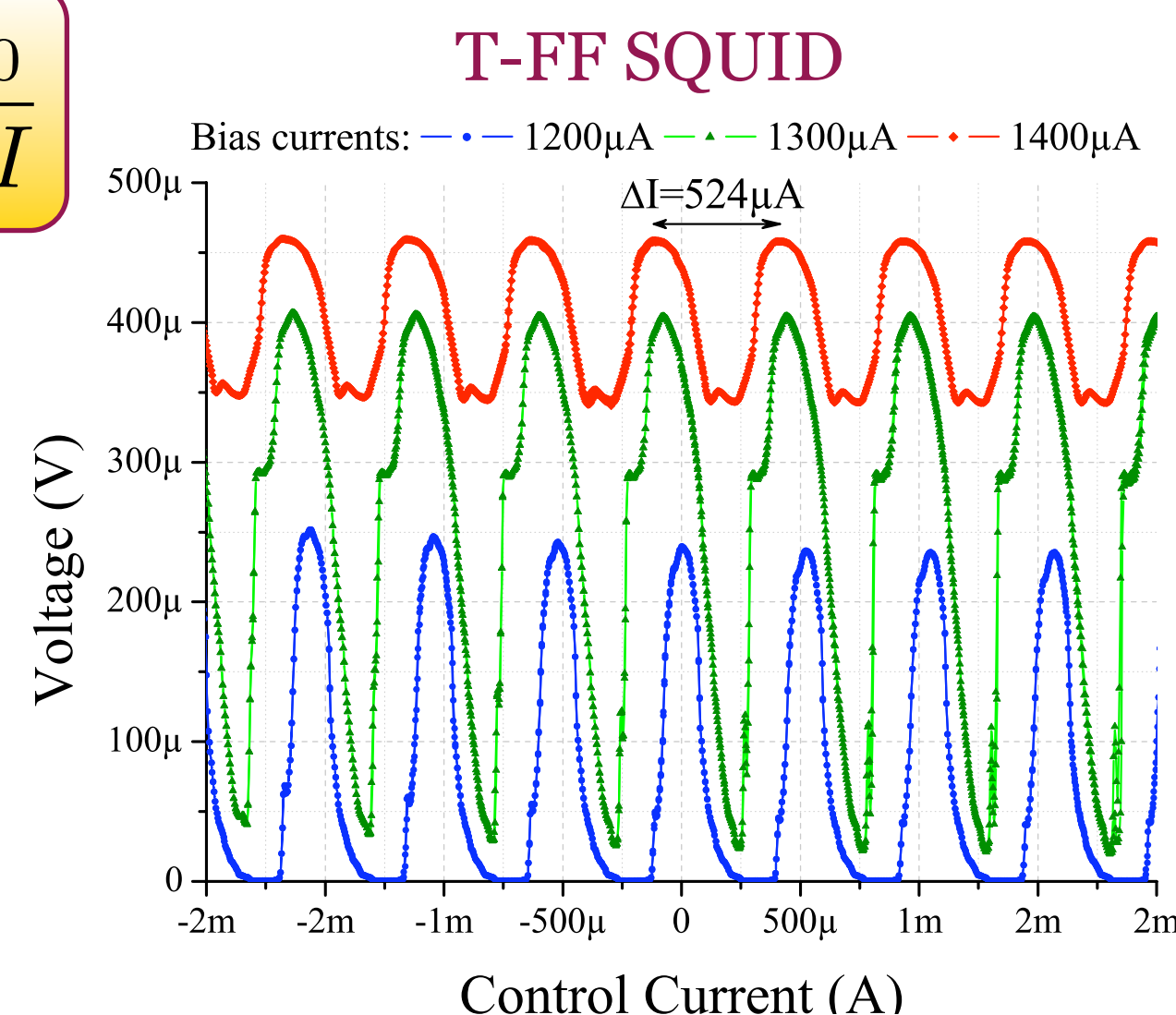


- ✓ Inductance measurement from SQUID voltage interference period  $\Delta I$
- ✓ Good agreement with the simulation from the design

$$L = \frac{\Phi_0}{\Delta I}$$

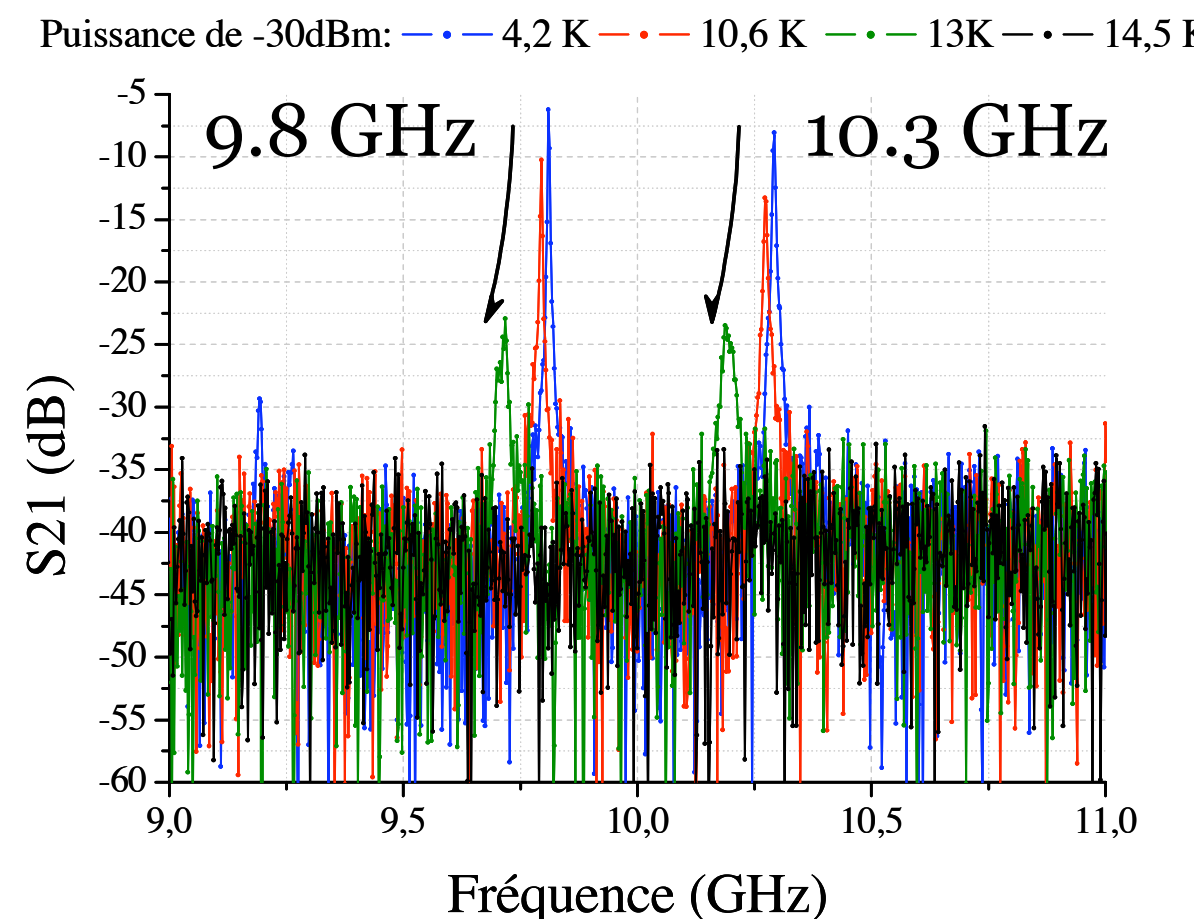
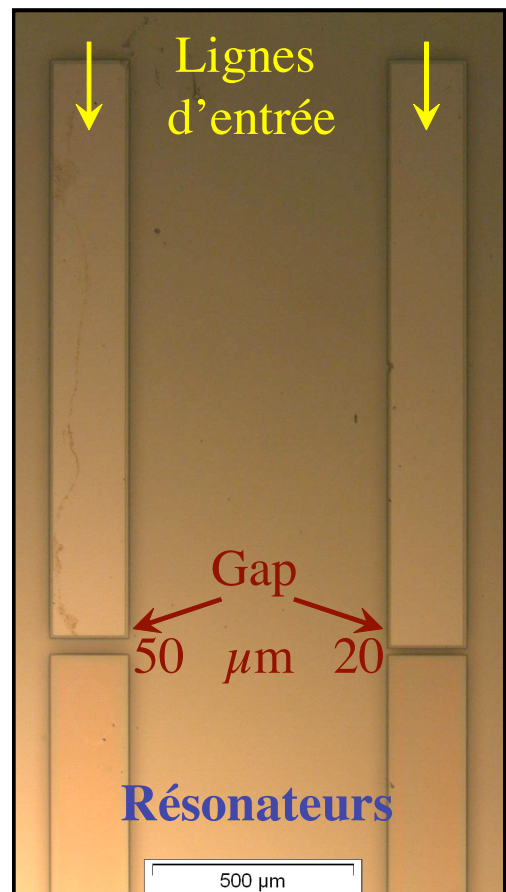


Element	Valuer <sub>Cal</sub>	Valeur <sub>Exp</sub>	Ecart
L(SQUID_JTL)	2,32 pH	2,07 pH	10,7%
L(SQUID_TFF)	4,35 pH	3,95 pH	9,1%



# Variation de $\lambda_L(T)$ pour le NbN

NbN Microstrip Resonators designed for  $Z_c=50 \Omega$  ( $W=246 \mu\text{m}$ )



Resonators length =  $\lambda_g/2 = 5700\mu\text{m} \rightarrow 10.2 \text{ GHz}$

High Quality factor

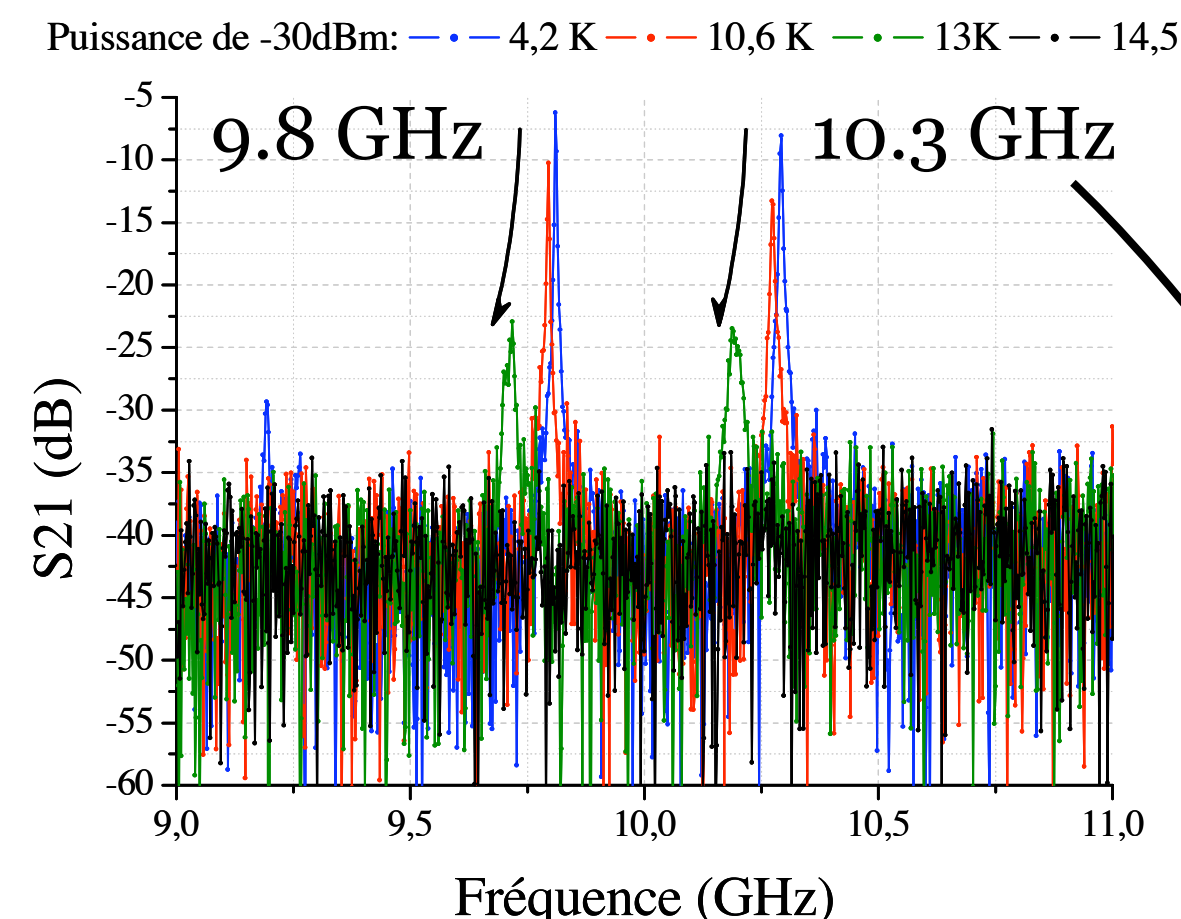
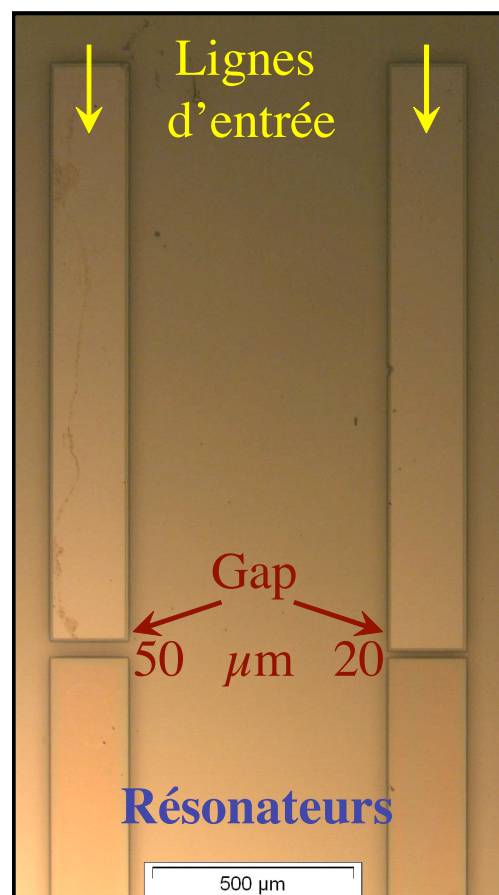
(  $Q_{50\mu\text{m}} \simeq 5000$  ;  $Q_{20\mu\text{m}} \simeq 3000$  )



Coupling even over  
a distance of  $3W$

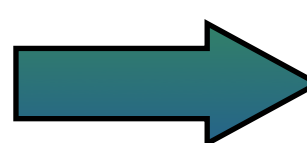
# Variation de $\lambda_L(T)$ pour le NbN

NbN Microstrip Resonators designed for  $Z_c=50 \Omega$  ( $W=246 \mu\text{m}$ )



Resonators length =  $\lambda_g/2 = 5700 \mu\text{m} \rightarrow 10.2 \text{ GHz}$

Temperature dependence  
of the resonance frequency



London penetration depth  
 $\lambda_L(T \leq 10\text{K}) \simeq \text{constant}$

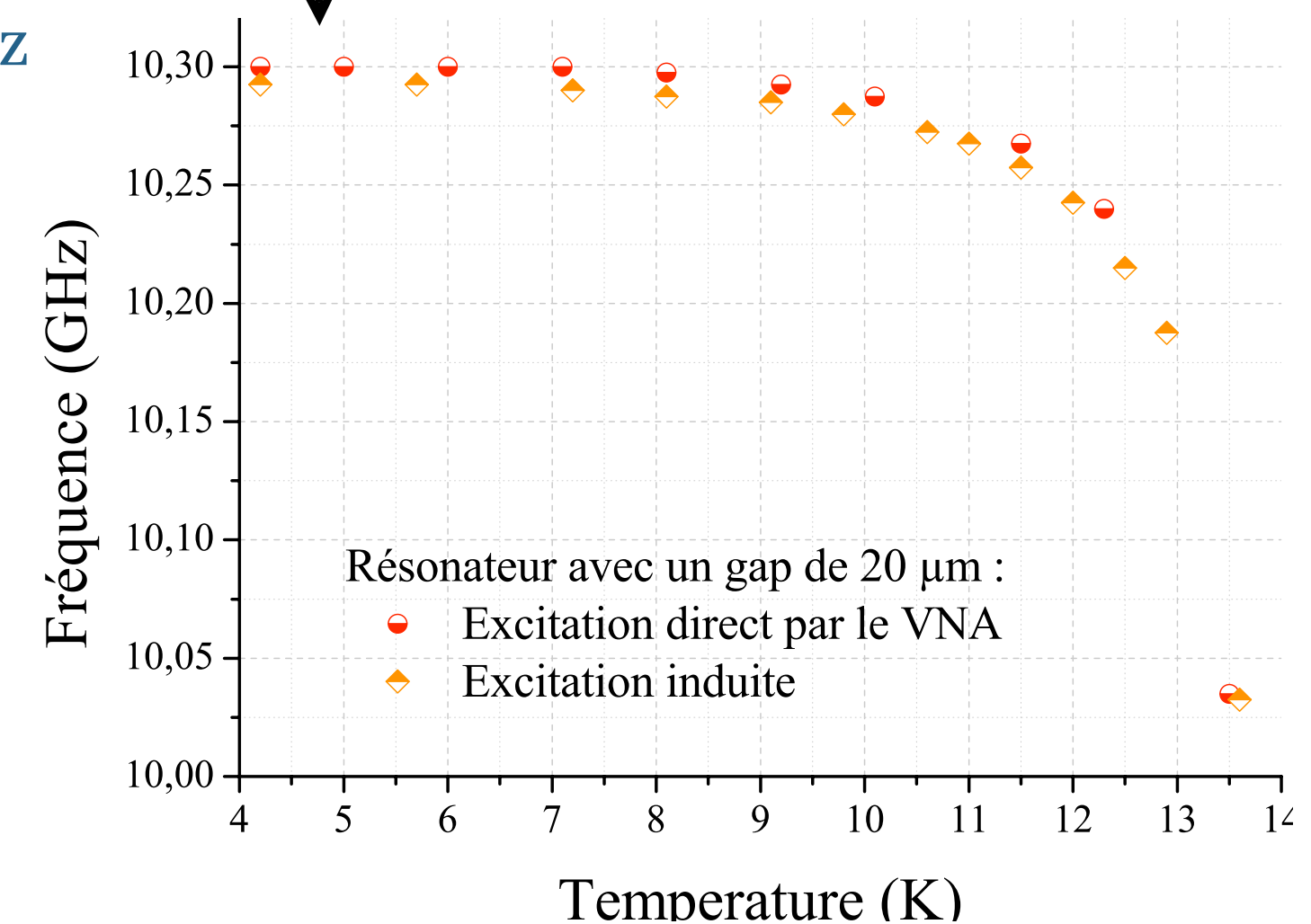
$L_\square(T \leq 10\text{K}) \simeq \text{constant}$

High Quality factor

(  $Q_{50\mu\text{m}} \simeq 5000$  ;  $Q_{20\mu\text{m}} \simeq 3000$  )



Coupling even over  
a distance of  $3W$



# Synthèse sur la comparaison Nb et NbN

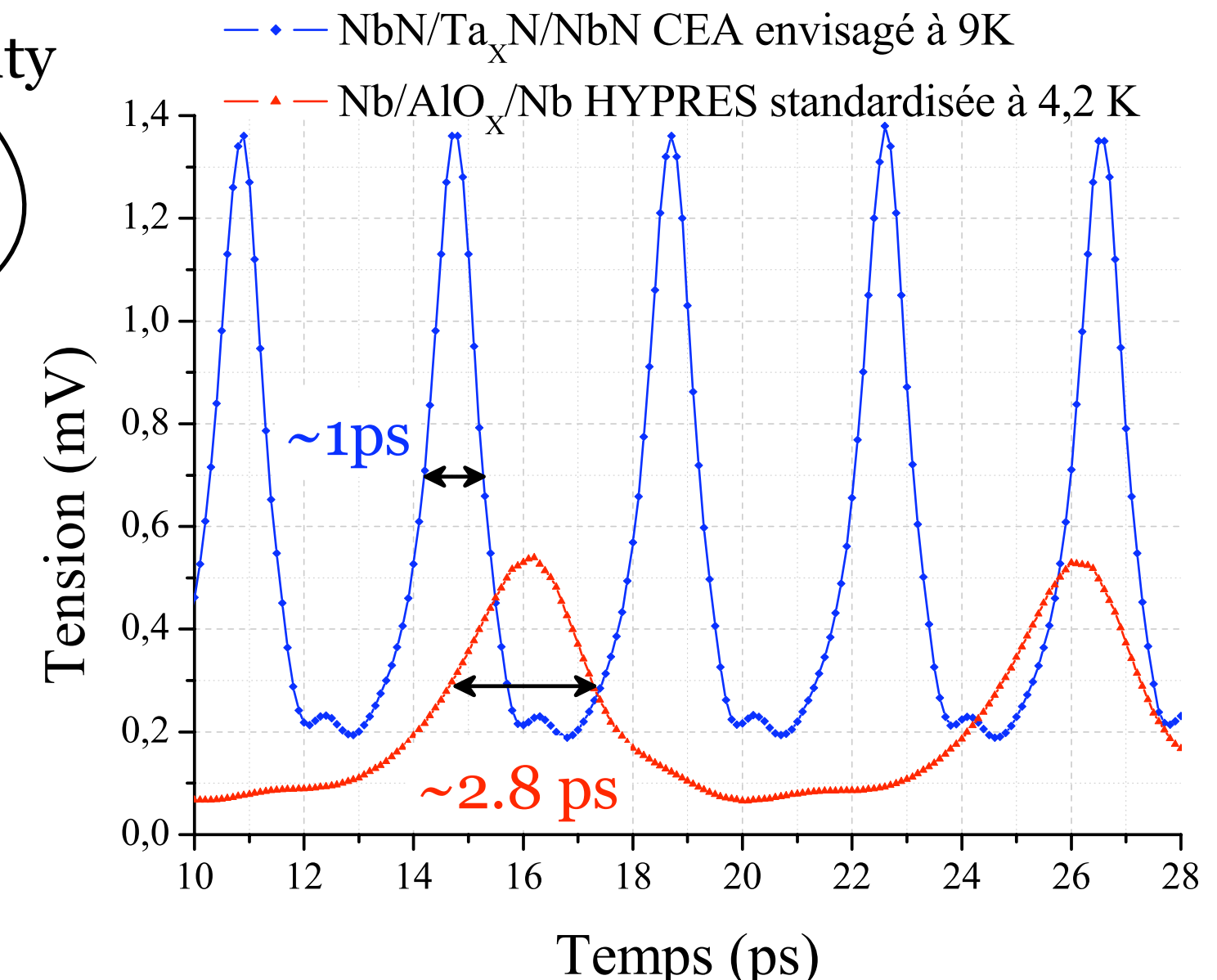
Arizona State University

	Nb/AlO <sub>x</sub> /Nb	NbN/TaxN/NbN		
Foundry	Hypres	CEA	ASU	
T (K)	4.2	4.2	9	4.2
R <sub>nIc</sub> (mV)	0.49	3.9	1.76	0.6
J <sub>c</sub> (kA/cm <sup>2</sup> )	4.5	14.7	2.2	50
β <sub>c</sub>	1	0.7	0.4	1.9

## Advantages

NbN/TaxN/NbN self-shunted junctions avoid parasitic inductances and increase the circuit density

R<sub>nIc</sub> higher than Nb/AlO<sub>x</sub>/Nb even at the same temperature of 4.2 K



## Disadvantages

High  $L_{\square}$

Temperature current noise is twice higher in NbN than Nb

# Conclusions

✓ Démonstration des avantages des portes RSFQ NbN à jonctions auto-shuntées sur les portes Nb:

- $T=9\text{ K}$  double du Nb, réfrigération allégée
- Fréquence de fonctionnement triple à 9 K :  $F_{RnIc}=900\text{ GHz}$ ,  $F_{\text{circuit}}=300\text{ GHz}$ ,  $J_c=5\text{ kA/cm}^2$

# Conclusions

✓ Démonstration des avantages des portes RSFQ NbN à jonctions auto-shuntées sur les portes Nb:

- $T=9\text{ K}$  double du Nb, réfrigération allégée
- Fréquence de fonctionnement triple à 9 K :  $F_{RnIc}=900\text{ GHz}$ ,  $F_{\text{circuit}}=300\text{ GHz}$ ,  $J_c=5\text{ kA/cm}^2$

✓ Etude d'une structure de CAN sigma-delta en NbN:

- maîtrise de la zone grise du comparateur (compromis sur la fréquence d'échantillonnage)
- Proposition de solutions de filtres de décimation et de circuits de test du modulateur à complexité maîtrisée (quelques milliers de JJ)
- proposition de deux filtres RF d'entrée du modulateur (multi-puce et puce simple)
- **Grande sensibilité du CAN:**  $\text{SNR}=23.1\text{ dB}$  pour signal de  $200\text{ }\mu\text{V (Vpp)}$  à 30 GHz

# Conclusions

✓ Démonstration des avantages des portes RSFQ NbN à jonctions auto-shuntées sur les portes Nb:

- $T=9\text{ K}$  double du Nb, réfrigération allégée
- Fréquence de fonctionnement triple à 9 K :  $F_{RnIc}=900\text{ GHz}$ ,  $F_{\text{circuit}}=300\text{ GHz}$ ,  $J_c=5\text{ kA/cm}^2$

✓ Etude d'une structure de CAN sigma-delta en NbN:

- maîtrise de la zone grise du comparateur (compromis sur la fréquence d'échantillonnage)
- Proposition de solutions de filtres de décimation et de circuits de test du modulateur à complexité maîtrisée (quelques milliers de JJ)
- proposition de deux filtres RF d'entrée du modulateur (multi-puce et puce simple)
- **Grande sensibilité du CAN:**  $\text{SNR}=23.1\text{ dB}$  pour signal de  $200\text{ }\mu\text{V (Vpp)}$  à 30 GHz

✓ Test des jonctions et des SQUIDs:

- Validation de la conception des inductances
- Les valeurs des jonctions et inductances NbN varient peu autour de  $T_f=9\text{ K}$

# Perspectives

✓ Proposition d'un CAN adapté à l'ANR “HyperSCAN” :

- $F_s=120 \text{ GHz}$ ,  $F_c=30 \text{ GHz}$ ,  $B=468 \text{ MHz}$ ,  $\text{OSR}=N=128 \longrightarrow \text{SNR}=125 \text{ dB}$
- complexité du CAN complet de 8000 JJ ( $R_n I_c = 1.2 \text{ mV}$ )
- évaluation de la gigue (jitter)

# Perspectives

✓ Proposition d'un CAN adapté à l'ANR "HyperSCAN" :

- $F_s=120 \text{ GHz}$ ,  $F_c=30 \text{ GHz}$ ,  $B=468 \text{ MHz}$ ,  $\text{OSR}=N=128 \longrightarrow \text{SNR}=125 \text{ dB}$
- complexité du CAN complet de 8000 JJ ( $R_n I_c = 1.2 \text{ mV}$ )
- évaluation de la gigue (jitter)

✓ Réduction possible de l'inductance par carré :

- Améliorations par couches buffers, alliages NbN, planarisation (LETI), ...

# Perspectives

✓ Proposition d'un CAN adapté à l'ANR "HyperSCAN" :

- $F_s=120 \text{ GHz}$ ,  $F_c=30 \text{ GHz}$ ,  $B=468 \text{ MHz}$ ,  $\text{OSR}=N=128 \longrightarrow \text{SNR}=125 \text{ dB}$
- complexité du CAN complet de 8000 JJ ( $R_n I_c=1.2 \text{ mV}$ )
- évaluation de la gigue (jitter)

✓ Réduction possible de l'inductance par carré :

- Améliorations par couches buffers, alliages NbN, planarisation (LETI), ...

✓ Meilleur contrôle des jonctions NbN/TaxN/NbN :

- reproductibilité de  $J_c$  et  $R_n I_c$ , à 9K, et de la surface par contrôle lithographique (LETI)
- Cibler des jonctions faiblement hystérotiques ( $\beta_c \sim 1.1-1.3$ ) à 9 K

# Perspectives

## ✓ Proposition d'un CAN adapté à l'ANR "HyperSCAN" :

- $F_s=120 \text{ GHz}$ ,  $F_c=30 \text{ GHz}$ ,  $B=468 \text{ MHz}$ ,  $\text{OSR}=N=128 \longrightarrow \text{SNR}=125 \text{ dB}$
- complexité du CAN complet de 8000 JJ ( $R_n I_c=1.2 \text{ mV}$ )
- évaluation de la gigue (jitter)

## ✓ Réduction possible de l'inductance par carré :

- Améliorations par couches buffers, alliages NbN, planarisation (LETI), ...

## ✓ Meilleur contrôle des jonctions NbN/TaxN/NbN :

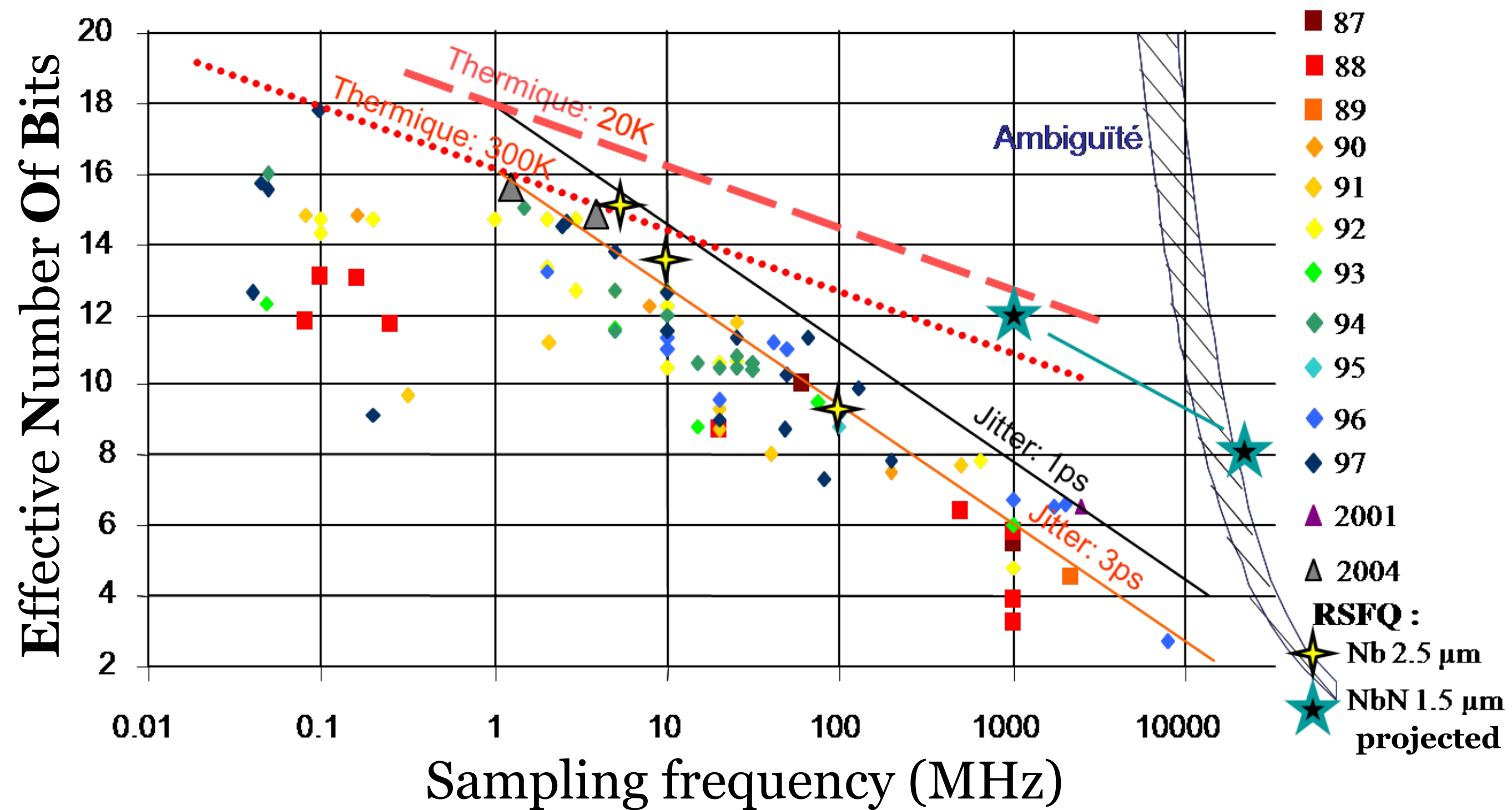
- reproductibilité de  $J_c$  et  $R_n I_c$ , à 9K, et de la surface par contrôle lithographique (LETI)
- Cibler des jonctions faiblement hystéritiques ( $\beta_c \sim 1.1-1.3$ ) à 9 K

## ✓ Environnement de simulation enrichi (type CADENCE) :

- évaluation plus pertinente des marges des portes ( $J_c$ ,  $R_n I_c$ ,  $\beta_c$  en fonction de T)
- regrouper JSIM et InductEx évaluant les parasites du layout
- routing automatique et description VHDL des portes logiques

# Merci pour votre attention

# CAN en semiconducteurs et supraconducteurs



The ENOB increases of 1 bits every 7-8 years for the ADC Semiconductors

$$\text{ENOB} = \frac{\text{SNDR}(dB) - 1.76}{6.02}$$

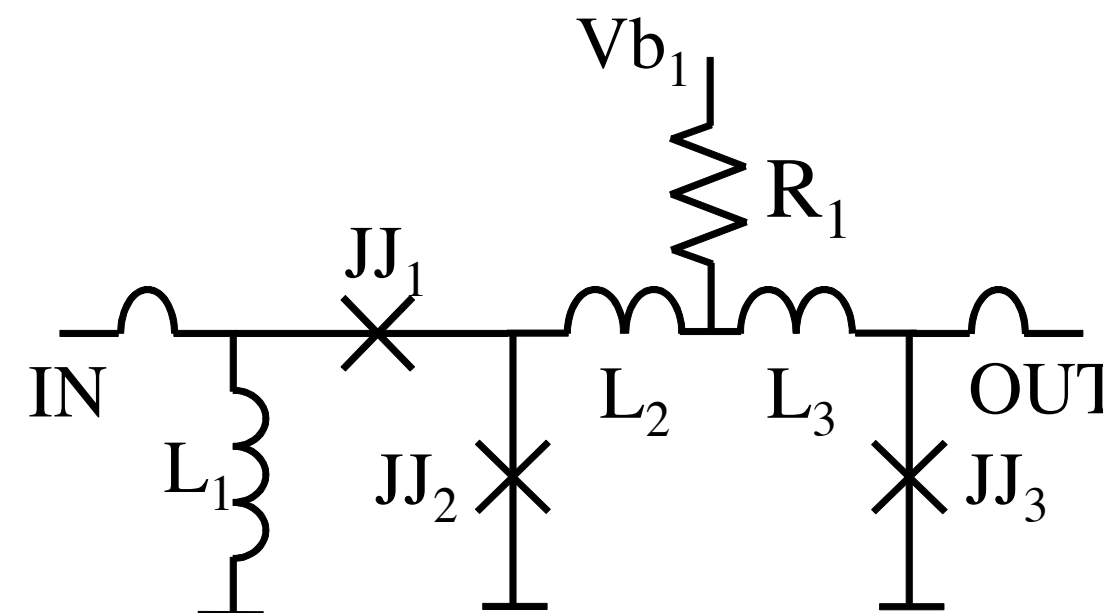
Signal-to-Noise plus Distortion Ratio  
**Higher in ADC superconductors thanks to the**  

- High Sampling rate
- Low Temperature

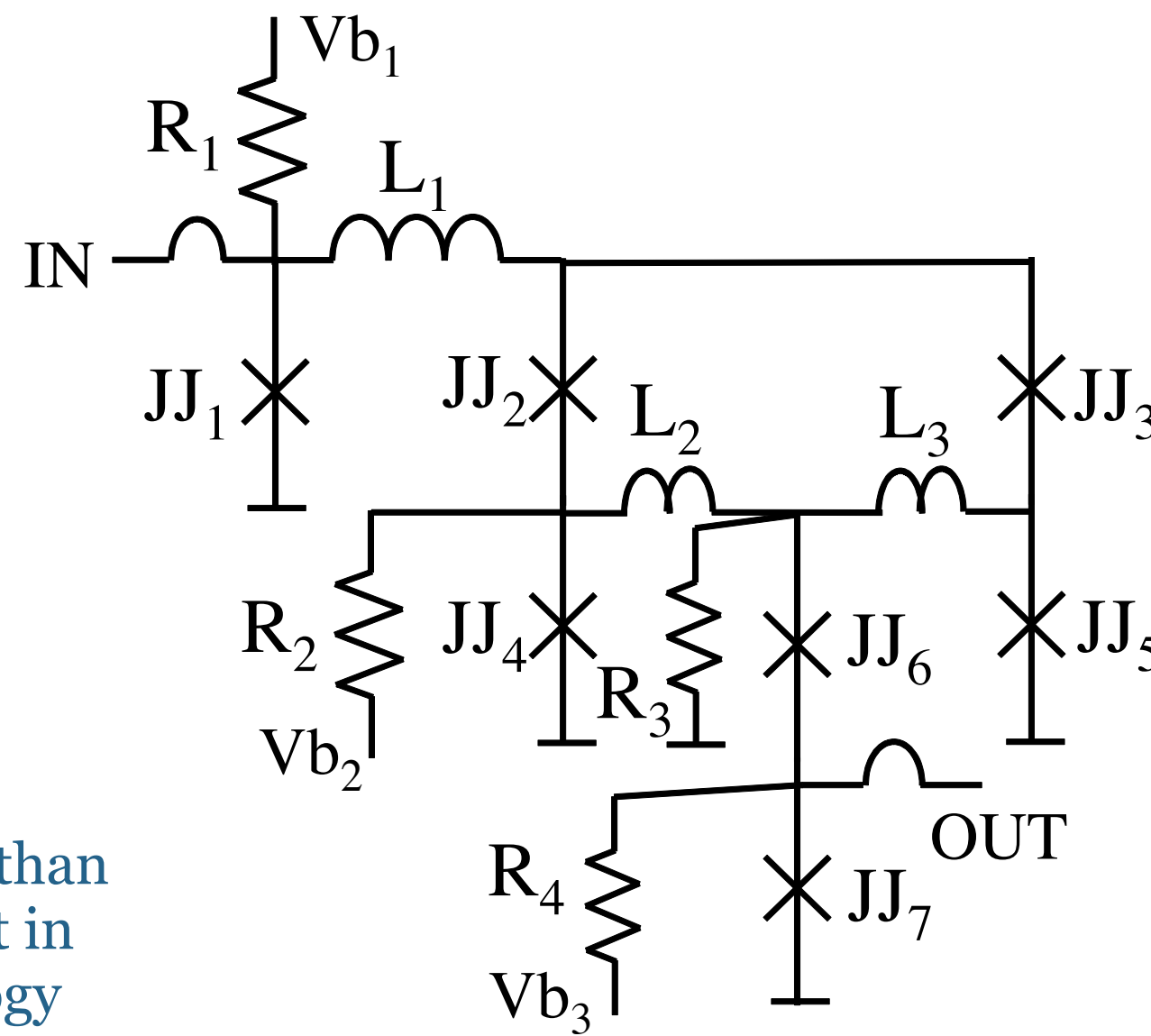
# Interface Supra-Semiconducteurs

NbN/TaxN/NbN SFQ pulses width  $\sim 1\text{ps}$

✓ DC/SFQ  
(3 JJs)



✓ SFQ/DC  
(7 JJs)



Readout  
↓  
 $700 \mu\text{V}$

3 times higher than  
the equivalent in  
Nb technology

